



MICROFICHE N°

31089

République Tunisienne

MINISTÈRE DE L'AGRICULTURE

CENTRE NATIONAL DE
DOCUMENTATION AGRICOLE
TUNIS

الجمهورية التونسية
وزارة الفلاحة

المَرْكَزُ الْقَوْمِيُّ
لِتَوزِيعِ الْفَلَادِيِّ
تُونِس

F

DIVISION DES RÉSOURCES EN EAU

-P- 23 -1-

ÉTUDE HYDROLOGIQUE ET
PRODUCTION ÉLECTRIQUE DE LA PLAINE DE
TABARCA

-P- 24 -1-

SEPTEMBRE 1974

A. TALBOT
H. ANDREW
J. L. LATIMER

REPUBLIQUE TUNISIENNE

MINISTERE DE L'AGRICULTURE

Direction des Ressources

en Eau et en Sol

Division des Ressources en Eau

Service Hydrogéologique

Section Hydrogéologie

ETUDE HYDROGEOLOGIQUE

ET PROSPECTION ELECTRIQUE DE LA PLAINTE DE TABARKA

-18-

SEPTEMBRE 1974

A. TALAKH & H. AMRI

(HYDROGEOLOGIE) (GEOFISIQUE)

J.-L. LABFLAGE

(Hydrogéologue)

SOMMAIRE

1ère Partie

.....

A - Introduction

B - Géologie - Hydrologie.

B.1 - Géologie

B.2 - Hydrologie

B2.1 - Caractéristiques climatiques

B2.1.1 - Température moyenne

B2.1.2 - Humidité relative en %

B2.1.3 - Pluviométrie

B2.1.4 - Evaporation

B.3 - Hydrogéologie

B3.1 - Faut de surface

B3.2 - Forages

B3.2.1 - Forage 3517 bis/1

B3.2.2 - Forage 3518 bis/1

B3.2.3 - Forage 6078/1

B3.2.4 - Forage 6079/1

B3.2.5 - Forage 6781/1

C - Travaux géophysiques

C.1 - Problème posé à la prospection électrique

C.2 - Travaux réalisés

C.3 - Résultats obtenus

C3.1 - Les S.E étalons

C3.2 - Les S.E en général

C3.3 - Carte des résistivités apparentes ($\Delta E = 200 \mu$)

C3.4 - Carte du toit du substratum conducteur

C3.5 - Coups électriques

C3.6 - Carte du sur des alluvions

C.4 - Choix des emplacements de forages

C.5 - Conclusion

D - Ressources dynamiques et réserves

E - Exploitation

F - Conclusion

ANNEXE

I - Enquête hydrogéologique de la plaine de TABASSA

II - Recette de type PORNIC sur les pentes de surface

III - Recette de longue durée sur les forages.

.....

FIGURES

1ère Partie

-161-

- Fig. 1 - Plan de situation
2 - Bassin de réception
3 - Observation de l'abaissement du forage 3517bis/1 et du piézomètre 3517/1
4 - Observation de la remontée du forage 3517bis/1 et du piézomètre 3517/1
5 - Analyses chimiques du forage 3517bis/1
6 - Diagramme multiple du forage 6078/1
7 - Abaissement du forage 6078/1 et du piézomètre 3518/1
8 - Remontée du forage 6078/1
9 - Analyses chimiques du forage 6078/1
10 - Abaissement et remontée du forage 6079/1
11 - Analyses chimiques du forage 6079/1
12 - Diagramme multiple du forage 6781/1
13 - Abaissement du forage 6781/1
14 - Abaissement et remontée du forage 6781/1
15 - Analyses chimiques du forage 6781/1
16 - S.E étalons sur forages 2228/1 et 3515/1
17 - S.E étalons sur forages 3514/1, 6078/1, 6079/1 et 6781/1
18 - Diagrammes des S.E étalons et carottages électriques schématisés sur les forages 6078/1 et 6781/1.
19 - S.E 23, 3 et 41, 26
20 - S.E 24 et 28
21 - S.E 4 et 5
22 - S.E 44, 36, 29, 30 et 22
23 - S.E 17, 18, 11, 12, 8 et 4

PLANCHES

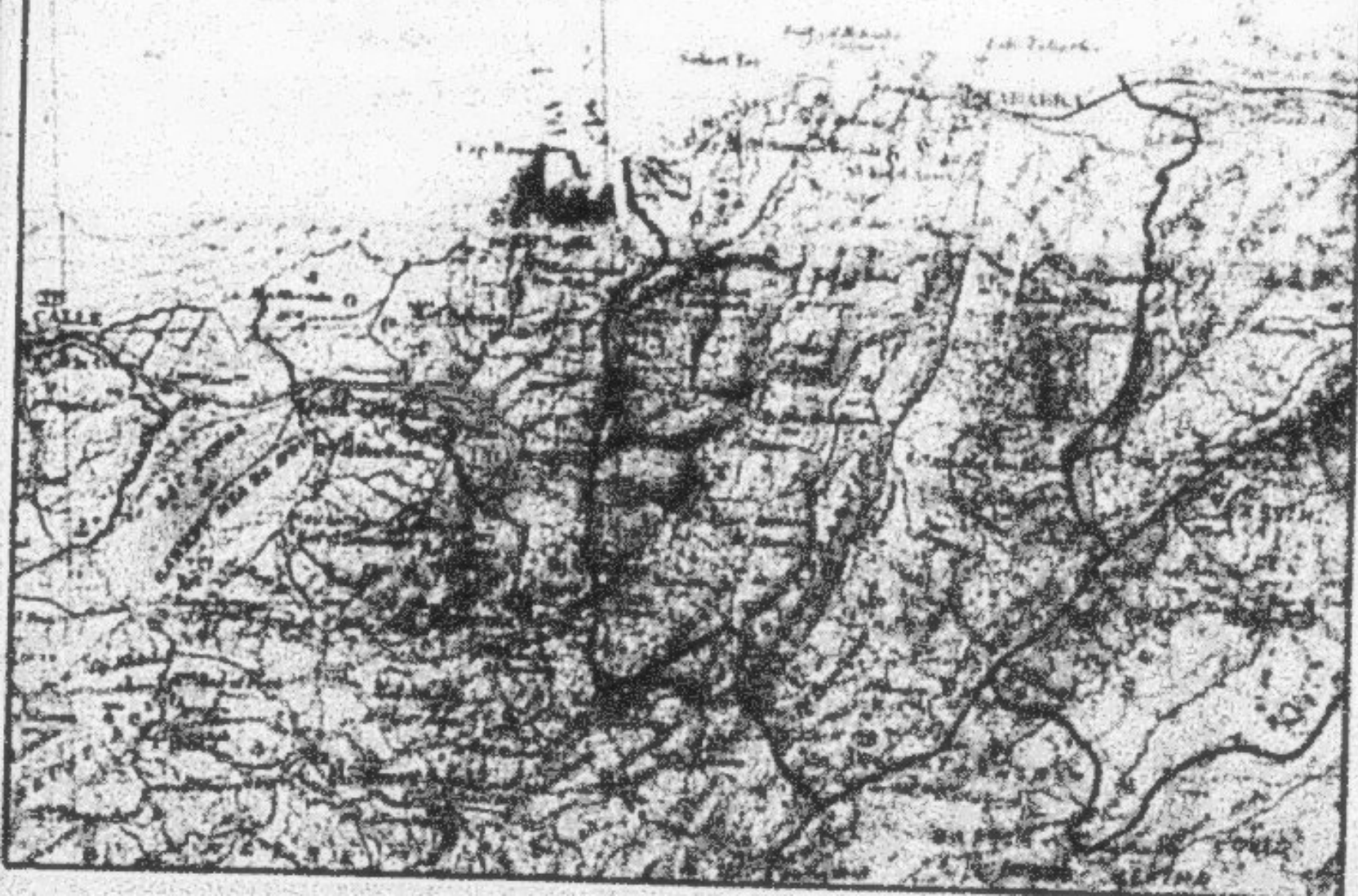
-162-

- I - Inventaire des points d'eau, géologie
Ibis - Plan de position des sondages électriques
II - Carte des résistivités apparentes en longueur de ligne AB = 400 m.
III - Carte du toit du substratum conducteur.
IV - Coupes électriques.
V - Carte du sur des alluvions.

CARTE DE SITUATION

ECHELLE : 1/200.000

ASSEMBLAGE DES CARTES DE TARAFER
ET DE SOUK EL ARBA



A - INTERPRÉTATION -

La plaine de TABARKA a fait l'objet d'un certain nombre d'investigations hydrogéologiques :

- forages de reconnaissance exécutés par STABLINE en 1950
- enquête hydrogéologique réalisée par la S.C.S.T en 1959 suivie en 1965 par un prospection géophysique,
- enquêtes hydrogéologiques effectuées par la DIVISION DES RESSOURCES EN EAU EN 1967, puis en 1974.

La DIVISION DES RESSOURCES EN EAU après avoir testé les différents forages existants et interprété la dernière campagne géophysique par sondages électriques synthétise ici les divers renseignements en sa possession.

La plaine ici étudiée est très réduite, de l'ordre de 17 km². Des projets d'irrigation ne pourront être envisagés qu'après un aménagement réel de la plaine.

La principale ville de la région est TABARKA, laquelle connaît ces dernières années une importante expansion touristique.

B - GÉOLOGIE - HYDROGÉOLOGIE -

B1 - Géologie pl. 2

La région de TABARKA est constituée en majeure partie de terrains Oligocène, qui recouvrent en discordance un vaste anticlinal constitué de terrains dominés allant du miocène au pliocène.

L'épaisseur des dépôts crétacés est de l'ordre de 4000 mètres, celle des marnes de transition de 1000 mètres, celle des calcaires de l'éocène supérieur à 600 mètres.

La majeure partie des creux des anticlinaux est occupée par les marnes auvergnates se présentant sous forme de marnes calcaires, gris bleuté, schisteuses, coexistent en quelques points avec des niveaux marécageux.

La présence de ces niveaux marécageux dans les anticlinaux fait que ceux-ci correspondent à des vallées alors que les grès oligocènes constituant les synclinaux sont restés en relief.

L'épaisseur totale du flysch est énorme, une coupe dans la vallée de l'Oued el Mil permet d'en voir plus de 1300 mètres - M'ROLLET l'estime à plus de 2000 mètres sur le littoral nord.

On a pris l'habitude de distinguer le Miocène à la base formé d'alternances assez régulières de grès et d'argiles et le Pliocène au sommet où les grès vont jusqu'à constituer des barres rocheuses importantes.

Les terrains des sites de barrages sur l'Oued el Aïn, l'Oued Zéda et l'Oued Kébir sont essentiellement oligotrophes.

Les alluvions de la plaine de l'Oued Kébir ont été prospectées par sonde et géophysique.

Dans le centre de la plaine, les forages ont mis en évidence l'existence d'une nappe captive entre les marmites mires préhistoriques et les alluvions récentes argileuses.

82 - Biologie -

82.1 - Caractéristiques climatiques -

Les stations de TABARJA (+ 10 m) et AÏN DRAHIM (+ 739 m) encadrent la région étudiée.

Le climat est caractérisé par des hivers doux et humides, des étés chauds et secs typiquement méditerranéens avec des vents particulièrement fréquents.

82.1.1 - Irradiation solaire (1901 ~ 1950)

STATIONS	S	O	N	D	J	F	M	A	M	J	J	A	Total
TABARJA	24,0	19,9	15,6	12,1	11,1	11,5	13,6	15,6	16,6	22,6	25,2	15,6	16
AÏN DRAHIM	32,0	17,1	11,9	7,9	6,6	7,1	9,7	12,5	16,0	20,2	23,9	24,9	15

82.1.2 - Humidité relative (%)

STATIONS	S	O	N	D	J	F	M	A	M	J	J	A	Total
TABARJA	71	71	71	73	77	75	75	72	71	68	66	67	72
AÏN DRAHIM	62,5	77,1	80,9	84,7	87,5	89,2	80,4	78,0	94,5	60	63,5	64,7	75,9

Indiquant une humidité relative assez élevée dans la région.

82.1.3 - Pluviométrie -

STATIONS	S	O	N	D	J	F	M	A	M	J	J	A	Total
TABARJA	34,0	126,3	134,3	187,3	179,1	132	84	72	41	19,3	4,2	11	1043
AÏN DRAHIM	139	177	201	207	226	191	180	145	160	115	106	107	1994

On considère que toutes pluies de plus de 10 mm donnent lieu à un rejettement.

82.1.4 - Répartition (Pluie)

STATIONS	S	O	N	D	J	F	M	A	M	J	J	A	Total
TABARJA	96,0	71,2	66	64,1	57,4	50,4	55,8	65,5	45,2	72,1	85,2	90,6	826,7

On peut admettre que l'évaporation d'un plan d'eau est égale à l'évaporation donnée par l'évapomètre de PICHE multipliée par 0,8.

Précisément, des mesures d'évaporation ont été faites dans le barrage réservoir de l'Oued EL ABBAR. Ce pouvoir d'évaporation s'élève à 1310 mm environ, de 1926 à 1933.

B3 - Hydrologie -

B3.1 - Puits de surface -

Un inventaire effectué en décembre 1974 a permis de dénombrer 137 puits de surface et 18 sondages de reconnaissance. Leurs caractéristiques sont rassemblées dans l'annexe 1 du présent rapport.

Par la suite, 15 essais de type PORCHET ont été effectués sur le terrain par H. HENCHI et A. BOUSSI. Chaque essai est représenté sous forme de courbe arithmétique en fonction du temps dans l'annexe 2.

Le tableau suivant résume le déroulement des essais.

DATE	N° d'ordre	N° I.D.M	ABAISSEMENT		REMONTER		Q en l/s
			DURÉE	s en m	DURÉE	s en m	
27. 7.1967	5	7871	2H00	3,04	0H20	0,12	3,3
28. 7.1967	7	2228	0H45	1,12	17H45	1,12	6
29. 7.1967	149	3363	1H15	2,70	8H50	2,65	6
12. 9.1974	61	7876	0H21	0,94	6H00	0,02	2
13. 9.1974	77	7873	0H08	0,70	6H00	0,12	2,2
14. 9.1974	105	7875	0H48	2,85	6H00	0,18	3,8
8.11.1974	85	7874	0H13	2,80	12H00	0,32	7
19.11.1974	6	231	1H30	4,61	6H00	1,59	10,7
20.11.1974	147	7862	1H30	4,82	10H00	0,44	12,4
20.11.1974	26	235	1 H20	2,81	7H00	0,96	15
21.11.1974	78	7858	0H11	2,53	12H00	2,20	12,5
21.11.1974	79	7860	0H50	4,80	9H00	0,52	15
22.11.1974	108	7861	0H17	4,45	6H00	1,40	12,75
23.11.1974	72	7863	0H08	1,92	11H00	0,12	12,4
24.11.1974	86	2313	0H23	3,40	6H00	3,27	10,7
25.11.1974	82	7859	0H50	6,18	4H00	0,22	15

Dans la plupart des cas, même à faible débit, le rabattement est important entraînant l'arrêt de l'essai. Quant à la remontée, elle est très lente indiquant un rapport $\frac{K}{T}$ très faible.

D'après PORCHET, dans l'hypothèse d'un puits captant tout l'aquifère jusqu'à un substratum imperméable, le débit spécifique Q/H est égal à $\frac{K}{3} (2H - s)$. Comparés entre eux, les débits spécifiques donnent une indication sur les variations de transmissivité.

Le meilleur puits testé a une transmissivité de $8 \cdot 10^{-4}$ m²/s. Il faut considérer que cette valeur est un maximum dans la plaine de TABARKA.

On a ici tenté une estimation de la transmissivité.

En effet : $\frac{Q}{R} = Kt - 2R \neq T$

Q étant le débit du puits en m³/s

R le rabattement en m.

H la hauteur d'eau dans l'aquifère en m.

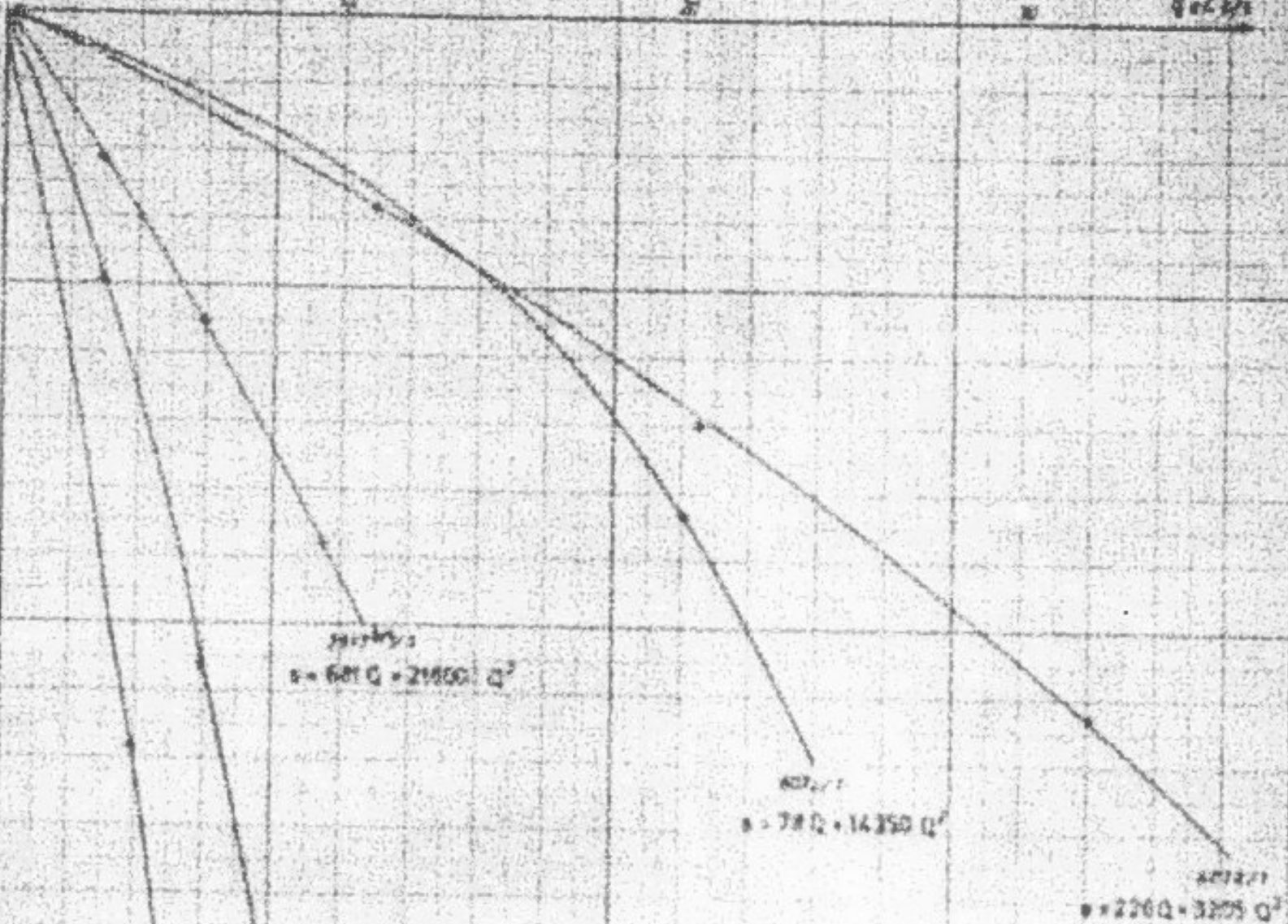
T la transmissivité en m²/s.

Les valeurs obtenues ne sont données qu'à titre indicatif et sont, vu la méthode employée, surestimées.

N° IRIS	t	Q en l/s	Q/2 en l/s/m	Ordre de grandeur de T en m ² /s
231		1,07	0,23	$1 \cdot 10^{-4}$
235		1,20	0,42	$3 \cdot 10^{-4}$
2228		0,51	0,45	$3 \cdot 10^{-4}$
2313		6,02	1,77	$6 \cdot 10^{-4}$
3363		2,76	1,02	$7 \cdot 10^{-4}$
7858		0,66	0,21	$1 \cdot 10^{-4}$
7859		0,39	0,06	$0,4 \cdot 10^{-4}$
7860		0,38	0,09	$0,4 \cdot 10^{-4}$
7861		0,27	0,06	$0,4 \cdot 10^{-4}$
7862		0,36	0,07	$0,5 \cdot 10^{-4}$
7863		0,04	0,02	$0,1 \cdot 10^{-4}$
7871		0,67	0,22	$1 \cdot 10^{-4}$
7873		0,01	0,01	$0,1 \cdot 10^{-4}$
7874		0,19	0,07	$0,3 \cdot 10^{-4}$
7875		0,06	0,02	$0,1 \cdot 10^{-4}$
7876	citerne	-	-	-

Suite à cette campagne, on peut estimer que la perméabilité de l'horizon supérieur de la plaine de TABARKA oscille entre $8 \cdot 10^{-4}$ et 10^{-7} m²/s. Ces puits se comportent donc comme de véritables citernes. Ceux-ci sont d'ailleurs essentiellement concentrés sur la rive droite de l'Oued el KEBIR sur d'anciennes terrasses alluviales proches des piémonts, ou parfois même dans des terrains oligocènes. Du fait des caractéristiques de ces puits, notre intérêt se portera essentiellement sur la nappe profonde.

Les eaux contenues dans ces puits possèdent des résidus vaseux peu élevés ne dépassant que rarement 1,5 g/l.



Plaine de TABARKA
Essai de récarbure

Essai de longue durée sur le forage 3517bis/1
du 6.4.75 à 10h 30 au 8.4.75 à 10h 30

Observation de l'assèchement du forage 3517bis/1 et du piezomètre 3517/1

1mm

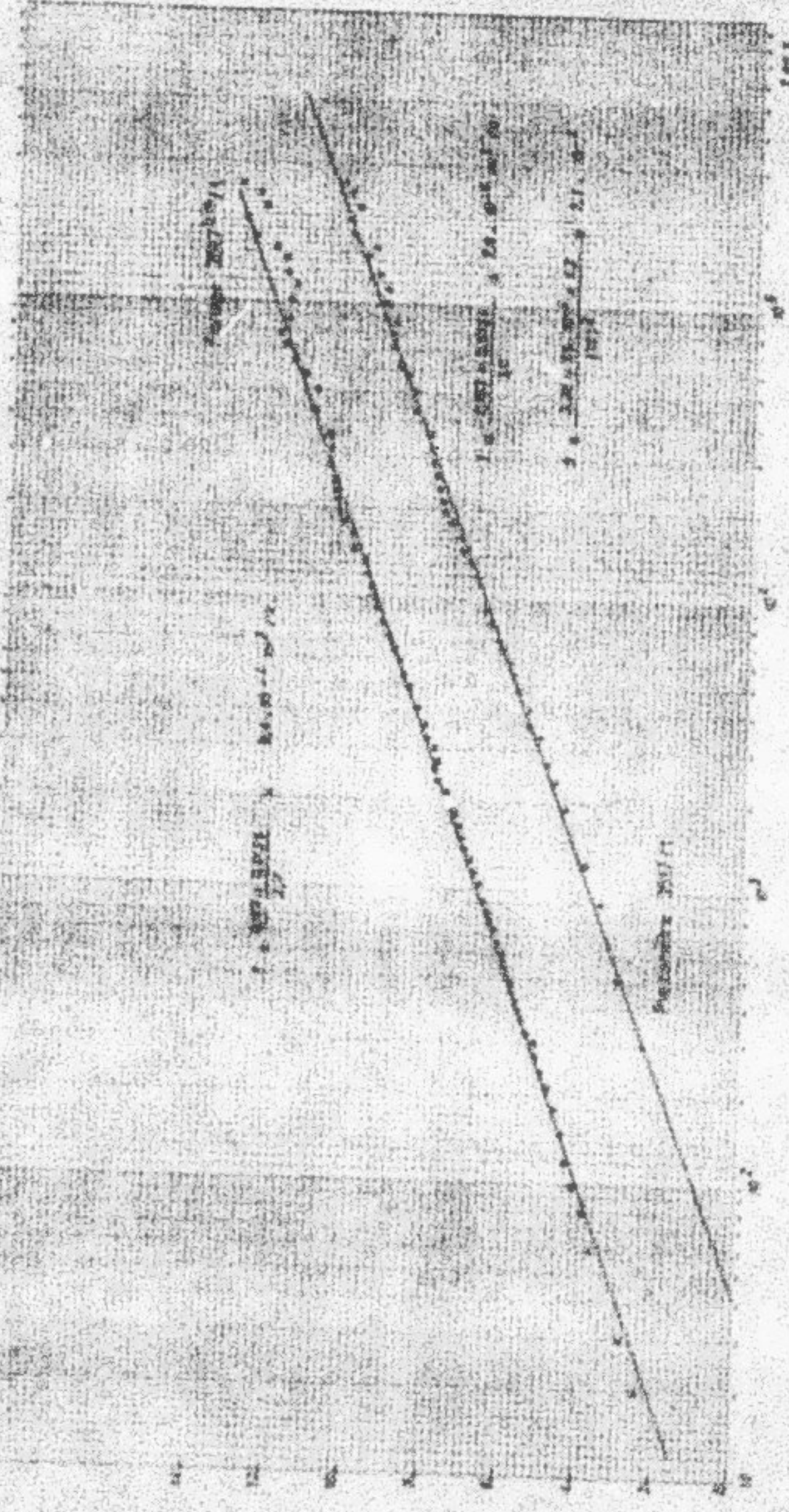
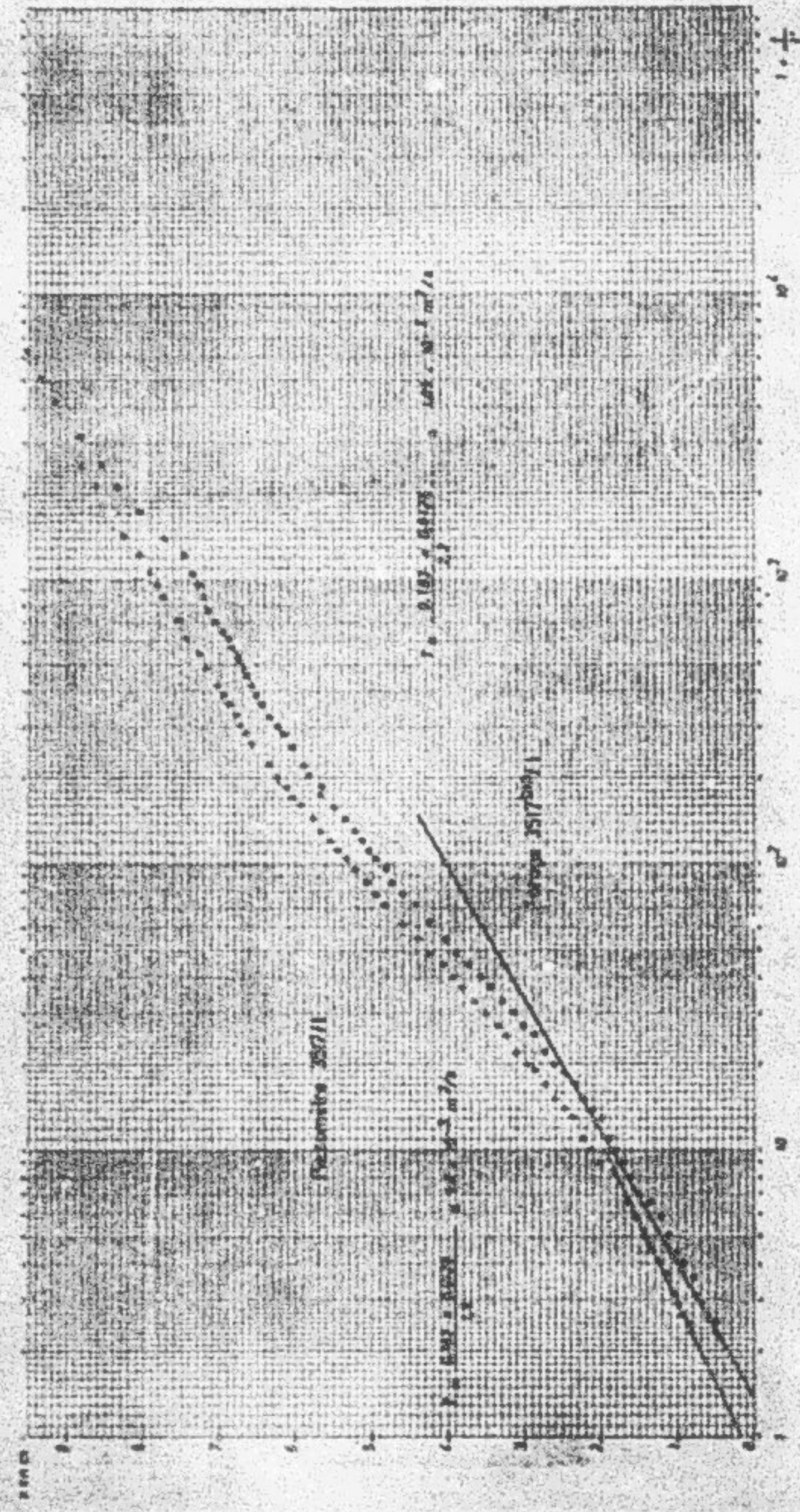


Fig. 1

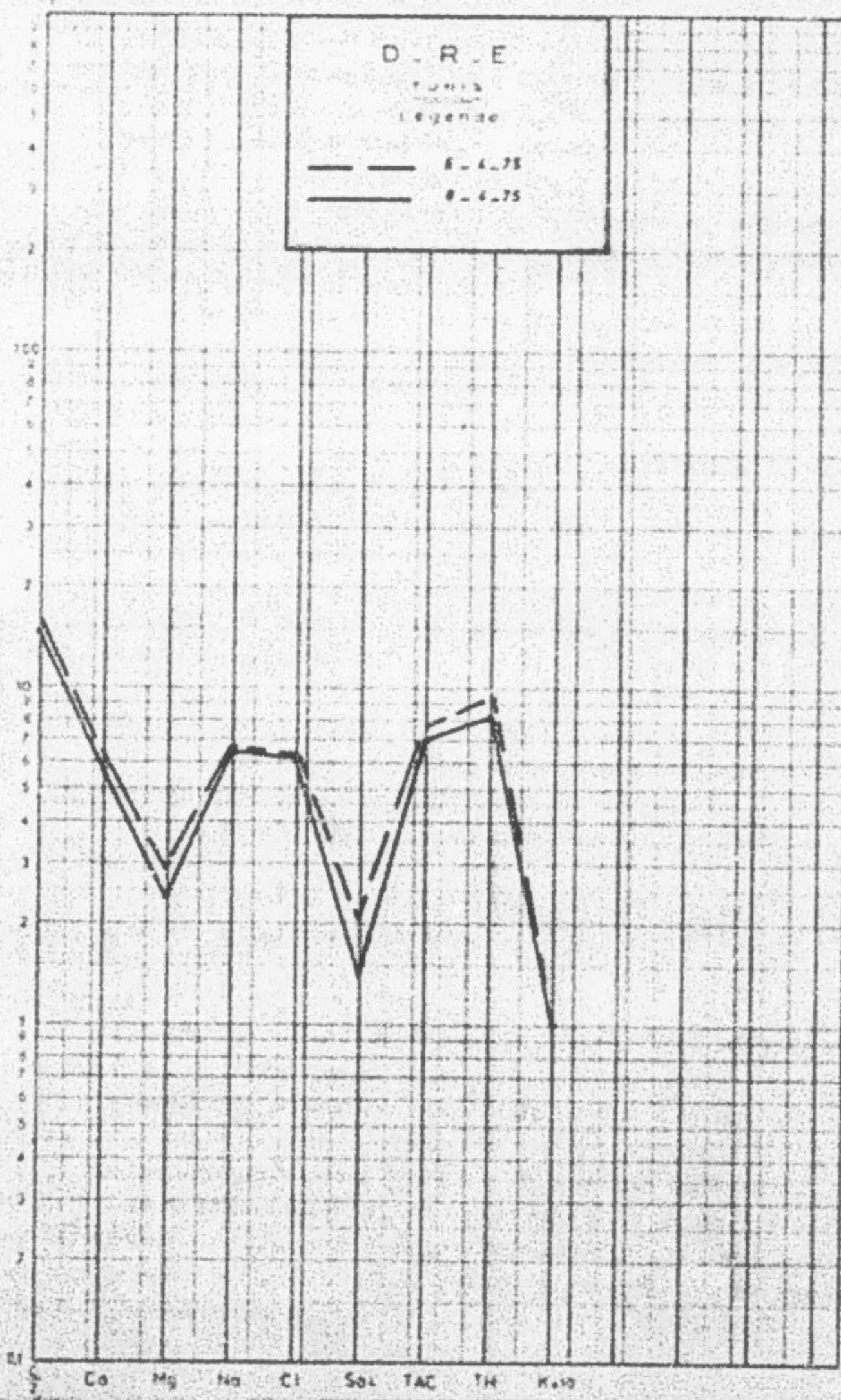
Essai de longue durée sur le forage 3517bis/1
Observation de la remontée



DIAGRAMMES SEMI LOGARITHMIQUES

FORAGE 3517 bis

me/t



II.2 - Forages -

Les forages d'exploitation sont au nombre de six.

- 3517 1a/1 réalisé en 1963 devant être pris en charge par l'ONFVM.
- 353 aia/1 terminé en 1963 anciennement exploité par la SONDE à un débit fluctuant continu de 8 l/s pour l'alimentation en eau potable de TAKABA et pour les besoins de l'Usine de Liège (1 à 2 heures par jour en toute saison et 12 heures par jour pour la distribution). L'eau étant fortement ferrugineuse, la SONDE a été amenée à abandonner ce forage.
- 6078/1 effectué en 1965 et exploité par l'ONFVM à un débit voisin de 20 l/s.
- 6079/1 implanté par la SONDE en 1964, devant être pris en charge par l'ONFVM.
- 6781/1 entrepris en 1967 et exploité par la SONDE à un débit oscillant entre 5 et 9 l/s pendant 17 heures par jour.
- 7145/1 destiné théoriquement à remplacer le forage 3518 aia/1.

Ce forage n'est pas dans la plaine de TAKABA, il est toutefois dans le bassin versant de l'Oued El KEBIR. Notons que depuis son exploitation, le débit de la source Aïn OUEZ N° 411/1, captée depuis 1889 et exploitée par la SONDE, est passé de 5 l/s à 0,5 l/s. Ce forage est exploité par la SONDE à un débit de 5 l/s pendant 15 heures par jour.

Les caractéristiques de ces ouvrages sont rassemblées en annexe. La figure 2 synthétise des essais de réception effectués sur ces forages. Pour chacun d'entre eux, nous avons calculé l'équation de parties de charge. Excepté pour le forage 6078/1, le terme en G^2 est toujours très important indiquant ainsi des parties de charge anormales.

II.2.1 - Forage 3517/1a/1 (coup jointe en annexe)

Il est équipé à cette date d'une pompe 6" IS PUMPS devant être actionnée par un moteur aujourd'hui hors d'usage.

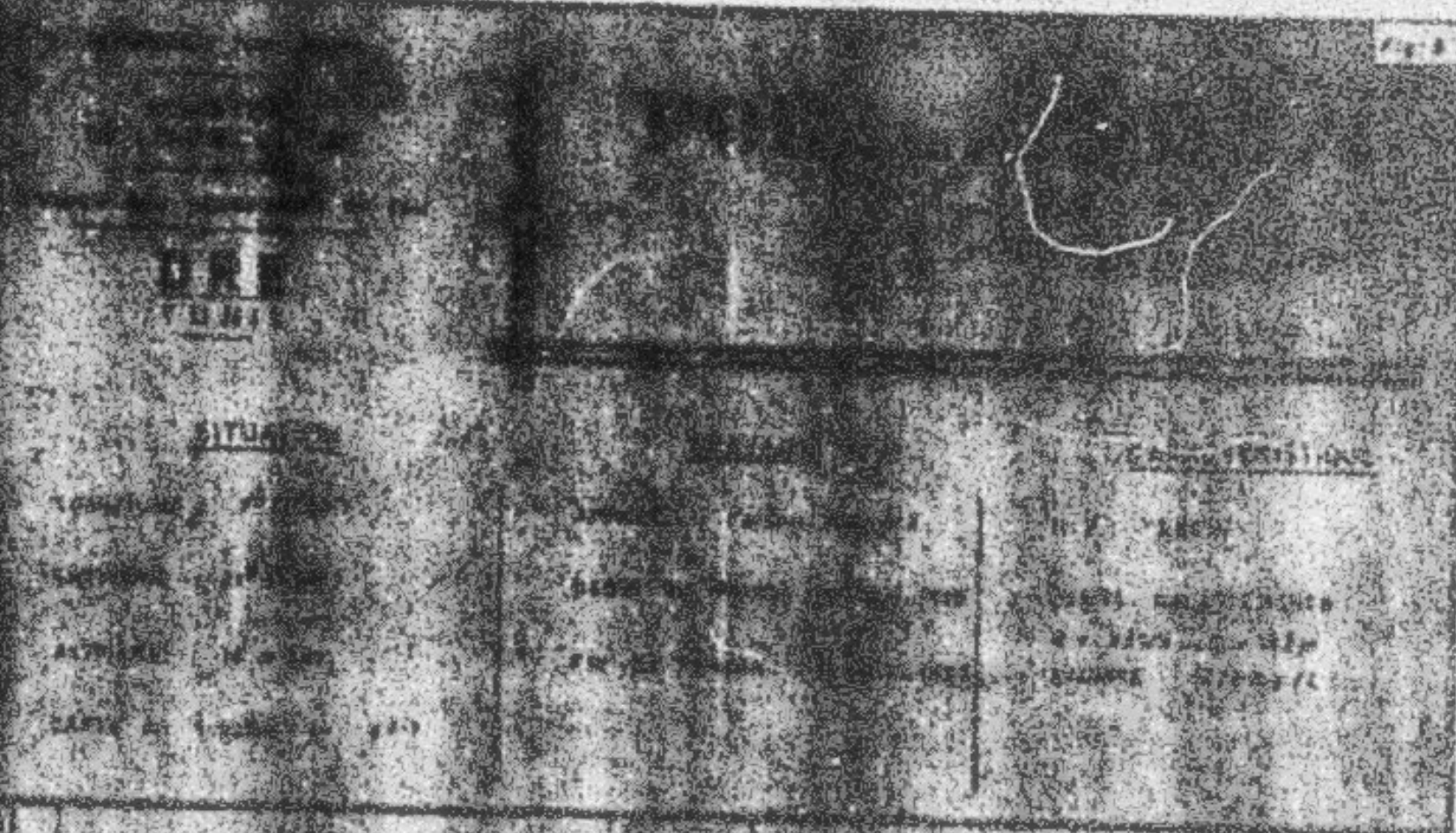
Un essai de longue durée a été réalisé du 6.4.1975 à 10h00 au 8.4.1975 à la même heure.

Le niveau statique du puitsmêtre 3517/1 situé à environ 10 m du forage pompé se situait à 4,63 m de profondeur.

Équipement -

- IS PUMPS 6" série N° 29177 avec tête matrice KM 6/195/136273/0 actionnée par un moteur STELR, type 313 S, n° 1032.
- Bousmître à serrure avec prise d'air immergée à 30 mètres de profondeur.
- Débit mesuré à l'aide d'un filt. de 75 l et d'un chronomètre.

Lors de l'abaissement, il est apparu dans l'eau pompée et rejetée vers l'Oued El KEBIR des plaques de rouille. Nous conseillons donc à l'ONFVM de changer la pompe en place. La figure 3 permet la détermination des caractéristiques hydrogéologiques :



ITEMS	DESCRIPTION	QUANTITY	UNIT	PRICE	AMOUNT
Terre végétale					
Argile jaune					
Terre grise					
Emballage					
Sable fin avec					
argile et cailloux					
Amidon et					
matière grasse et					
de sucre etc.					
argile rebouchée					
Sable presse					

TYPE VÉGÉTAL

Agric. Japon

Marne grise
compacteSable fin avec
argile et calcaireAlternances de
marne grise et
de sable f.

Argiles sablonneuses

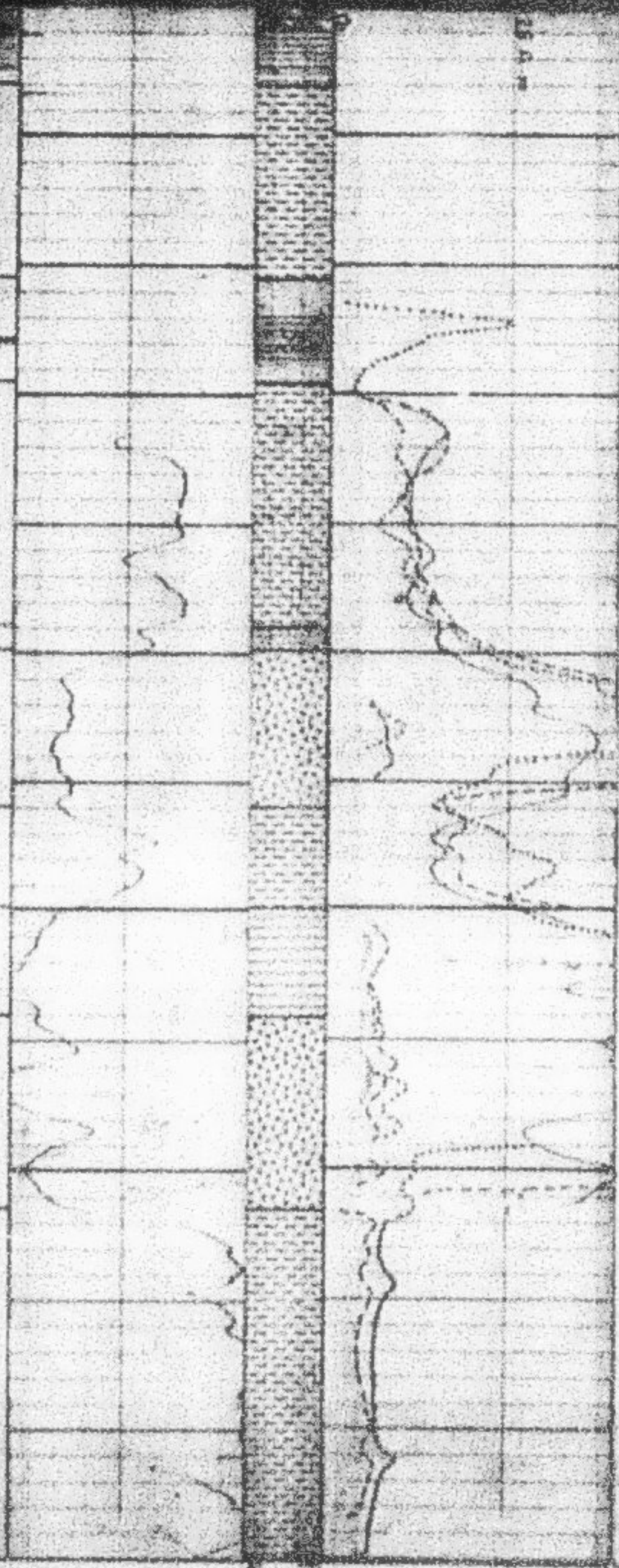
Grauw-gravel

Mouge sablonneuse

Gres

Gresite grise

Marne grise



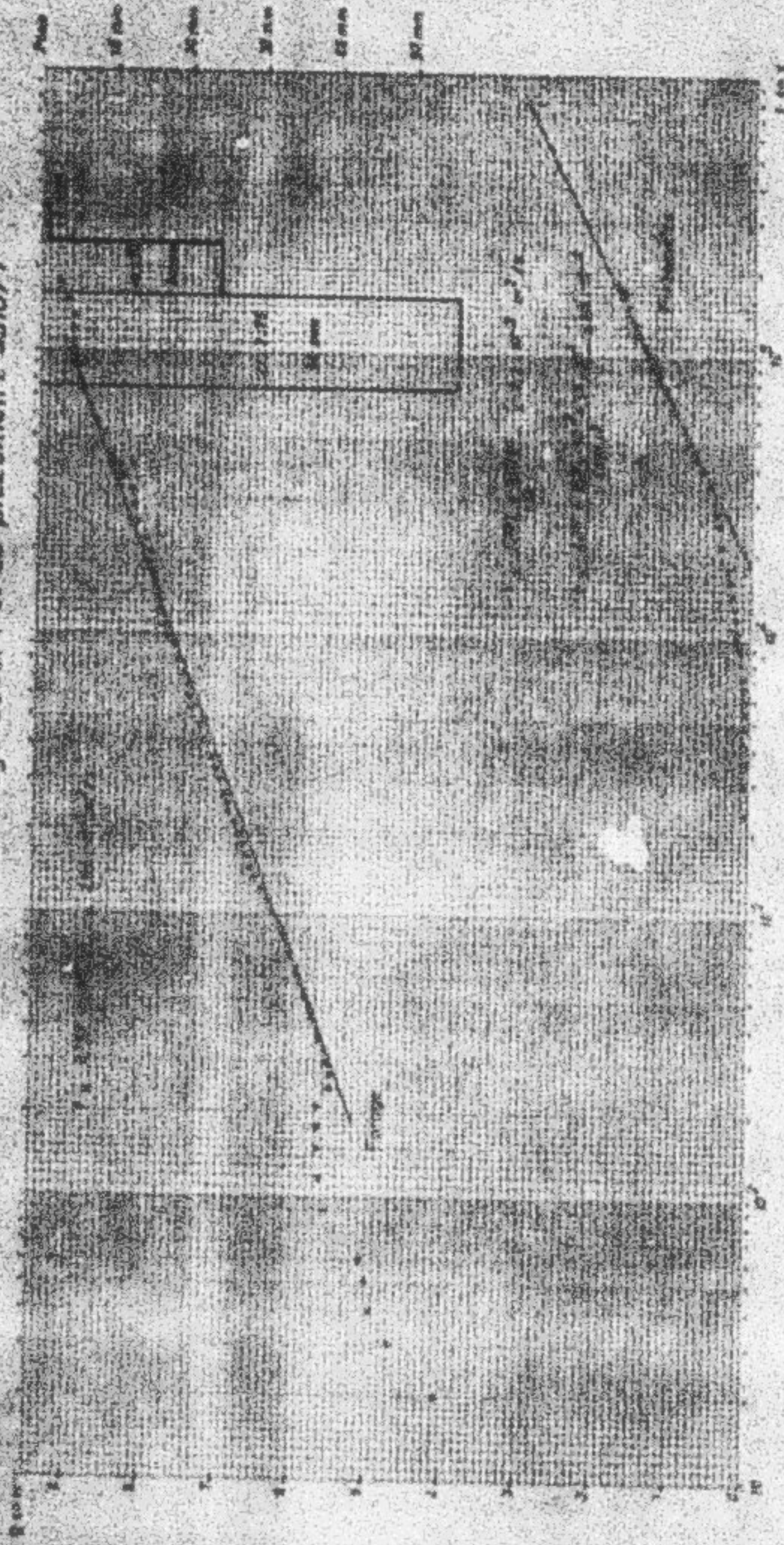
250 m.s.m.

31.11m

44.77m

Essai de longue durée sur le forage 60738/1
du 15.2.75 à 17h ou 17.2.75 à 13h

Observation de l'abaissement du forage 60738/1 et du piezomètre 351871



Essai de longue durée sur le forage 6078/1

Observation de la remontée

100 m

100 m

$$t = \frac{2.97 + 0.2234}{2.8} \approx 2.3 + 0.07 m^2/s$$

62

64

66

68

70

72

74

76

m

m

100

m

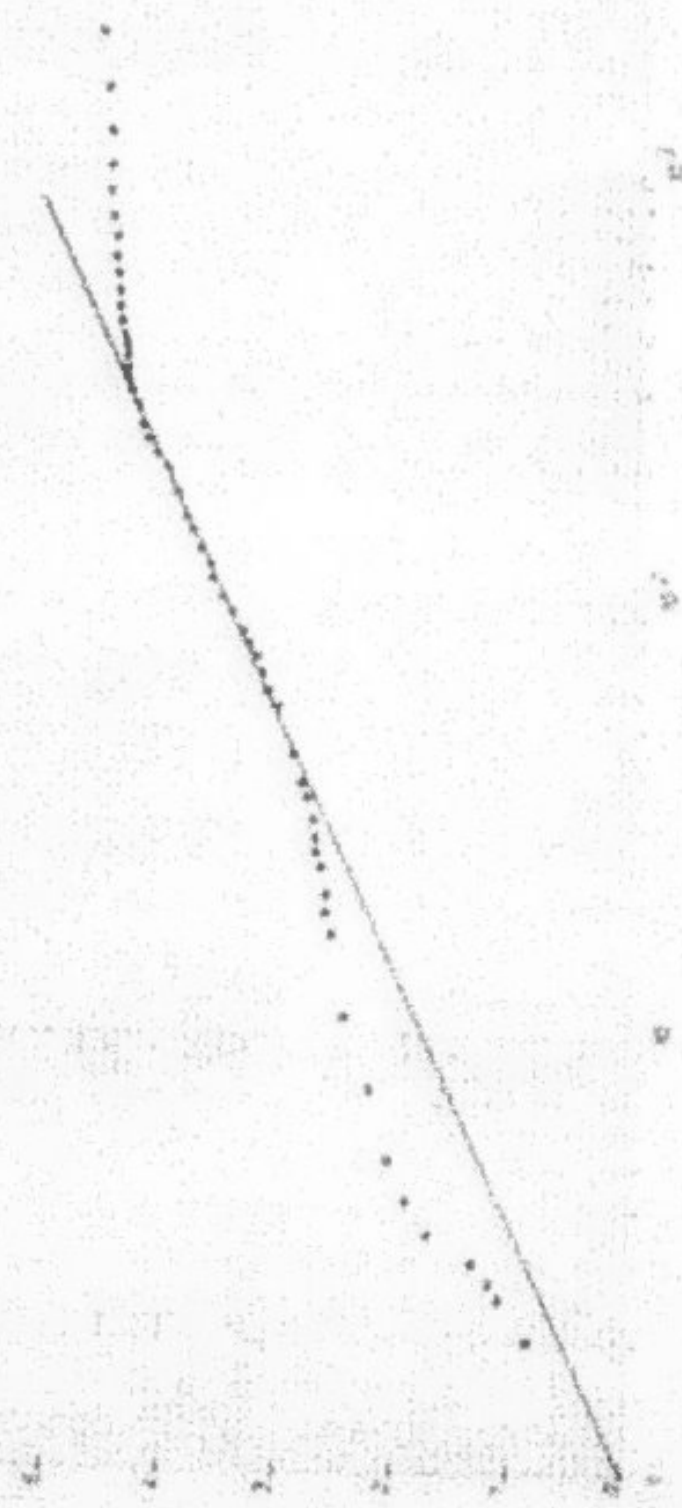
m

m

m

m

m



$$\text{Forage} : T = \frac{0,183 \times 0,0125}{2,0} = 8,4 \cdot 10^{-4} \text{ m}^2/\text{s}$$
$$\text{Pédomètre} : T = \frac{0,183 \times 0,0125}{3,0} = 7,6 \cdot 10^{-4} \text{ m}^2/\text{s}$$
$$S = \frac{2,25 \times 7,6 \cdot 10^{-4}}{(10)^2} = 7,1 \cdot 10^{-4} \text{ m}^2/\text{s}$$

Après 72 heures de pompage, la résécation a été observée donnant des caractéristiques très proches (Fig. 4) :

$$\text{Forage} : T = \frac{0,183 \times 0,0125}{2,0} = 1,03 \cdot 10^{-3} \text{ m}^2/\text{s}$$
$$\text{Pédomètre} : T = \frac{0,183 \times 0,0125}{1,8} = 1,2 \cdot 10^{-3} \text{ m}^2/\text{s}$$

Les analyses chimiques effectuées au cours de cet essai ont été compilées dans le tableau ci-dessous :

Éléments en mg/l	Ca	Mg	Na	K	S _{o4}	Cl	CO ₃	R.S.
3517bis/1 début	120	77	152	4	302	224	222	1109
3517bis/1 fin	116	29	150	4	67	220	230	796

L'eau est ici carbonatée sodique.

B3.2.2 - Forage 3518/1

Appartient à la SO.H.E.R.O.E et n'a pu être testé.

B3.2.3 - Forage 4778/1

Le diagramme multiple ci-joint rassemble les différentes renseignements existants concernant ce forage (Fig. 6).

Un essai de longue durée a été entrepris du 15.2.75 à 11h au 17.2.75 à 13h à un débit moyen de 23,4 l/s, avec le matériel équipant cet ouvrage.

Préliminaire -

- Pompe LAIRZ 6" type HEDD N° 50590 actionnée par un moteur MHD, série 7827 - G 26 E, type COPB - 6002 - GR.
- Manomètre à mercure avec prise d'air.
- Débit mesuré à l'aide d'un RDT de 75 l et d'un stroboscopie.

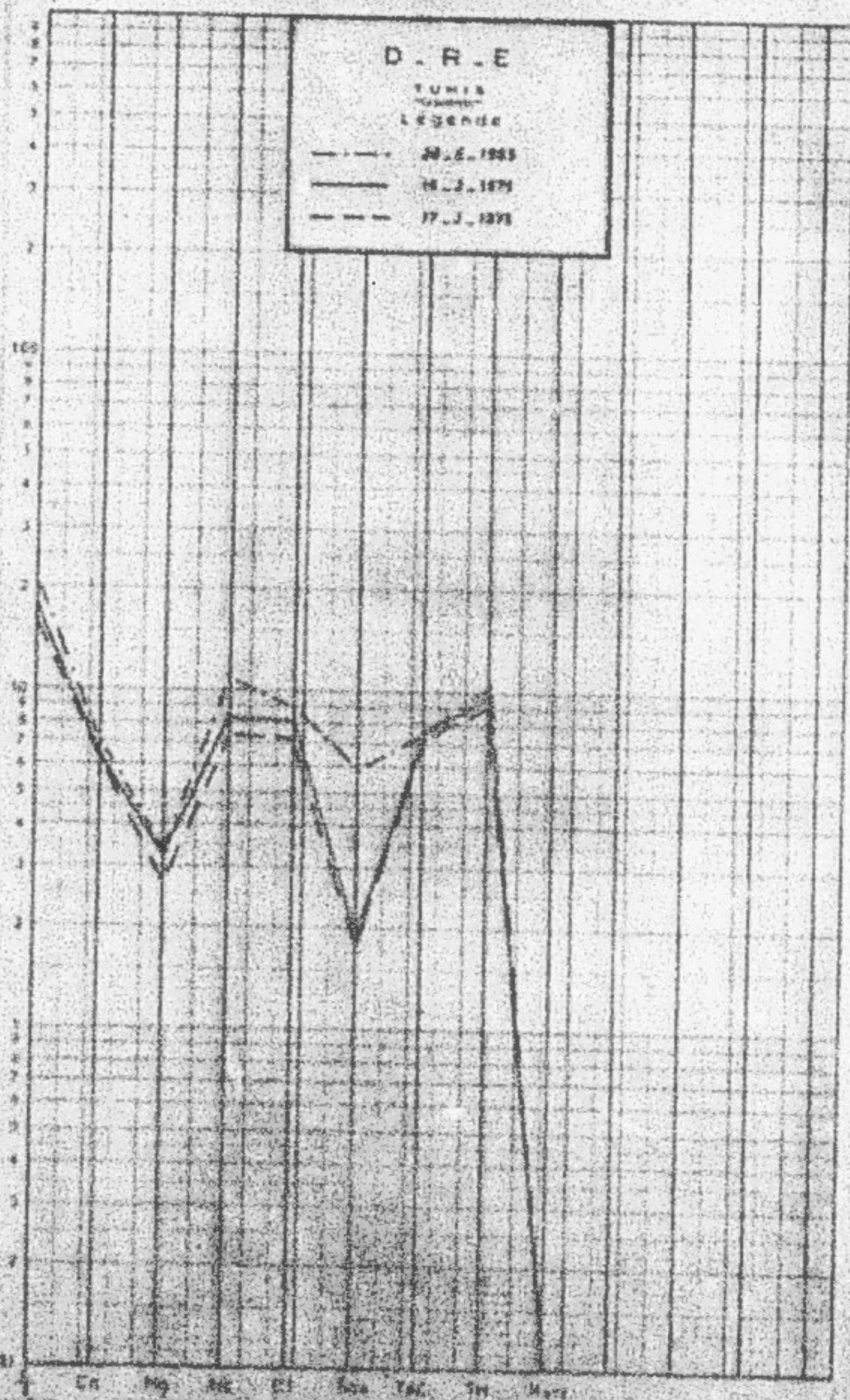
L'abaissement est très régulier et permet la détermination de la transmissivité :

$$T = \frac{0,183 \times 0,0250}{1,4} = 3,03 \cdot 10^{-3} \text{ m}^2/\text{s}$$

Les pluies intenses du 17,18 et 19 Février provoquant l'inondation de la plaine de TABANNA nous ont conduit à stopper cet essai après 50 heures de pompage. Il est vraisemblable que la stabilisation observée en fin d'essai soit due aux violentes pluies du 17 Février (56 mm).

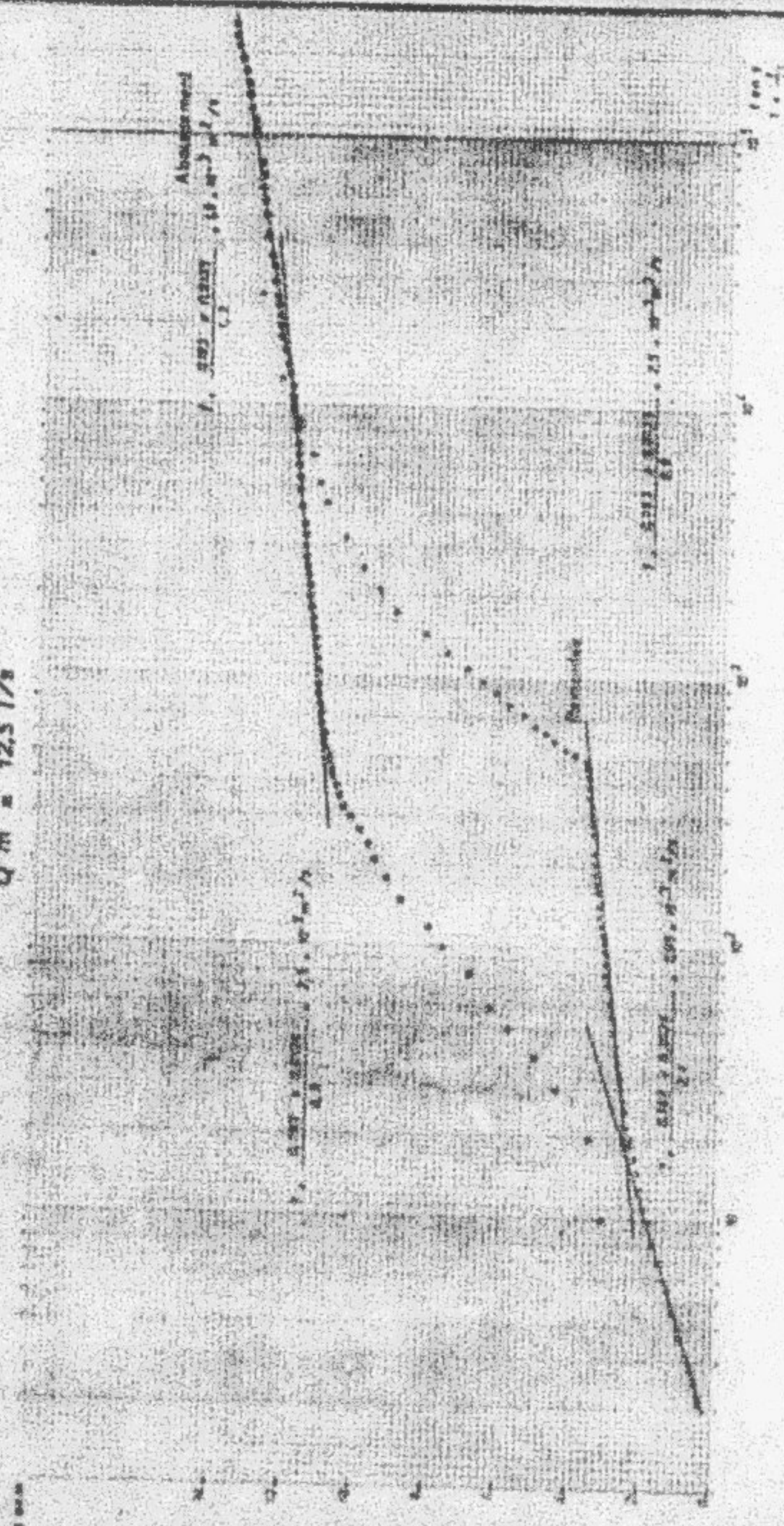
DIAGRAMMES SEMI LOGARITHMIGUES
FORAGE 5878/1

mo/j



ESSC

longue durée sur le forage 6079/1
du 12.4.75 à 12h au 15.4.75 à 12h
 $Q_m = 12.5 \text{ l/s}$



L'interprétation de l'abaissement du piezomètre 3510/1 mis au 750 m de l'ouvrage jusqu'à la fin de l'essai fournit les caractéristiques hydrodynamiques suivantes :

$$\gamma = \frac{Q_{\text{moy}} \times 0,0034}{1,0} = 2,3 \cdot 10^{-3} \text{ m}^2/\text{s}$$

et

$$S = \frac{2,34 \times 2,3 \cdot 10^{-3} \times 1,0 \cdot 10^{-6}}{(750)} = 1,6 \cdot 10^{-6}$$

Le niveau est perturbé par les pluies devant le débordement de l'ouvrage et 2500 m.

On peut toutefois tester une approche de la valeur de la transmissivité :

$$\gamma = \frac{Q_{\text{moy}} \times 0,0034}{1,0} = 2,3 \cdot 10^{-3} \text{ m}^2/\text{s}$$

Plusieurs prélèvements ont été effectués durant ces essais. Les résultats des analyses (fig. 9) sont consignés dans le tableau ci-dessous :

Éléments en mg/l	Ca	Mg	K	SiO ₄	Cl	CaJ	R.S	
6078/1 début	120	40	193	0	91	293	231	978
6078/1 fin	126	32	170	0	86	256	216	836

Il s'agit d'une eau chlorurée calcaire faiblement minéralisée.

B) 2.4 - Essais 2079/1

Un essai de 72 heures a été mené sur cet ouvrage du 19. 4. 1975 à 12 h au 19. 4. 1975 à 12h à un débit de 12,5 l/s. La pompe en place n'a pas été utilisée, celle-ci sera bientôt hors d'usage. C'est d'ailleurs déjà le cas pour le moteur.

Équipement :

- Pompe ZSE type 870, N° 6-191-133950/1 actionnée par un moteur STEYR, type 313 S, N° 1010.

Le moteur en place DEDMEL-45502, type 05-636 IV-S, N° 636 932-03-003177 est hors d'usage.

- Manomètre à varioire avec prise d'air immergée à 30 mètres de profondeur.

- Débit mesure à l'aide d'un flot de 75 l et d'un chronomètre.
L'échelonnement permet le calcul de la transmissivité

$$\gamma = \frac{Q_{\text{moy}} \times 0,0034}{1,0} = 2,3 \cdot 10^{-3} \text{ m}^2/\text{s}$$

Cette valeur semble tendre vers la fin de l'essai :

$$\gamma = \frac{Q_{\text{moy}} \times 0,0034}{1,0} = 1,7 \cdot 10^{-3} \text{ m}^2/\text{s}$$

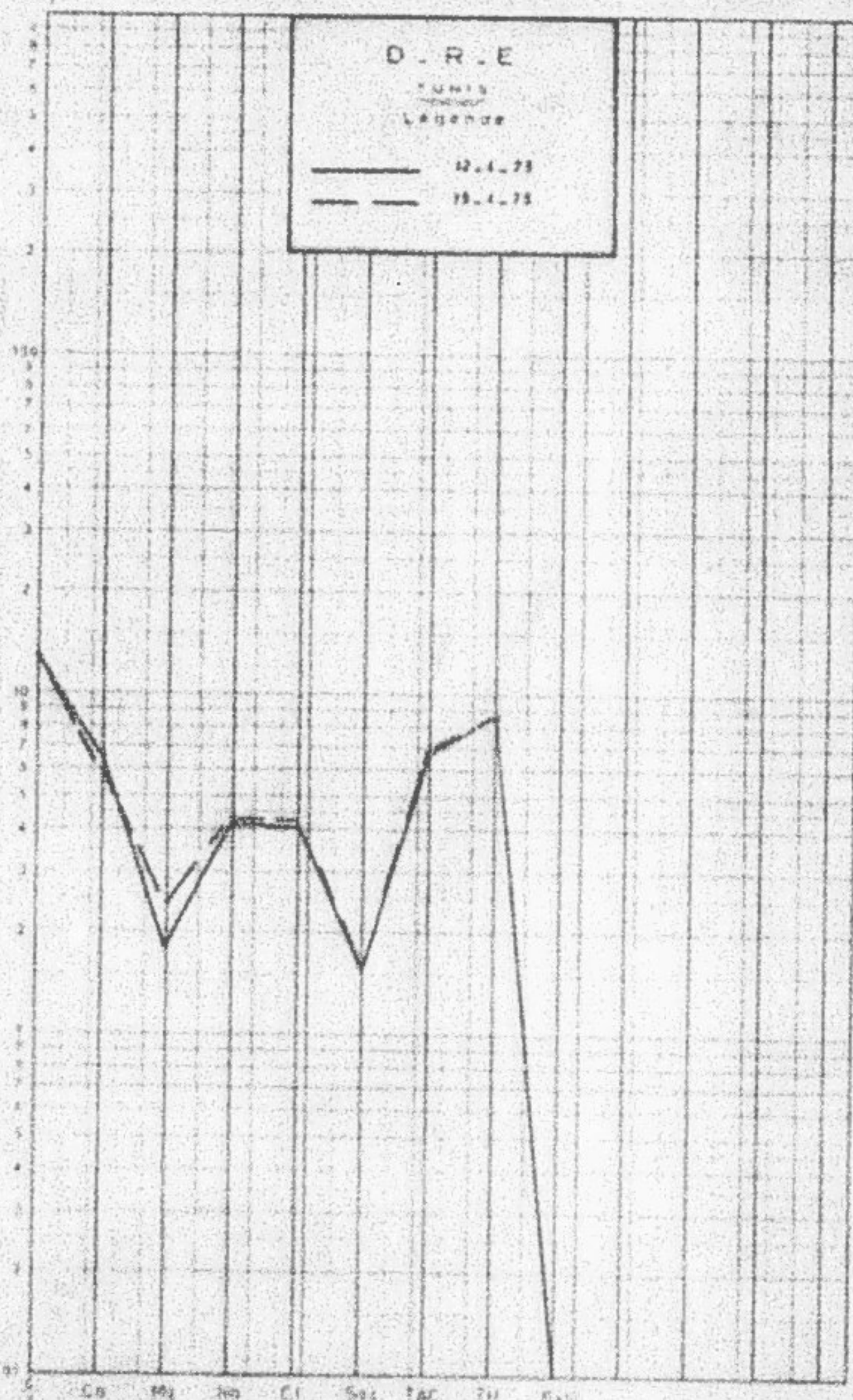
La moyenne donne une valeur constante de moins au début :

$$\gamma = \frac{Q_{\text{moy}} \times 0,0034}{1,0} = 2,5 \cdot 10^{-3} \text{ m}^2/\text{s}$$

DIAGRAMMES SEMI LOGARITHMIQUES

FORAGE 6079

m.s.



REPUBLIQUE TUNISIENNE
MINISTERE
DE L'AGRICULTURE
DIVISION DES RESSOURCES EN EAU

Fig. 17

DRE
TUNIS

FORAGE 6781/1

SITUATION

LONGITUDE : $7^{\circ}17'35''$

LATITUDE : $31^{\circ}05'20''$

ALTITUDE : 28 m.s.m.

CARTE AU 1:50000 N° 5018

TRAVAUX

APPAREIL : SFR 125 N° 1

DEBUT DU FORAGE : 16.23.4.1967

FIN DU FORAGE : 18.21.5.1967

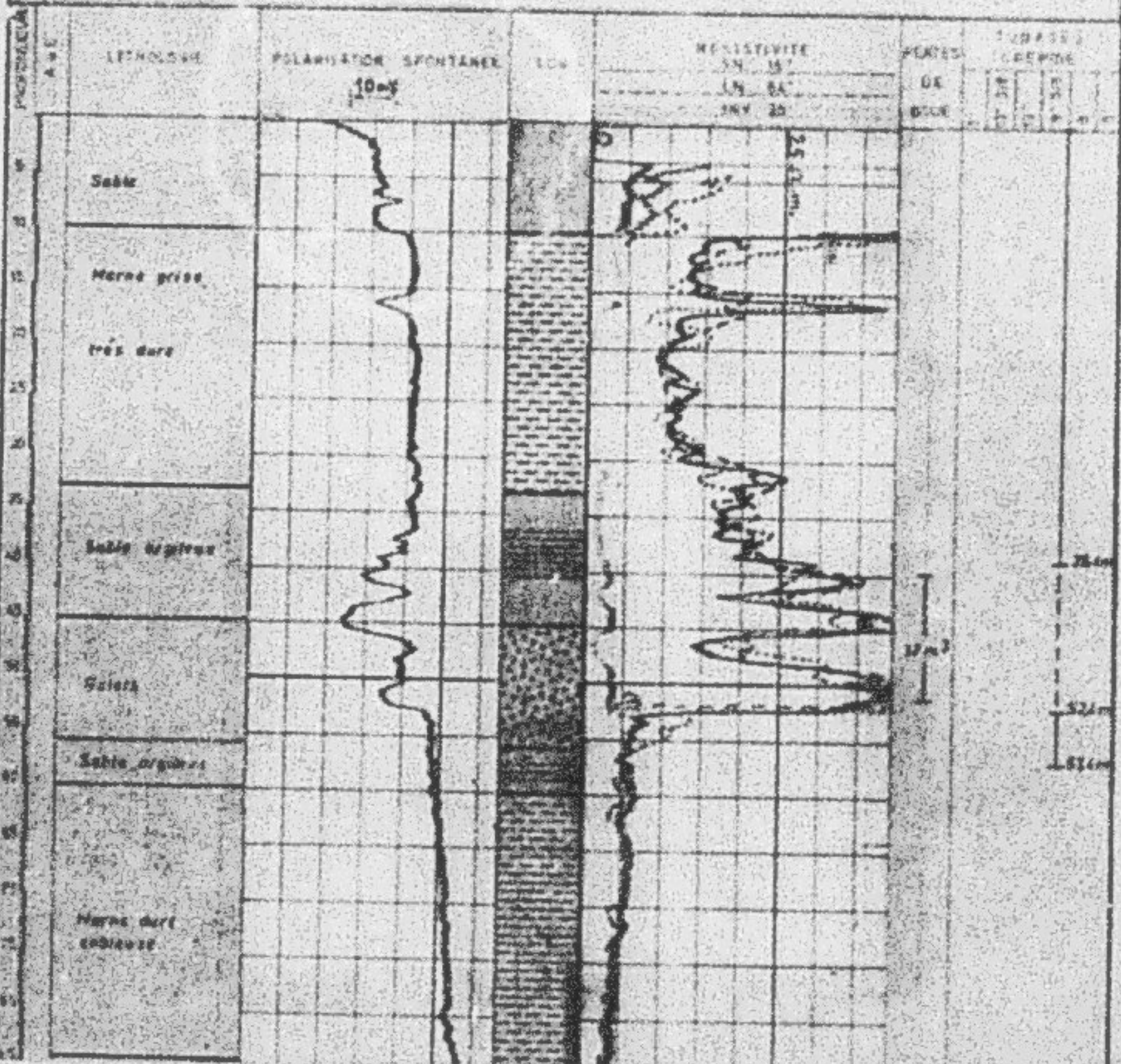
CARACTERISTIQUE

N.F. 6,0 m

DESSUS RABATTEMENT

Q = 817 m³/s à 25,7 m

GRANITE - 2489/1



SITUATIONLONGITUDE $7^{\circ} 37' 35''$ TRAVAILCANAUXLATITUDE $41^{\circ} 05' 38''$

APPAREIL JAY 125 N° 1

A. D. 6,0 m.

ALTITUDE 27m 000

DEBUT DU TRAVAIL 16.23.6.1967

DÉBUT TRAVAILLEUR

CARTE AU 1:50000 N° 9818

FIN DU TRAVAIL 16.27.6.1967

A. S. 0.73 - 5 x 28.2m

L.S. 0.025 24891

LATITUDE

POLARISATION DÉCHIFFRÉE

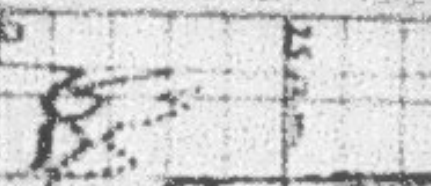
MÉTÉOROLOGIQUE

PÉRIODE

10m

1967

Sable



Merme grise

Merme dure

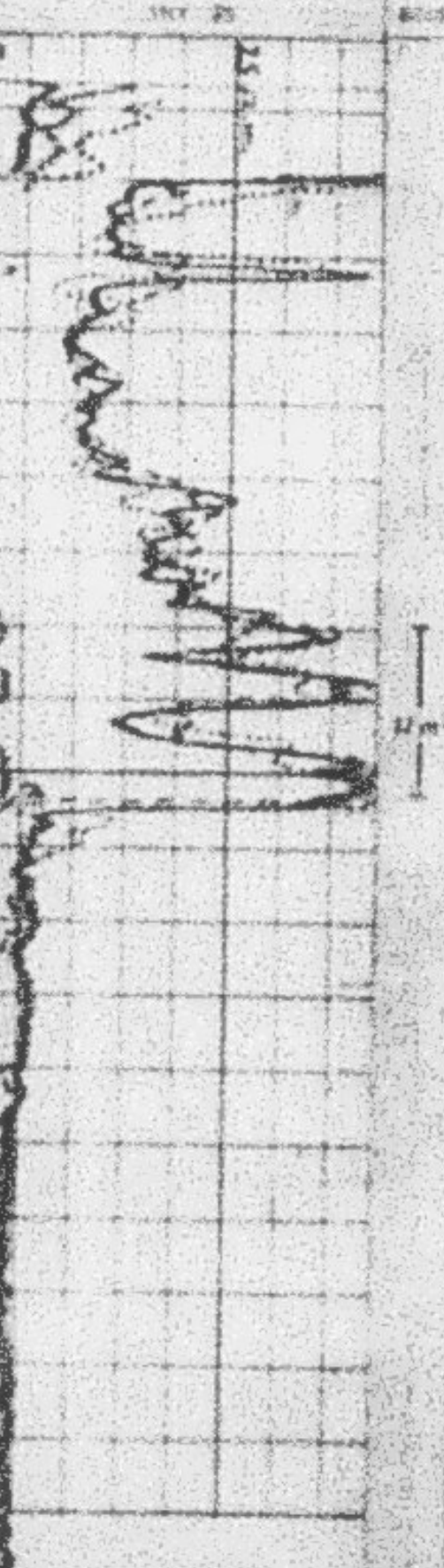
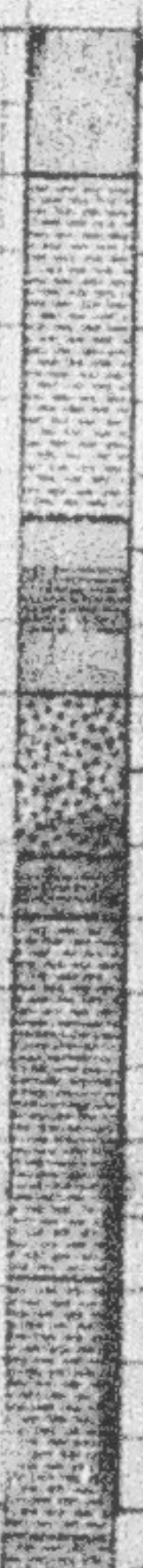
Sable argileux

Gravier

Sable argileux

Merme dure
argileux

Merme dure

10m
20m
30m
40m
50m100m
200m
300m

Essai de longue durée sur le forge 6781/1
du 5.3.75 à 12 du 7.3.75 à 16

Observation de débordement

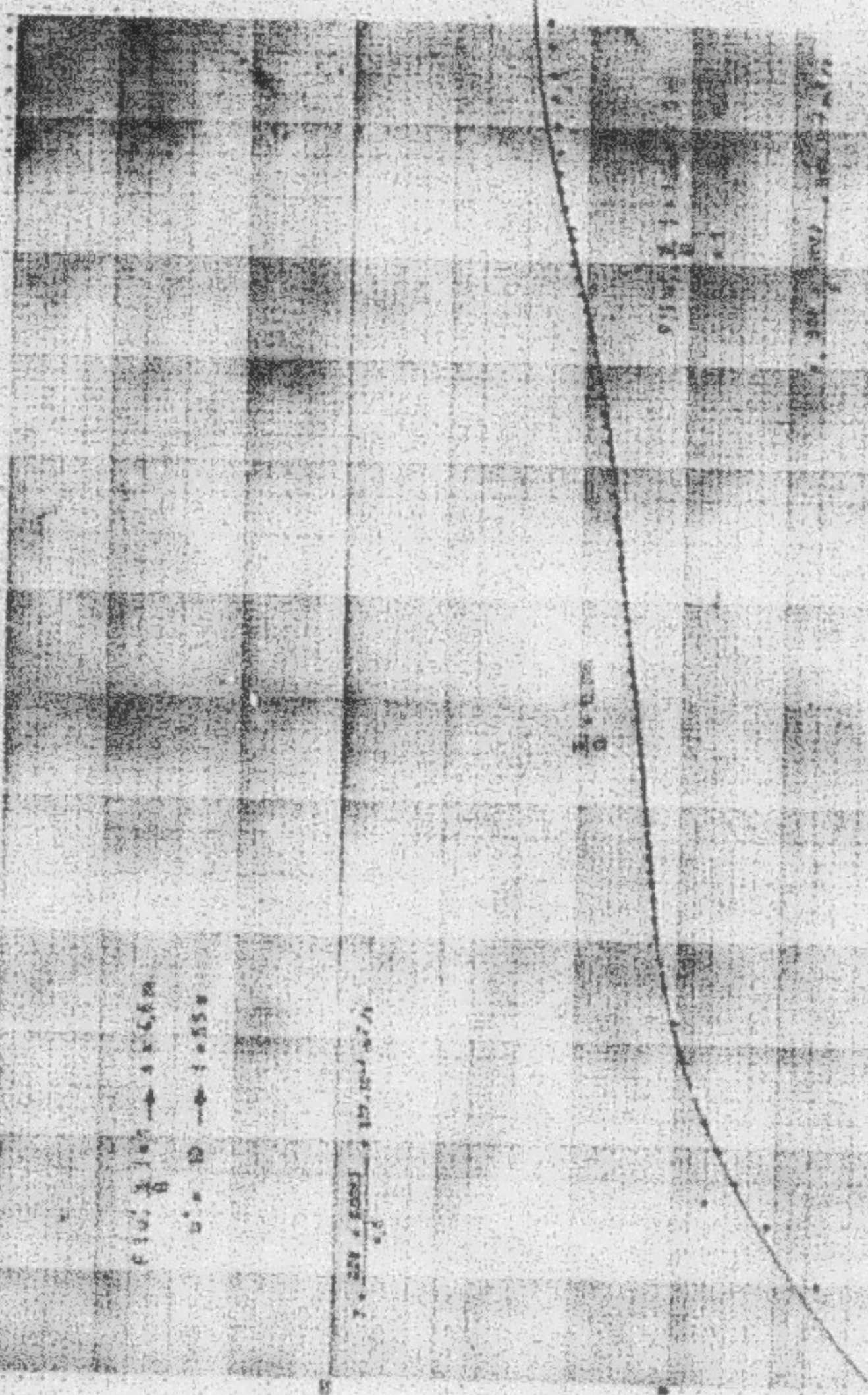
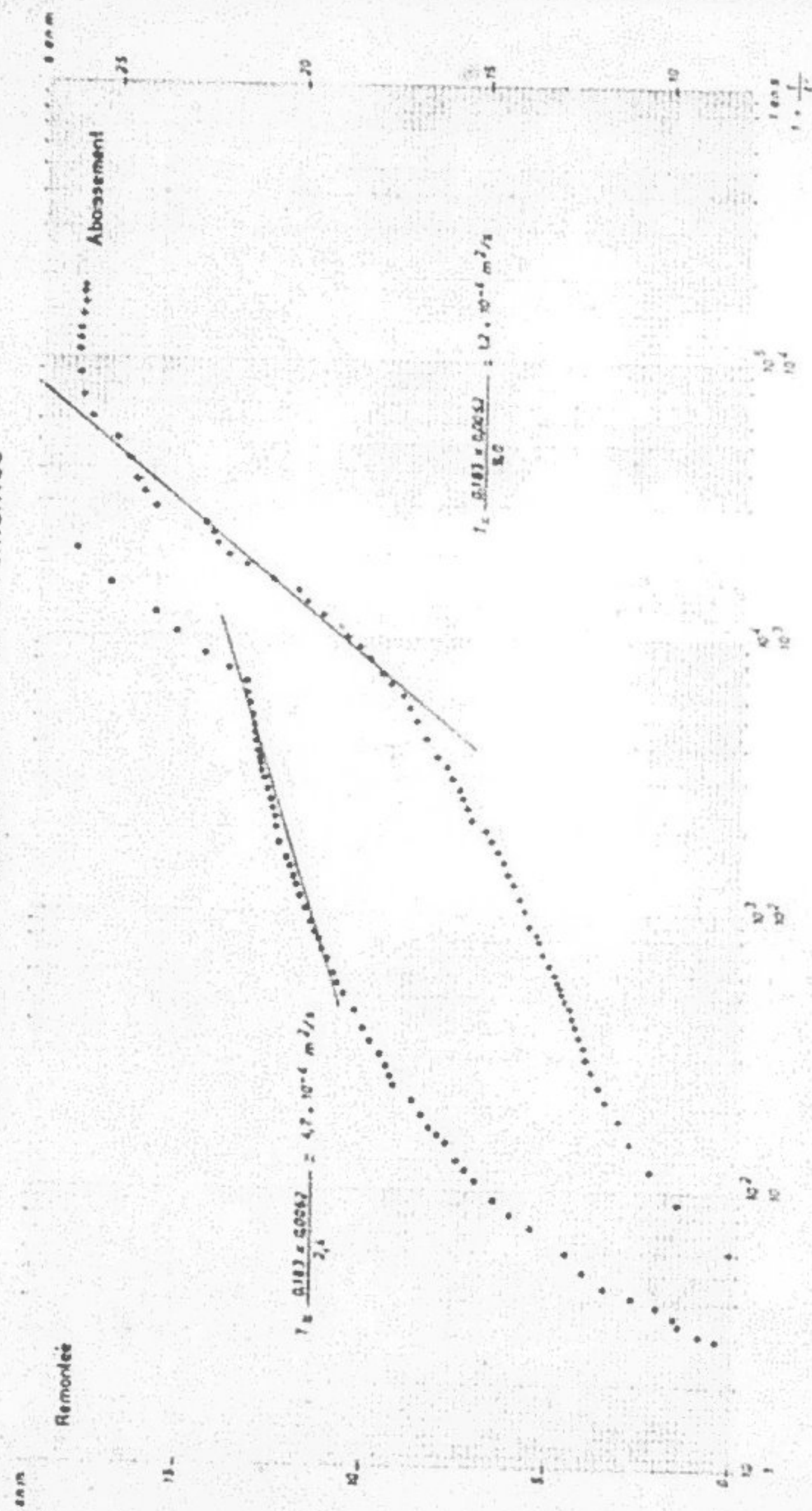


Fig. 14

Essai de longue durée sur le forage 6781/1
du 5.3.75 à 12h au 7.3.75 à 12h
Observation de l'abaissement et de la remontée



DIAGRAMMES SEMI LOGARITHMIQUES

FORAGE 6781/1

D . R . E

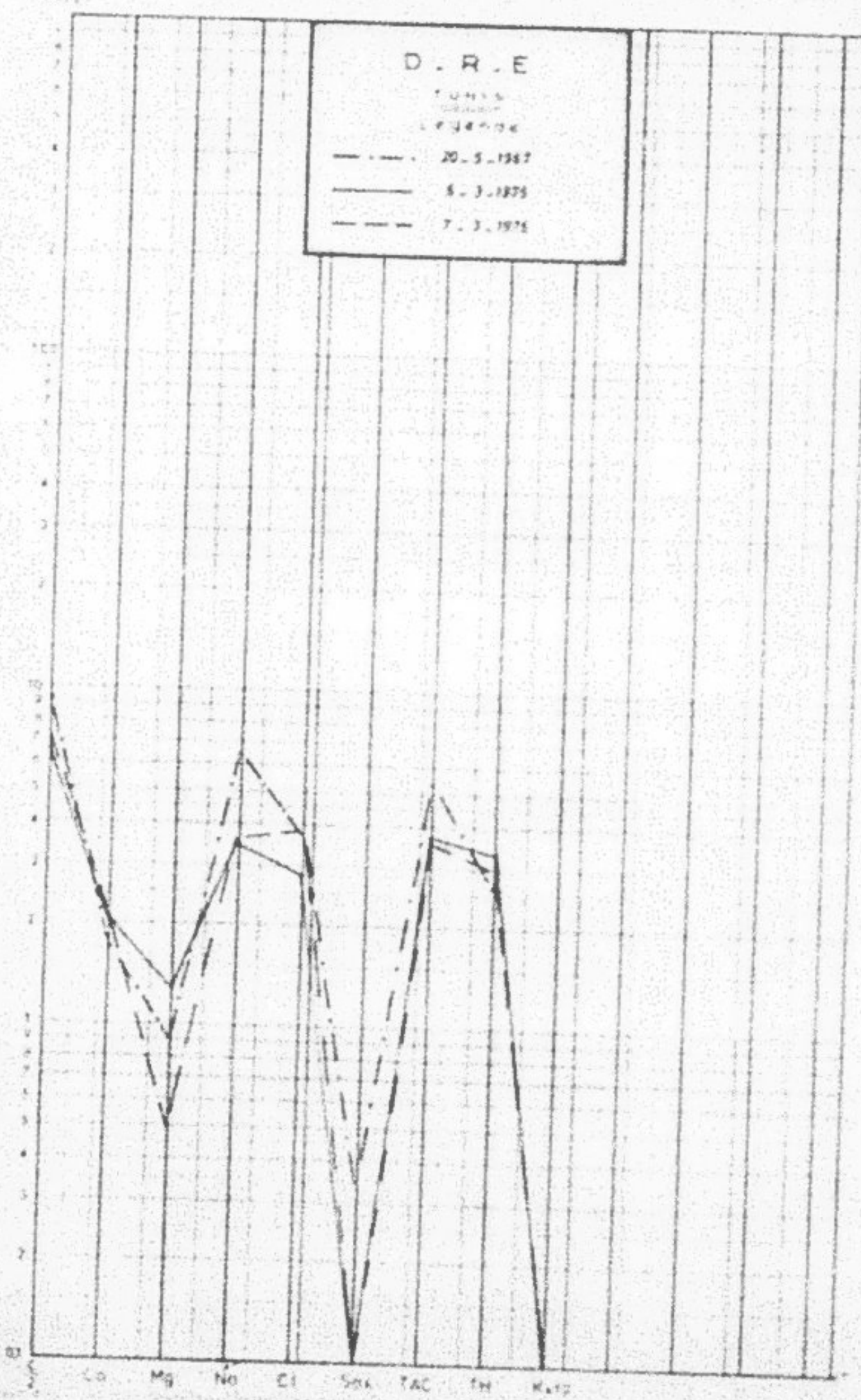
TUNIS

LE 14-05-84

— · — · 20-5-1982

— · — · 5-3-1979

— · — · 7-3-1976



Vers la fin de la remontée, la transmissivité diminue sensiblement :

$$T = \frac{Q_{\text{d}}}{\Delta h} = 0,95 \cdot 10^{-3} \text{ m}^2/\text{s}$$

Après 72 heures d'observation de cette remontée, le rebâtement résiduel s'élève à 20 centimètres indiquant que l'aquifère testé est peu étendu.

Deux prélèvements ont été réalisés en début et en fin d'essai. Les résultats des analyses (fig. 11) sont indiqués dans le tableau ci-dessous

Éléments en mg/l	Ca	Mg	Na	K	SO ₄	Cl	Ca/J	R.S
4079/1 début	134	20	94	0	77	146	204	735
4079/1 fin	122	73	99	0	77	149	207	727

Il s'agit d'eau typiquement carbonatée calcaire.

3.2.3 - FORAGE 6701/1 (voir diagramme multiple fig. 12)

Il est implanté près de la route menant de NEYIA à PARAKA et coupe aussi la nappe profonde.

Un essai de longue durée a été entrepris du 5 mars à 12h au 7 mars 73 à 12h avec l'équipement existant à un débit moyen de 4,2 l/s.

Équipement :

- Pompe ALTI Ø 150 mm, N° 251793 entraînée par un moteur électrique CSN, synchrone, MDT 300 bras, N° L 471450.
- Strophore à mercure avec prise d'air.
- Compteur volumétrique.

(Volume pompé en 50 heures : 113,3 m³).

La forme de la courbe d'abaissement nous a amené à représenter celle-ci en coordonnées bi-logarithmiques et à envisager une éventuelle communication entre la nappe phréatique et la nappe profonde.

Cette communication, confirmée par le compte-rendu de fin de travaux et d'essai de débit indiquant que le tronçon 9° 5/8 n'a été creusé que sur ses premiers mètres, motivait en relation la nappe phréatique existante dans les sables dunaires et la nappe profonde.

De ce fait, il pourrait y avoir contamination d'une nappe par une autre, en l'occurrence celle existante dans les sables dunaires peut être bien se différencier dans l'errance annuelle marquement ainsi ce forage. Ce phénomène donne en coordonnées bi-logarithmiques une forme impression de drainance.

La première partie de la courbe permet le calcul de la transmissivité suivante :

$$T = \frac{Q_{\text{d}}}{\Delta h} = 1,07 \cdot 10^{-3} \text{ m}^2/\text{s}$$

La seconde partie de la courbe donne une valeur minimale :

$$T = \frac{0,08 \times 0,0062}{3} = 0,99 \cdot 10^{-4} \text{ m}^2/\text{s}$$

avec $\frac{L}{S} = 0,316$

L'indice de retard a pour valeur :

$$\frac{L}{X_{\text{ret}}} = \frac{0,316}{(0,316)^2} = 6569 =$$

or pour $\frac{L}{S} = 0,316$

$$X_{\text{ret}} = 3$$

$$\text{D'où } t_{\text{ret}} = 6569 \times 3 = 19707'' \quad \text{Soit près de 5h30}$$

Ce temps serait le temps au bout duquel l'effet du débit retardé cesserait d'influencer les rebattements.

L'abaissement est stabilisé après 20 heures de pompage. Ceci est probablement dû à l'influence de la mer.

La représentation de cet abaissement en coordonnées semi-logarithmiques permet le calcul des transmissivités suivantes :

$$\text{en début d'essai : } T = \frac{0,181 \times 0,0062}{3,6} = 3,3 \cdot 10^{-4} \text{ m}^2/\text{s}$$

$$\text{en fin d'essai : } T = \frac{0,181 \times 0,0062}{9,0} = 1,2 \cdot 10^{-4} \text{ m}^2/\text{s}$$

La remontée est difficilement interprétable et est perturbée par les pluies des 8 et 9 mars (9,2 mm + 48,5 mm). D'après celle-ci, on doit considérer que la transmissivité est inférieure à $4,7 \cdot 10^{-4} \text{ m}^2/\text{s}$.

Deux prélèvements ont été effectués au cours de cet essai :

Éléments en mg/l	Ca	Mg	Na	K	SO ₄	Cl	CaJ	H.S
6781/1 en début d'essai	42	16	81	0	5	103	114	361
6781/1 en fin d'essai	44	11	106	0	5	136	111	417

Nous avons affaire à une eau carbonatée sodique.

Cette eau étant destiné à l'alimentation en eau potable de TABARKA, il est important de réaliser un périmètre de protection autour de cet ouvrage (cf. article 121 du CODE DES EAUX). On peut considérer que le périmètre de protection immédiate existe déjà et est clôturé par la S.C.M.E.D.E.

Nous conseillerons en outre la mise en place d'un périmètre de protection éloigné où seraient réglementées toute activité industrielle, commerciale (entreposage), agricole, minière ou autres, susceptibles de modifier le régime et la qualité des eaux souterraines ou superficielles. Dans ce périmètre s'étendant 500 mètres à la ronde autour de ce forage, la surface du sol sera régulée, sans creux où l'eau puisse stagner. De ce fait, les extractions de nappes courantes devraient ici être interdites. Nous conseillerons de prolonger la forêt de pins existante jusqu'à la route TABARKA - NEFZA.

Mission PLaine de TABARKA
Date

S.E.
Forage

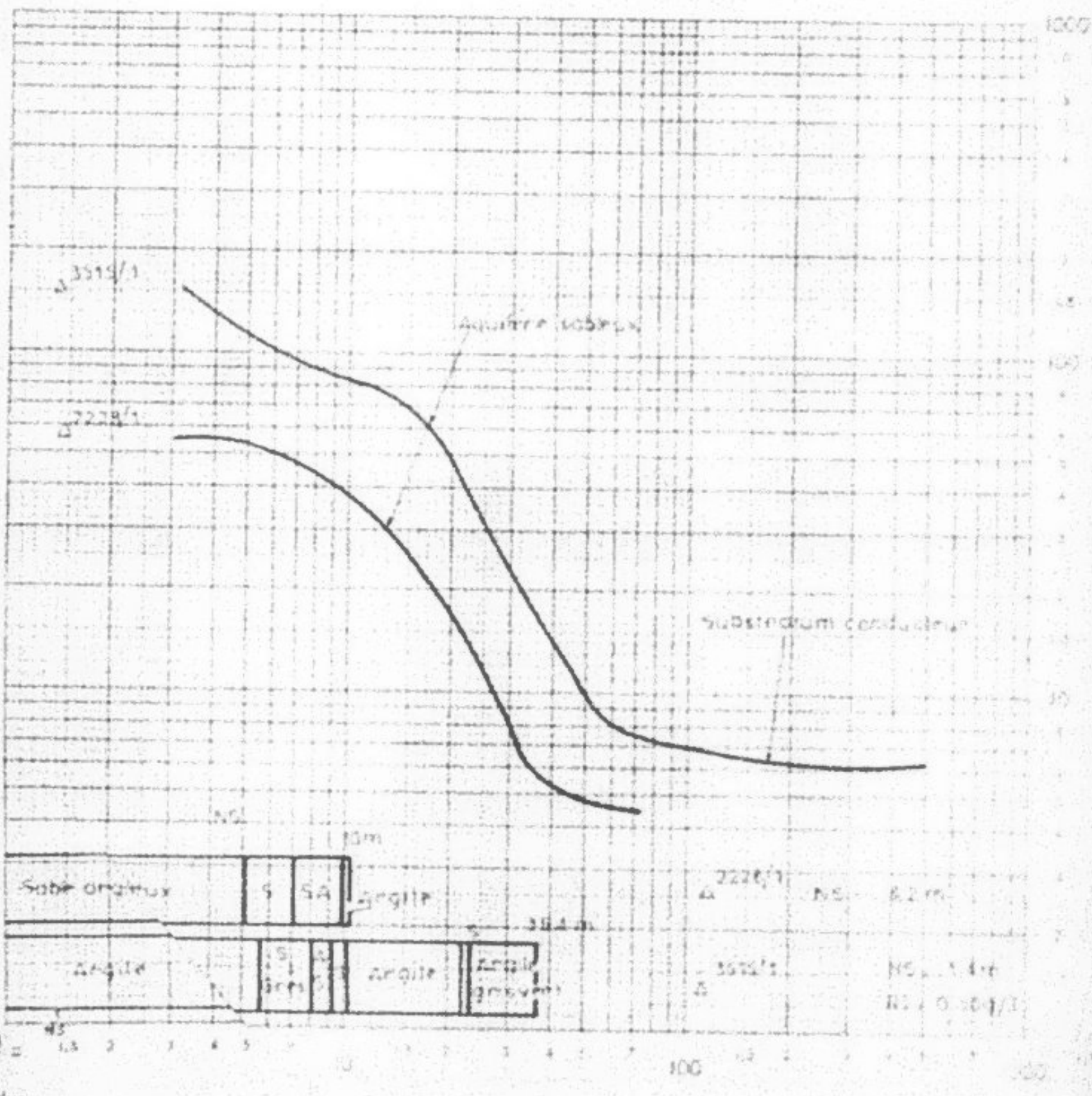
Fig 53

Interprétation

SE Cycles sur forage
A 2228/1
B 3515/1

Amitié de A-B
Côte de surface

Coupe des terrains



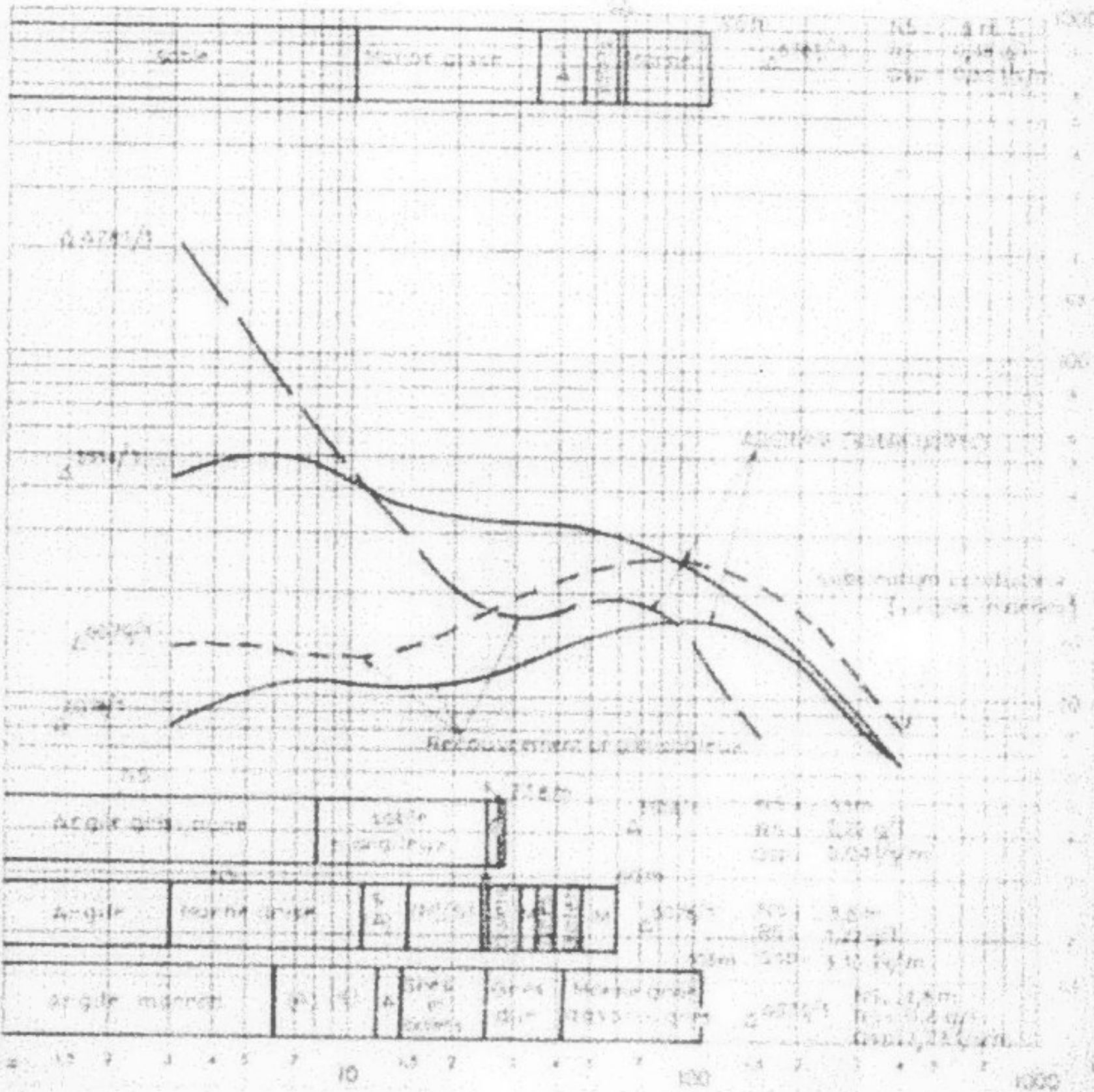
Mission PLAGE DE TABOURA
Date

S.E.
Forage

Interpretation DE FAUCONNEAU
A 774
A 775
A 776
A 778

Azurier de 300
Cote de surface

Coupe des terrains



G - TRAVAUX GÉOPHYSIQUES -

Réalisés sur le terrain en JUILLET-AOÛT 1974 par M. RALI BELMIS il a comporté la réalisation de 62 sondages électriques (55 dans le talus) dont 6 étaient sur une partie des forages existants (voir plan de position final).

La longueur de ligne AB utilisée est généralement égale à 1000 mètres suivant le dispositif BENTONITE.

G1 - Problème posé à la protection électrique -

Il s'agissait essentiellement de tenter de repérer les formations aquifères profondes reconnues par les forages déjà réalisés et d'en déterminer la puissance et l'extension.

Ces formations détritiques grossières reposent le plus souvent sur les argiles grises de l'océan ; les sondages électriques indiquent un bon contre-bas entre les résistivités de ces deux horizons et la méthode du sondage électrique était donc la plus adaptée à la résolution du problème.

G2 - Travaux réalisés (PL. I)

Les 55 S.E sont répartis sur 15 profils sensiblement perpendiculaires à l'axe de la vallée et distants d'environ 500 m. Leur espacement le long de ces profils est irrégulier sauf dans les conditions d'accès ; il varie entre 400 et 1000 m, mais est le plus souvent voisin de 500 m.

G3 - Résultats obtenus -

G3.1 - Les S.E isolés -

On peut les classer en deux groupes :

1 - Les 25 isolés sur les forages 2-18 et 3515 (fig. 16) où les alluvions sub-aquatiques sub-affleurantes sont épaisse de moins de 10 m et correspondent au marbre résistant bien visible au début de la coupe (60 - 100 cm-m).

On remarquera que ces forages sont situés en bordure de la vallée ce qui explique la faible épaisseur des dépôts détritiques. Le substratum de ces derniers apparaît comme un épais marbre conducteur (6 cm-m) ; il correspond en majorité partie aux turres toutes mais il semble au forage 3515 qu'on puisse y inclure une fraction du Miocene (argiles à intervalles gréseuses), les deux horizons étant confondus électriquement.

2 - Les 25 isolés 3514, 6078, 6079 et 6701 (fig. 17) situés dans la partie centrale de la plaine montrent bien la présence de l'aquifère épais (sable, grès, calcaire) recoupée par les forages et dont la résistivité varie de 35 à 50 ohm-m approximativement.

Le marbre conducteur, également lui très épais, a aussi une valeur voisine de 6 ohm-m.

Mission PLANE DE TABARKA
Date

S.E.
Forage

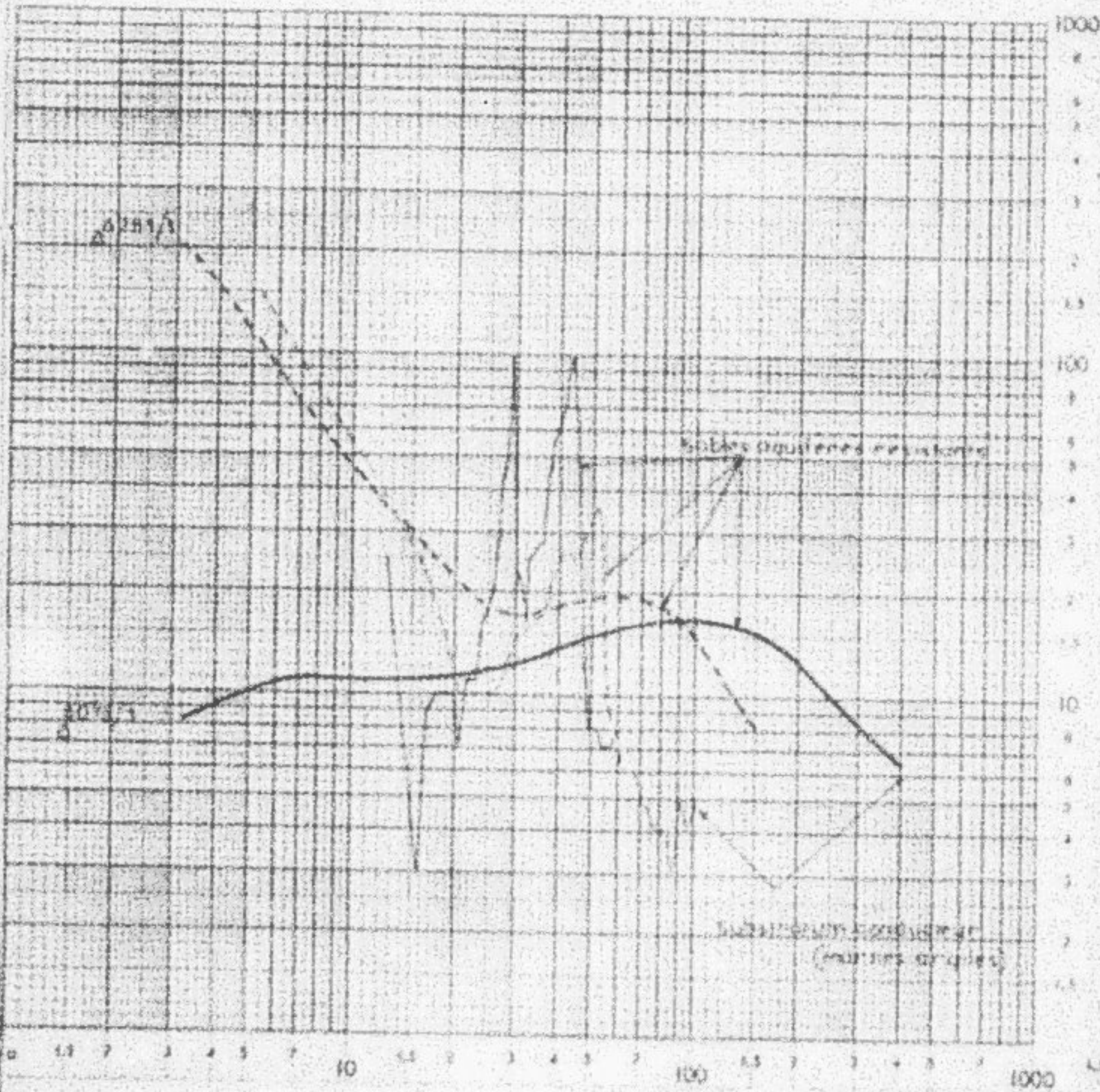
Fig: 18

Interprétation:

— Sonde inverse schématique A 8876/1
— Sonde inverse schématique Z 8787/1

Aziens de A-B
Cote de surface

Coupe des terrains



Mission PLANC DE TABANNA
Date

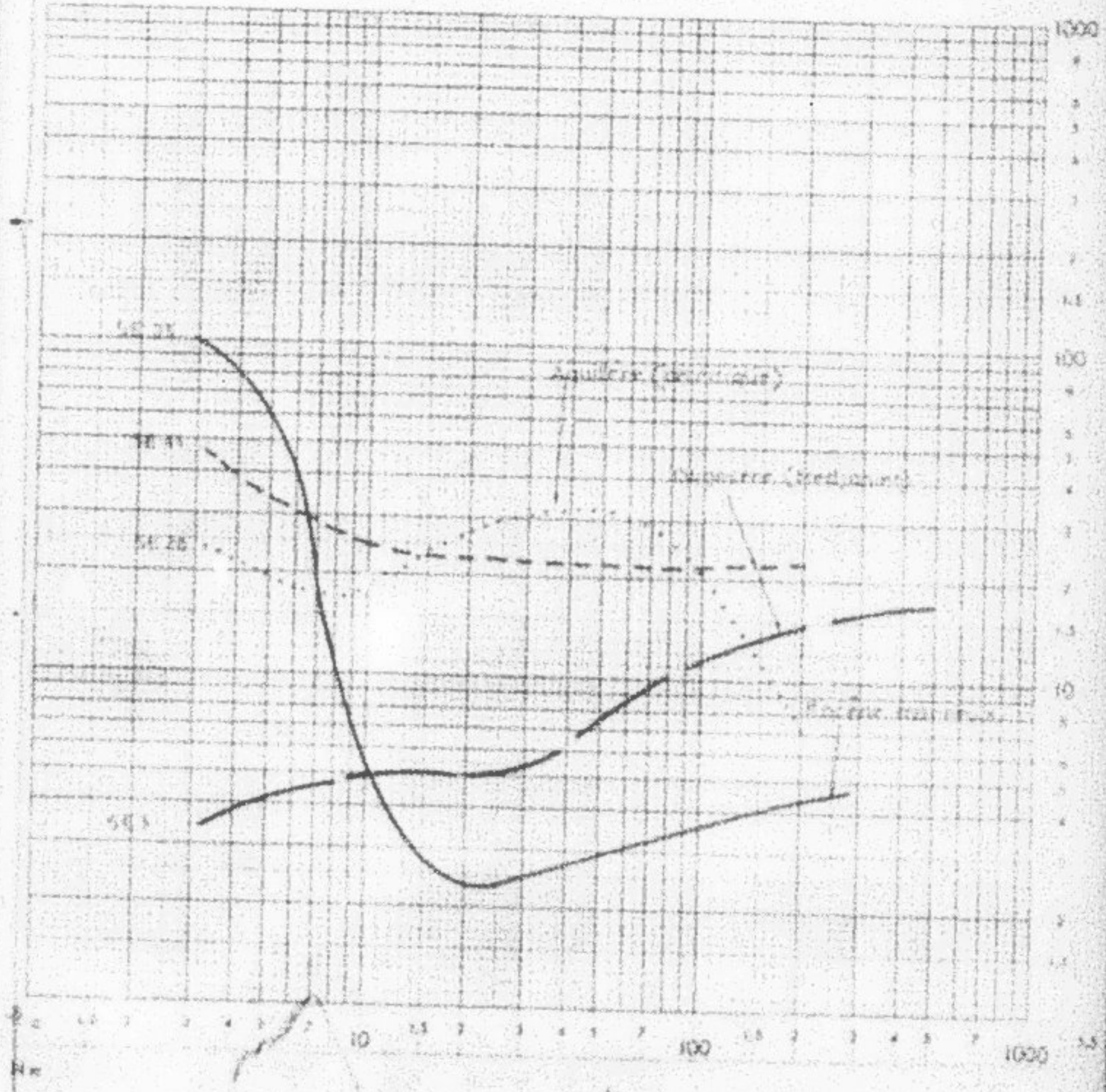
S.E.
Forage

Interpretation

11 23
55 30 30
11 23

Azimuth de A.S.
Cote de surface

Cotes des points



Mission

Prise de relevés

Date

S.E.

Interpretation

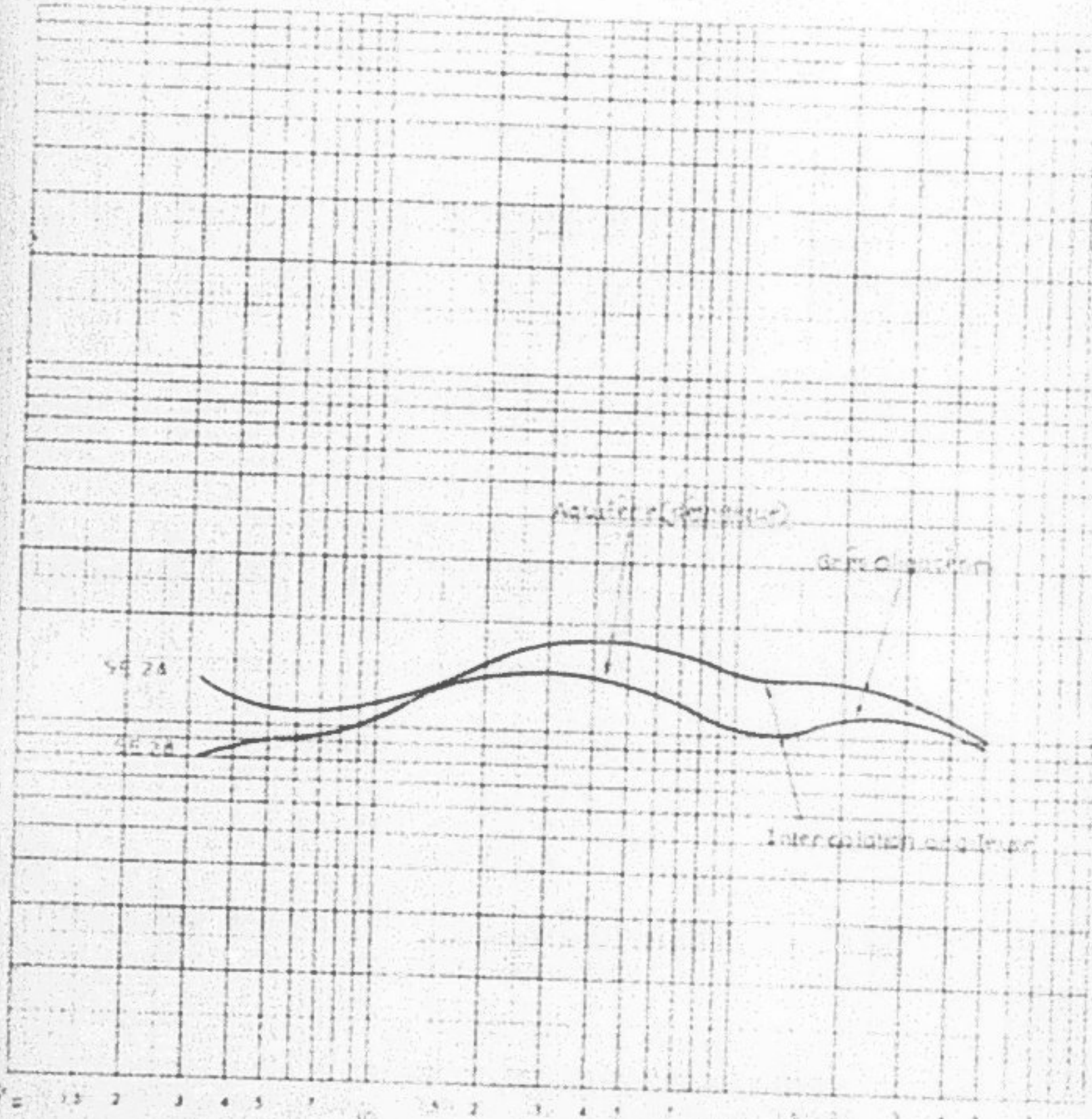
Forage

S.E. 24 m 28

Azimut de 28

Côte de surface

Coupe des terrains



Interprétation des terrains

Par contre l'aquifère résistant n'est pas toujours affleurant (SE 6079, 6078 et 6781) et est masqué par un recouvrement en majorité conducteur (marnes ou argiles plus ou moins sablonneuses) dont l'épaisseur peut atteindre une vingtaine de mètres. Il s'agit de l'horizon supérieur de la plaine qui contient les puits testés présentant une très basse transmissivité. En résumé les SE étalons qui confirment les valeurs des résistivités observées dans les sondages électriques (fig. 18) permettent d'établir une partie de l'échelle des résistivités suivantes :

	FORMATIONS	RÉSISTIVITÉS EN OHM-M.
D'après les SE étalons	Recouvrement marno-sableux	8-20
	Aquifère (sable - grès - galets)	35-60
D'après l'ensemble des S.E. (Paragraphe C3.2)	Substratum (MEDJANIEN + EOCENE) argileux EOCENE (marnes) argileux	6
	Substratum Medjanien (alternances de grès et argiles) relativement régulières	17-20
	Grès Medjanien	20-30

C3.2 - Les sondages électriques en général -

On peut considérer comme paramétriques les points de mesure :

- SE 23 (fig. 19) situé près des affleurements de marnes éocènes et où on retrouve pour le substratum une résistivité de 5 ohm-m très voisine de celle observée sur les SE étalons.
- Les SE 3 et 41 (fig. 19) situés près des affleurements oligocènes et qui montrent la présence d'un épais marqueur (plus de 500 m de puissance) dont la résistivité est ici respectivement égale à 17 et 22 ohm-m. Il s'agit probablement du Medjanien (minces intercalations de grès dans les marnes).

La plupart des SE, comme le SE 26 (fig. 19) se rattachent au groupe 2 des SE étalons (fig. 17) où la présence de l'aquifère profond résistant est bien visible.

Cependant quelques SE présentent des formes plus compliquées (par exemple SE 24 et 28 - fig. 20) où distingue la présence de 2 marqueurs résistants séparés par une intercalation conductrice.

On remarque que ces SE sont situés le plus souvent près des affleurements oligocènes et il est probable que seul le marqueur résistant le plus proche de la surface est dû aux alluvions ; le résistant plus profond dont la résistivité est de l'ordre de 20 - 25 ohm-m représente vraisemblablement un épisode plus gréseux du Medjanien.

Il apparaît donc parfois un marqueur résistant supplémentaire dont la résistivité peut être voisine de celle de l'aquifère recherché ; seules les conditions de gisement (situation et profondeur) permettront de tenter de les différencier. Remarquons toutefois que les grès oligocènes peuvent constituer un aquifère non négligeable.

C3.3 - Carte des résistivités apparentes en longueur de ligne A1 - A2 n° (PL.II)

Elle est destinée à mettre en évidence l'extension de l'aquifère, dont la présence doit se traduire pour cette longueur de ligne par les valeurs les plus élevées de la résistivité apparente.

On voit que les plages les plus résistantes débordent parfois sur les affleurements oligocènes ; ce phénomène est dû à la présence de bancs de grès épais ou d'argiles avec intercalations de grès, qui, comme nous l'avons vu, présentent des résistivités voisines de celle de l'aquifère détritique profond.

Les plages résistantes correspondent donc à la présence des formations aquifères en général : grès oligocènes ou formations détritiques que l'on peut considérer comme localisées entre les 2 courbes principales de valeur 10 ohm.m.

On voit que les formations aquifères sont situées dans la partie Ouest de l'étude et la large plage confinatrice Est représente l'extension des marnes éocènes qui affleurent également sur la rive droite de la vallée et qui semblent se développer vers l'Est au Nord de la zone.

C3.4 - Carte du toit du substratum conducteur -

Sauf les cas peu fréquents où les SI montrent la présence d'un substratum résistant (voir 3E 41 et 3 - fig. 19) les formations détritiques grossières et les grès oligocènes reposent sur un épais surcapteur conducteur dont la résistivité est toujours inférieure à 10 ohm.m (marnes éocènes ou complexes des argiles médiévales recouvrant les marnes éocènes).

Dans un premier temps nous avons établi la carte du toit du substratum conducteur représentée sur la planche III. Ce document permet aussi, compte tenu des cotés de surface de prévoir la longueur minimale de forage destiné à traverser la totalité des aquifères potentiels (aquifère détritique ou aquifère détritique + grès oligocènes sous-jacents).

D'une manière générale on voit se dessiner l'allure d'une vallée fossile liée aux cours actuels des cours d'E. KENNEDY et E. AMEL et les fortes dépressions observées dans la partie Ouest de la vallée sont aussi provoquées par la présence de bancs de grès.

Des valeurs anormalement basses apparaissent localement dans l'axe de la vallée fossile et sur son flanc EST ; elles peuvent correspondre également ici soit à la présence de l'aquifère détritique et de bancs de grès en superposition directe ou séparés par des argiles, soit uniquement à un banc de grès épais.

Nous avons considéré jusqu'ici les grès comme un aquifère potentiel, mais compte tenu du fait que le forage 3536 bis/1 situé près de l'oligocène a été abandonné par la SO.N.R.D.E à cause de son eau trop ferrugineuse il semble prudent d'éviter dans la mesure du possible la création de forages dans les grès du flysch ou à proximité et de rechercher uniquement l'aquifère détritique.

C3.3 - Carte des résistivités apparentes en longueur de 11 m à 20 m (Pl. II)

Elle est destinée à mettre en évidence l'extension de l'aquifère, dont la présence doit se traduire pour cette longueur de ligne par les valeurs les plus élevées de la résistivité apparente.

En fait on voit que les plages les plus résistantes débordent parfois sur les affleurements oligocènes ; ce phénomène est dû à la présence de bancs de grès épais ou d'argiles avec intercalations de grès, qui, comme nous l'avons vu, présentent des résistivités voisines de celle de l'aquifère détritique profond.

Les plages résistantes correspondent donc à la présence des formations aquifères en général : grès oligocènes ou formations détritiques que l'on peut considérer comme localisées entre les 2 courtes principales de valeur 10 ohm-m.

On voit que les formations aquifères sont situées dans la partie Ouest de l'étude et la large plage conductrice Est représente l'extension des marne éocènes qui affleurent seulement sur la rive droite de la vallée et qui semblent se développer vers l'Ouest au Nord de la zone.

C3.4 - Carte du toit du substratum conducteur -

Sauf les cas peu fréquents où les SE montrent la présence d'un substratum résistant (voir SR 41 et 3 - fig. 19) les formations détritiques grossières et les grès oligocènes reposent sur un épais marqueur conducteur dont la résistivité est toujours inférieure à 10 ohm-m (marne éocène ou complexe des argiles miéjanianennes recouvrant les marne éocènes).

Dans un premier temps nous avons établi la carte du toit du substratum conducteur représentée sur la planche III. Ce document permet donc, compte tenu des cotes de surface de prévoir la longueur minimum de forages destinés à traverser la totalité des aquifères potentiels (aquifère détritique ou aquifère détritique + grès oligocènes sous-jacents).

D'une manière générale on voit se dessiner l'allure d'une vallée fossile liée aux cours actuels des oueds EL KEBIR et EL AMOR et les fortes dépressions observées dans la partie Ouest de la vallée zone sont provoquées par la présence de bancs de grès.

Des valeurs anormalement basses apparaissent localement dans l'axe de la vallée fossile et sur son flanc EST ; elles peuvent correspondre également ici soit à la présence de l'aquifère détritique et de bancs de grès en superposition directe ou séparés par des argiles, soit uniquement à un banc de grès épais.

Nous avons considéré jusqu'ici les grès comme un aquifère potentiel, mais compte tenu du fait que le forage 3518 bis/1 situé près de l'oligocène a été abandonné par la SO.N.E.D.E à cause de son eau trop ferrugineuse il semble prudent d'éviter dans la mesure du possible la création de forages dans les grès du flysch ou à proximité et de rechercher uniquement l'aquifère détritique.

Aussi nous avons établi une série de coupes électriques afin de tester de séparer les alluvions et les grès d'après leurs modes de gisement.

C3.5 - Coupes électriques (Pl. IV)

La vallée fossile qui fait ressortir la carte du substratum conducteur, apparaît ici très nettement et on voit que son axe est situé le plus souvent entre les cours EL AMOR et EL KEMIR. Il est donc probable que son remplissage est dû aux apports de ces cours et correspond à l'aquifère recherché.

Pour avons considéré que les fortes irrégularités des profils en travers de la vallée étaient dues à un marqueur résistant au roche que les alluvions et que nous avons logiquement attribué à des bancs de grès du flysch.

Les grès sont souvent nettement séparés des alluvions par une intercalation conductrice (argile) mais on doit admettre parfois la superposition directe des deux horizons (SE 20 - coupe 5 par exemple, où le sur du marqueur résistant est situé à 100 m de la surface). Dans ce cas nous avons arbitrairement dessiné la limite entre alluvion et grès pour obtenir ce faisant une allure naturelle du fond de la vallée.

Près des affleurements du flysch, sur la bordure Ouest de la plaine, les marqueurs résistants parfois très épais ont été entièrement attribués aux grès oligocènes qui peuvent être parfois recouverts par des éboulis de résistivité variable.

Les pentages des bancs de grès du flysch ont été dessinée en prenant en considération le fait que la plaine de TABAKA est établie sur un anticlinal étroit et leurs valeurs sont bien entendu arbitraires.

Les coupes montrent que l'on retrouve partout le substratum conducteur à 3 - 6 ohm-m qui correspondent probablement aux bancs socles (Priatonien). Les valeurs plus élevées (10-15 ohm-m) que l'on rencontre sur la bordure Ouest de la plaine ont été attribuées aux argiles du Medjanaïen.

On peut donc dire que l'assèche de la plaine de TABAKA est située sur les bancs socles.

Dans l'Axe de la vallée fossile l'aquifère déritique atteint rapidement vers l'aval à partir de la coupe N° 10 une épaisseur voisine de 50 m. Les valeurs de sa résistivité varient entre 20 et 60 ohm-m, plus généralement 35-50 ohm-m. Les valeurs les plus basses : 20 ohm-m (coupes 2 et 3 situées le plus en aval) correspondent probablement à un alluvionnement plus argileux et ce phénomène est aussi vraisemblablement responsable de la décroissance latérale des résistivités du centre de la vallée vers les flancs observée sur les coupes.

On remarquera l'épaisse couverture des alluvions dont la puissance peut atteindre vers l'aval une vingtaine de mètres et dont la résistivité est souvent inférieure à 5 ohm-m. Il s'agit donc d'une couverture essentiellement argileuse responsable de la présence des eaux stagnantes.

Mission PLAGE DE TABANCA
Date

S.E.

212 21

Forage

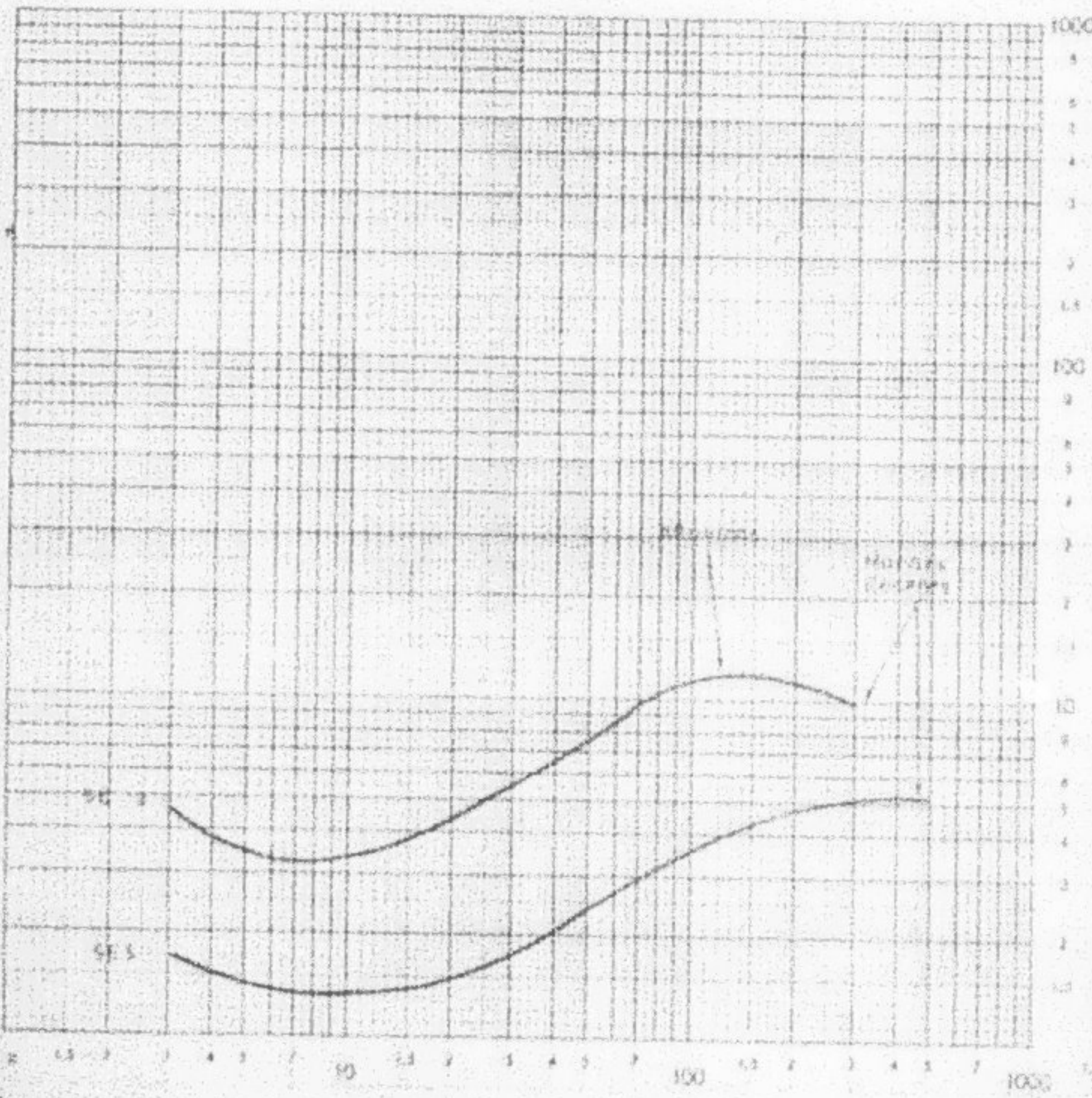
Interprétation:

SI C'EST LA VALLEE INFERIEURE
SI C'EST LA VALLEE SUPERIEURE

AISSEAU DE A à

COTE DE SURFACE

Coupe des terrains



03.6 - Carte du sur des alluvions (PL.V)

Elle a été établie en tenant compte de la différenciation alluvions-grès oligotrophes obtenue d'après les coupes électriques.

L'axe de la vallée fossile principale lié au cours de l'Oued EL KEBIR apparaît beaucoup plus nettement que sur la carte du tout du substratum conducteur ; elle est déportée vers la bordure ouest de la plaine et on distingue 3 vallées affluentes sur sa rive droite.

Dans la partie Nord de l'étude le cours de la vallée principale est nettement dévié vers l'Ouest, tout comme le cours actuel de l'Oued EL KEBIR par la présence d'un haut fond du substratum dolino aux SE 5 - 6 et 13. (Voir figure 21 la comparaison entre le SE 6 situé dans l'axe de la vallée et le SE 13 : situé sur le haut fond).

A l'Est du haut fond (SE 7 et forage 6781/1) on retrouve une épaisseur notable d'alluvions, mais on aborde ici le domaine d'emprise du massif dunaire de NEZZA où on peut avoir la succession suivante : sables dunaires-alluvions.

Notons qu'au forage 6781/1, où d'après la coupe lithologique l'aquifère se poursuit jusqu'à 60 m de profondeur le SE étalon indique une épaisseur maigre, de l'ordre de 40 m. La très bonne qualité de l'eau du forage permet cependant l'exclure la présence d'eau salée à la base de l'aquifère. Les indications de la coupe lithologique ont été prises en compte pour le calcul de la cote du sur des alluvions.

C4 - Choix des emplacements de forages -

Il sera guidé par les indications de la carte du sur des alluvions et celles des coupes électriques.

Les meilleures emplacements sont situés bien entendu dans l'axe de la vallée fossile principale où l'épaisseur des alluvions est maximale ; les coupes électriques permettront d'une part de prévoir la longueur des forages et d'autre part de se placer sur les points où la résistivité de l'aquifère est le plus élevée ce qui est l'indice d'une proportion d'argile moindre ou de la présence d'eau de meilleure qualité.

Le tableau suivant, réalisé à partir du profil de forages réalisé en travers de la moyenne vallée illustre les recommandations ci-dessus en mettant en évidence les bons résultats obtenus au point de vue définitif spécifique par les forages les plus rapprochés de l'axe de la vallée fossile.

D3577/1 D3591/1 D607/1 D3517/1 D3516/1 D3513/1 D3514/1 D3515/1 D3512/1										RECENSE	
LEADER		TESTER		TESTÉ		TESTÉ		TESTÉ		RECENSE	
Q/S	1/s/m	Bon	Non	2,73	1,22	0,5	0,5	0,03	Non	Non	Q/S
		testé	testé						testé	testé	1/s/m

AXE DE LA VALLE FOSSEE

Mission Pointe du Tabac

S.E.

Date

Forage

Interpretation

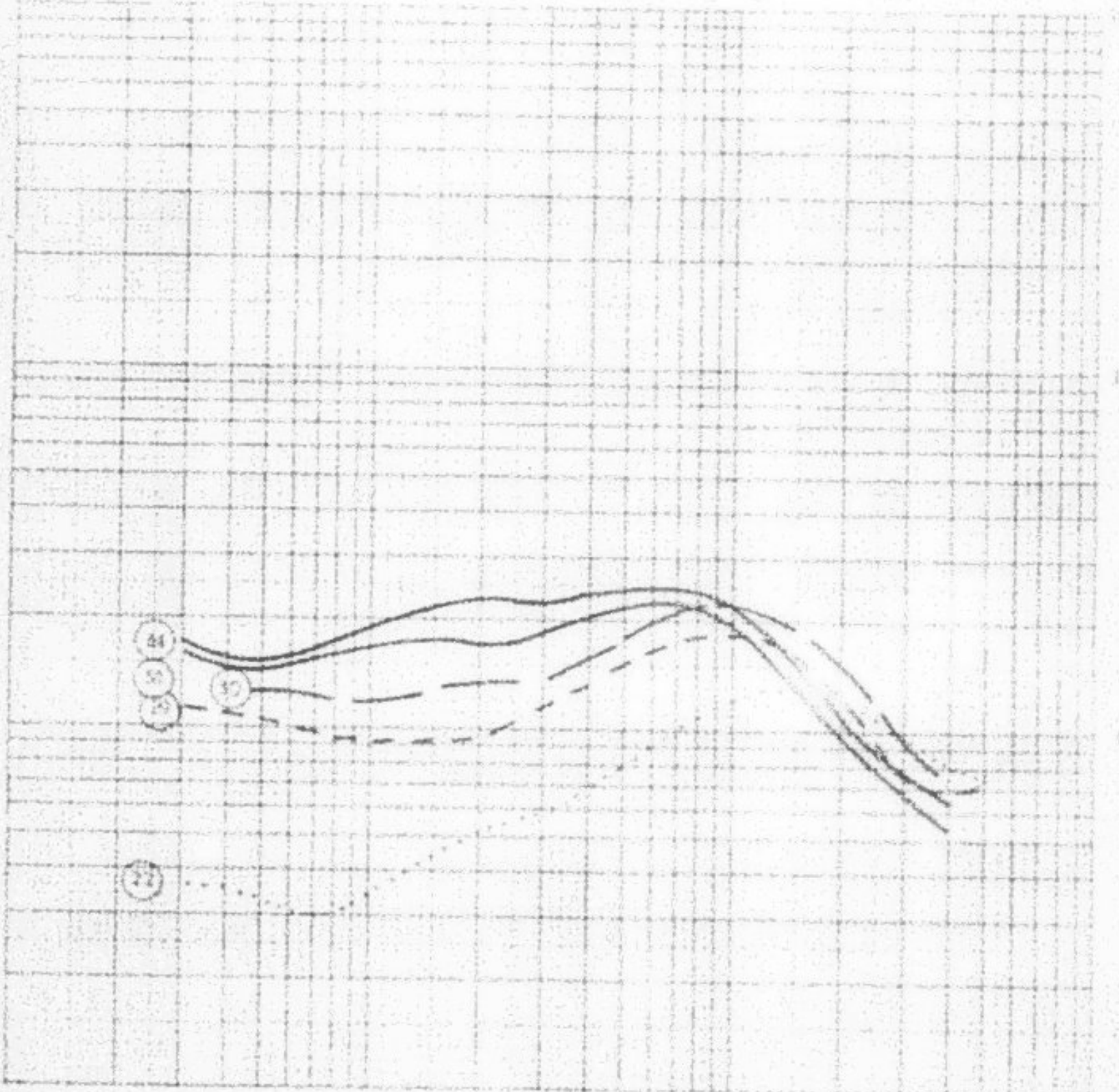
22.000' - 23.000'

24 25 26 27 28 29

20000 18000 16000

ÉTUDE SUR LA FORMATION DES VALLÉES DE FORAGE

Carte des failles



2 12 2 3 4 5 6 7 10 20 30 40 50 60 70 80 90 100 110 120 130 140 150 160 170 180 190 200 21000

N

Mission

Date

Interpretation

SE 170 71 2000

1960-61 - 1961-62

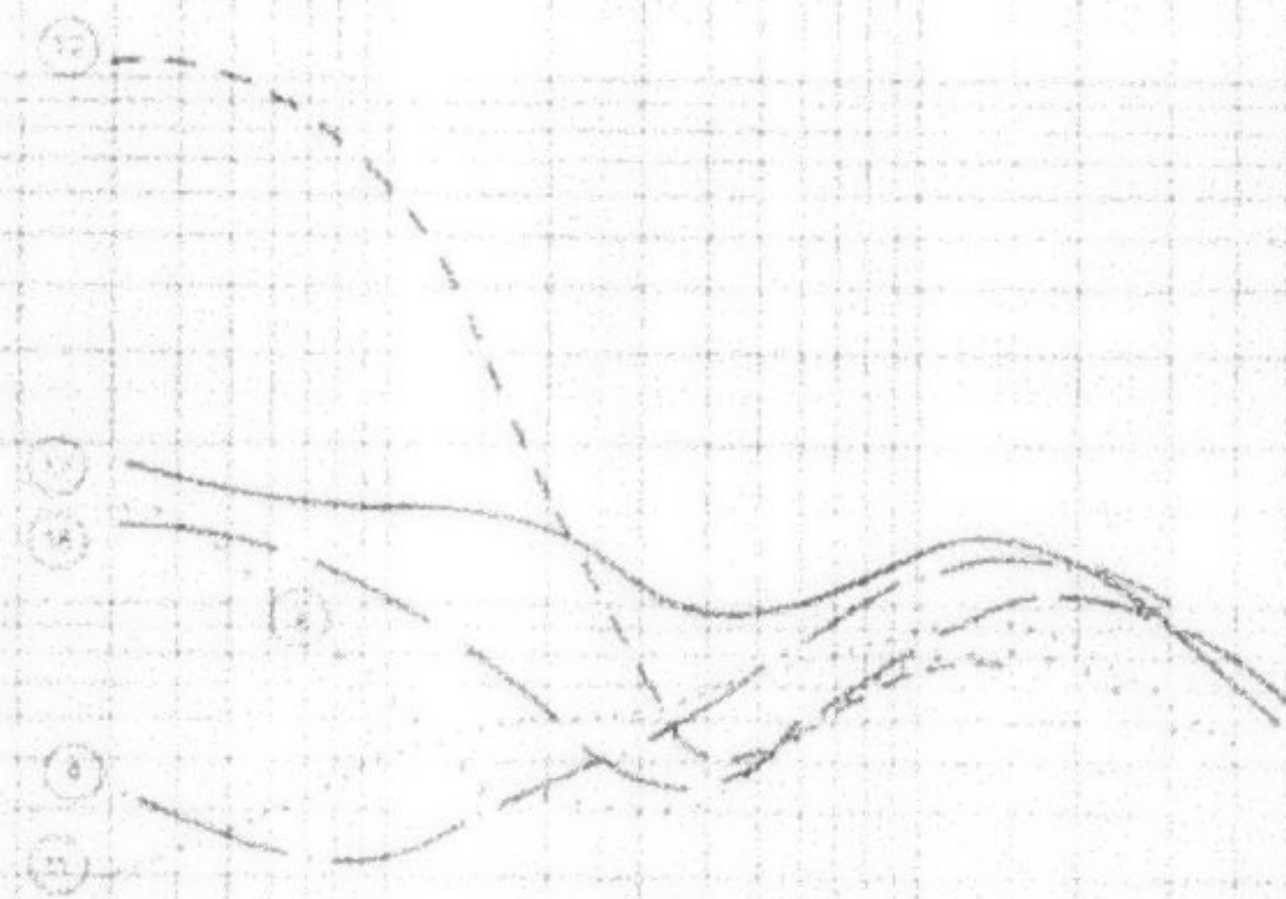
Lower Ser. Mammals

S.E.

Forage

Azumet 20.2

600 m above



On notera également le forage 6078/1, qui situé plus en aval près de l'axe de la vallée fossile, a un débit spécifique de 3,10 l/s/m.

Les emplacements les plus favorables seront donc situés près des SR 44, 36, 29, 30, 22, 17, 19, 11, 12, 8 et 4 (fig. 22 et 23).

Les coupes électriques montrent que les plus basses résistivités de l'aquifère (20-25 ohm-m) correspondent aux emplacements situés dans la basse vallée où on risque donc de rencontrer des alluvions plus argileuses où l'eau plus salée qu'en amont.

Si pour des impératifs économiques des forages étaient implantés en dehors de l'axe de la vallée il semble prudent d'éviter les emplacements situés trop près des affleurements du flysch ou correspondant à la superposition alluvions-grès (risque d'arrivée d'eau ferrugineuse - voir coupes électriques).

05 - CONCLUSION -

La prospection électrique dans la plaine de DEBARKA a permis de mettre en évidence l'existence d'une vallée fossile où les alluvions grossières, recouvertes parfois par plusieurs dizaines de mètres de recouvrement essentiellement argileux, ont une épaisseur dépassant souvent 50 mètres.

La vallée fossile est creusée dans un substratum argilo-carneux appartenant le plus souvent à l'Eocene mais qui peut notamment sur la rive gauche débuter dans le MEDJANIS (base du flysch oligocène argilo-gréseuse).

Les bancs de grès situés dans ce dernier ont une résistivité voisine de celle des alluvions (20 - 30 ohm-m) mais nous avons pu tenir leur différenciation sur les coupes électriques en nous basant sur la forme des structures géologiques et en donnant une allure naturelle à la morphologie de la vallée fossile.

D'une manière générale la résistivité des alluvions aquifères diminue de l'amont vers l'aval où on risque donc de rencontrer des dépôts plus argileux ou contenant de l'eau plus salée.

Les emplacements les plus favorables pour la création de nouveaux forages sont situés dans l'axe de la vallée fossile (épaisseur maximale des alluvions aquifères) et par ailleurs il semble prudent d'éviter les emplacements situés près du flysch ce dernier pouvant véhiculer des eaux ferrugineuses.

.../...

D - RÉSSOURCES DYNAMIQUES ET RÉSERVES -

Les forages sont situés de telle façon qu'il est délicat de chiffrer l'écoulement souterrain. Il semble toutefois que celui-ci soit relativement peu important vu la faiblesse des gradients observés. A l'extrême, on peut considérer l'aquifère étudié comme étant piégé dans un véritable réservoir souterrain bien protégé, semble-t-il, en particulier de la mer.

Dans l'état actuel de la plaine de TABARKA, laquelle est seulement drainée par les Oueds EL KEBIR et EL AMOR n'ayant pratiquement pas de pente, un coefficient d'infiltration de 10 % semble une valeur minimum. En effet, la plaine est régulièrement inondée chaque année et l'horizon imperméable protégeant l'aquifère en particulier en aval n'empêche en rien son alimentation (cf. essai de pompage sur le forage 6078/1). La superficie de cette plaine étant de 25 km², la pluviométrie toujours supérieure à 1000 mm, l'alimentation de l'aquifère peut-être chiffrée donc au minimum à 2,5 millions de mètres cubes par an, sans compter les apports certes faibles mais non négligeables des bancs de grès oligocènes.

Le réservoir souterrain, d'après la campagne de prospection électrique, est estimé à 276 millions de mètres cubes. En considérant l'aquifère étudié comme semi-captif et en supposant une porosité de l'ordre de 10 %, les réserves permanentes sont de 27,6 millions de mètres cubes.

L'accès minier de la plaine de TABARKA sera en partie résolu lors de l'exploitation d'une partie de ces réserves. Pour favoriser celle-ci, il n'est pas impensable d'exploiter le cinquième des réserves totales, soit 5,5 millions de mètres cubes par an. Les crues annuelles rechargeraient alors l'aquifère ainsi exploité.

E - EXPLOITATION -

Les forages existants peuvent être exploités comme suit :

- 3517 bis/1 - pompage 6 mois par an au moins et 12 heures sur 24 à un débit de 10^{1/2} :
 - nécessité de changer l'équipement existant qui est aujourd'hui hors d'usage,
 - immersion proposée : 30 mètres.
- 3518 bis/1 - pompage 6 mois par an au moins et 12 heures sur 24 à un débit de 10^{1/2}.
 - nécessité de vérifier l'équipement SO.N.E.D.E.
 - Immersion proposée : 25 mètres.
- 6078/1 - pompage 6 mois par an et 12 heures sur 24 à un débit de 20 l/s.
 - Equipement en état de marche.
- 6079/1 - pompage 6 mois par an et 12 heures sur 24 à un débit de 15 l/s.
 - nécessité de changer l'équipement existant qui est aujourd'hui hors d'usage,
 - Immersion proposée : 20 mètres.
- 6751/1 - pompage continu (SOMME) 18 heures sur 24 à un débit légèrement supérieur à 5 l/s.
 - Equipement en état de marche.

Ceci ne préleverait sur les ressources que 150.000 mètres cubes par an. Une telle exploitation aurait à r��ssaire, mais il est toutefois urgent de faire en sorte qu'un tel programme se dessine au plus tôt faute de quoi les débits spécifiques des forages existants maintenant depuis 12 ans diminueront dans des proportions inacceptables.

On ne rappellera jamais assez qu'un forage se déclaire beaucoup plus rapidement en étant abandonné qu'en étant exploité intensivement.

P - COMPLÉMENT -

Le seul aquifère intéressant dans la plaine de TABARCA est situé entre 30 et 50 mètres de profondeur. Il peut-être exploité intensivement dans la mesure où celui-ci est relativement bien protégé de la mer.

Nous conseillons toutefois de compléter la prospection électrique déjà effectuée par plusieurs sondages électriques de part et d'autre de la route TABARCA-MATIKA. Suite à ce complément d'étude, il pourra être réalisé un pôle métro de surveillance dans l'axe de la vallée fossile afin de contrôler éventuellement le niveau salé.

D'autres forages d'exploitation sont envisageables pour la mise en valeur de cette région. Ils ne devront toutefois être réalisés que lorsque les forages existants seront exploités au moins six mois par an et en fonction des impératifs économiques. Dans l'état actuel, deux forages sont exploités, l'un par la SO.N.E.D.E (6781/1), l'autre par l'ONRIM (6078/1). Les installations des autres forages existants sont du fait de leur état hors d'usage.

MAURICE SALIGE

MARCUS ANDRIEU

BIBLIOGRAPHIE

- Etude des eaux d'un petit bassin versant argileux-gréseux en Kroumirie -
(Tunisie septentrionale) -
S.C.E.T - TUNIS - 1962
- Dossier pluviométrique - Alg. Draham
S.I.H.H - TUNIS - 1966
- U.R.D de TAZAKKA, MESSAK, Djerid, ABEDD
Etude des eaux souterraines - Note préliminaire
S.C.E.T - TUNIS - 1965
- U.R.D du TAZAKKA, MESSAK, Djerid, ABEDD
Bases de barrage - Aperçu géologique
S.C.E.T - TUNIS - 1966
- Région de TAZAKKA - Projet de développement
Rapport sur les possibilités d'utilisation des eaux souterraines
S.I.H.H - TUNIS - 1967

REPUBLIQUE TUNISIENNE
MINISTERE DE L'AGRICULTURE
Direction des Ressources
en Eau et en Sol
Division des Ressources en Eau
Service Hydrogéologique
Section Géophysique

2ème Partie

ETUDE HYDROGEOLOGIQUE ET PROSPECTION ELECTRIQUE

DE LA FIADE DE TABARKA

(COMPLÉMENT DE PROSPECTION ELECTRIQUE)

—101—

Juillet 1976

ANDRIEU MARCEL

S O N M A I R E

2^eme Partie

A - INTRODUCTION

B - RESULTATS OBTENUS

B1 - Les sondages électriques

B2 - Coupes électriques

B3 - Carte des résultats

C - CHOIX DES EMPLACEMENTS DE FORAGE

D - CONCLUSION

— 85 —

L I S T E D E S P L A N C H E S E T F I G U R E S

Pl. 6 - Coupes électriques

Pl. 7 - Carte des résultats (1/25.000)

Fig. 24 - Plan de position (1/25.000)

Fig. 25 - SE 117, 118, 119, 120 et 123

Fig. 26 - SE 112 (nouvel emplacement de forage)

ETUDE HYDROGEOLOGIQUE ET PROSPECTION
ELECTRIQUE DE LA PLAINE DE TABARKA
COMPLEMENT DE PROSPECTION ELECTRIQUE

PLAN DE POSITION

ECHELLE 1:25 000

- ① Sondage électrique et son numéro
(Etude générale 1974)
- ② Sondage électrique et son numéro
(Complément 1978)
- ③ Trace de coupe électrique
et son numéro

Mission TABARKA (enquête)

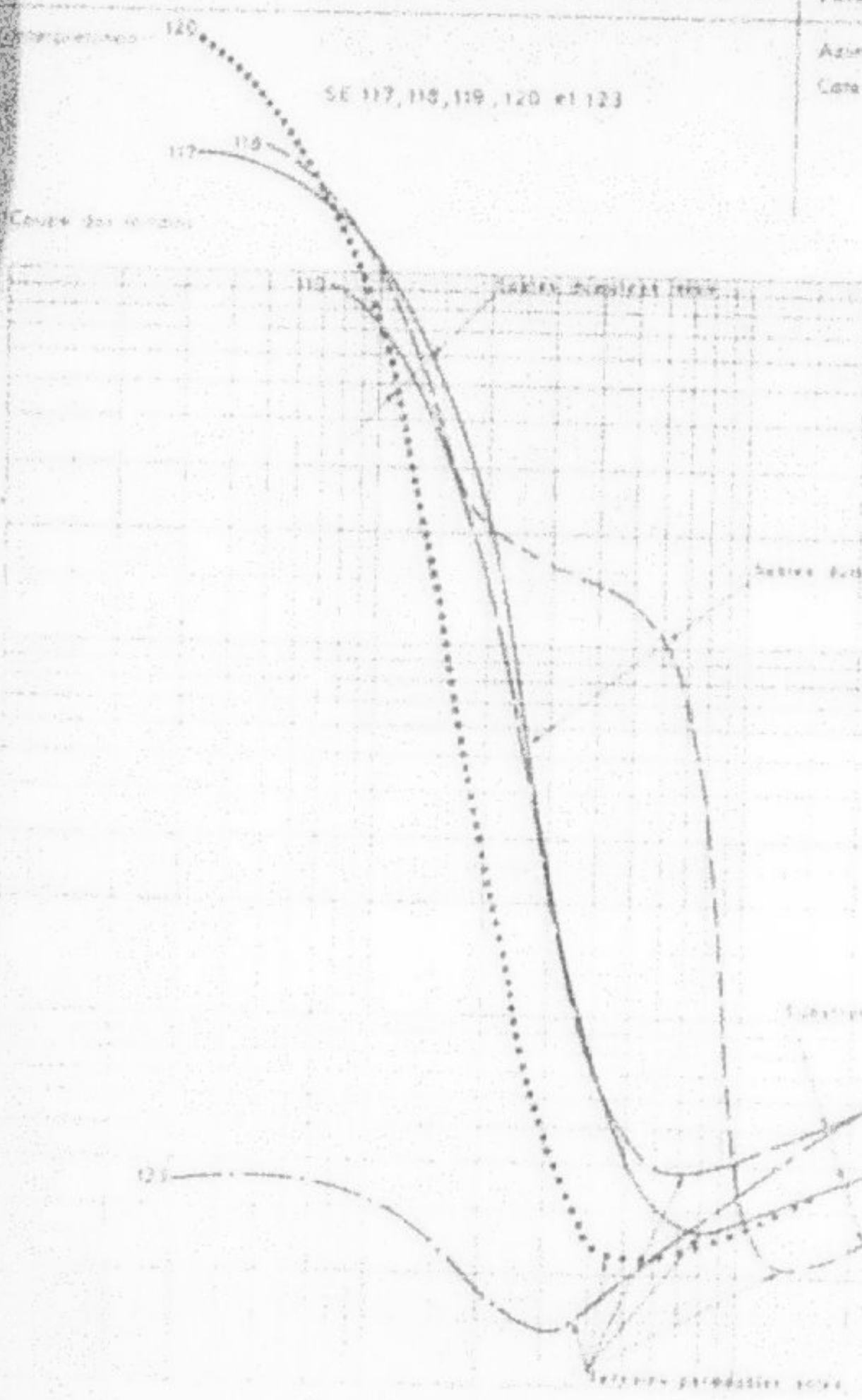
Date

S.E.

Forage

Azur de AB

Côte de culture



A - INTRODUCTION -

La prospection électrique de l'ensemble de la plaine de TABARKA avait permis d'étudier la géométrie des alluvions récentes et de constater que la résistivité de ces dernières décroissait de l'amont vers l'aval. Ce phénomène pouvait être dû à des variations de faciès (proportion d'argile plus importante vers l'aval) ou à la présence d'eau plus salée.

D'autre part ces alluvions sont masquées par un recouvrement conducteur dont l'épaisseur peut atteindre une trentaine de mètres dans la basse vallée et qui avait été interprété, de par sa résistivité, comme un couverture argileuse responsable de la présence de marécages.

La prospection électrique avait été arrêtée à 1 kilomètre environ de la côte où vient se terminer le massif dunaire de la plaine de NEFZA et on ne savait donc rien sur la position du banc salé marin qui pouvait avoir une extension importante vers l'intérieur des terres du fait de la faible épaisseur du réservoir très perméable qui forment les sables dunaires.

Aussi, suite aux recommandations de A. TALBOT, un complément de prospection électrique a été effectué dans la région côtière afin de tenter de préciser la position du banc salé et d'y étudier le comportement des alluvions grasseuses et de leur couverture.

Les travaux sur le terrain, effectués par H. GANOUCHI, Adjoint Technique, ont duré du 23 au 30 Juin 1976. Ils ont comporté la réalisation de 24 sondages électriques (SE dans le texte) suivant la méthode BCKLUMBERGER en longueur de ligne AB atteignant 1000 m. (Voir plan de position fig.25 - Points numérotés de 100 à 123 inclus).

Les points de mesure ont été concentrés dans la zone autour de l'embouchure de l'Ouest el KEBIR où, au voisinage de la côte, le massif dunaire est le plus réduit en extension et en altitude.

B - RÉSULTATS OBTENUS -

B1 - Les sondages électriques -

Jusqu'à la route TABARKA - MATEUR on retrouve les types de SE de l'étude générale : couverture conductrice, alluvions résistantes reposant soit sur le flysch, soit plus généralement sur les marnes de l'océane.

Entre la route et la mer, apparaissent les sables dunaires résistants qui reposent sur un horizon très conducteur dont la résistivité est comprise entre 1 et 2 ohm-m, parfois inférieure à 1 ohm-m. (Fig.25). Il s'agit incontestablement d'un horizon perméable à eau très salée (sables dunaires - alluvions ou grès du flysch). On retrouve en profondeur un substratum peu résistant (5 - 10 ohm-m) qui correspond donc à une formation pratiquement imperméable représentée soit par le flysch argilo-gréseux, soit par les marnes de l'océane.

32 - Coupes électriques - Pl. 6 -

Les coupes N° 1 à 5, de direction Ouest-Est montrent que les alluvions résistantes dont la résistivité minimum peut être évaluée à 15 ohm-m disparaissent brusquement à partir de la coupe 4 vers le Nord pour faire place à un marqueur d'épaisseur équivalente mais dont la résistivité est inférieure à 2 ohm-m. Il s'agit donc d'un phénomène de salure brutal des alluvions grossières qui viennent se confondre électriquement avec le recouvrement conducteur.

On remarquera d'après les coupes électriques de l'étude générale que la résistivité de ce dernier subit un abaissement considérable à partir de la coupe 5 vers le Nord (moins de 3 ohm-m) en même temps que son épaisseur augmente. Nous sommes ici dans la basse plaine où les altitudes sont comprises en 2 et 5 m ; la nappe est sub-affleurante et il est donc très probable que les basses résistivités du recouvrement soient dues en majeure partie à une salure superficielle du fait l'évaporation et intéressent une partie de l'aquifère.

Sur les coupes 4 et 5 la tot-lité des alluvions grossières est très élevée (résistivité allant de 0,7 à 2 ohm-m) et sur la coupe 5 (SE 117, 118, 119, 120) il est possible que la base des sables dunaire renferme une nappe d'eau très douce (marqueur à 100 - 200 ohm-m) flottant sur la nappe salée. Ce serait la terminaison Ouest de l'importante nappe du massif dunaire de la plaine de NEPZI étudiée par le projet GNU - INRS. Sur la coupe 5 on voit l'épaisseur de la nappe douce diminuer progressivement d'Est en Ouest en concordance avec l'élevation des cotes de surface. (Elle est nulle au SE 123 où l'altitude est très proche du niveau 0).

Les coupes 6 à 9, de direction Nord-Sud mettent bien en évidence la disparition brusque des alluvions résistantes vers le Nord ainsi que le raccordement entre le recouvrement très conducteur et la nappe salée profonde due à l'invasion marine.

33 - Carte des résultats

Sur la carte de la planche 7 nous avons pu tracer à partir des coupes électriques :

1°) La limite au Nord de laquelle le recouvrement très conducteur correspond en partie à l'aquifère salé du fait des phénomènes d'évaporation sur la nappe phréatique sub-affleurante.

2°) La limite au Nord de laquelle l'aquifère est salé en totalité par l'influence des eaux marines à laquelle vient s'ajouter la salure de surface.

Nous y avons également reporté l'axe de la vallée fossile dont le tracé de la partie Nord a été modifié d'après les résultats de la nouvelle prospection, ainsi que l'extension du haut fond社科ne dont on a pu mieux préciser la limite Ouest.

On voit qu'à proximité de la côte l'extension latérale des alluvions aquifères est réduite à 1 kilomètre à peine dans un goulet ouvert entre la flysch à l'Ouest et les sables d'érosion sub-affleurantes à l'Est. Sur le haut fond surtout la puissance des alluvions est très réduite (une dizaine de mètres) et elles sont très salées.

On remarquera que c'est à partir de l'entrée du goulet qui permet l'invasion marine profonde et que les alluvions sont salées en totalité. On aurait pu s'attendre au phénomène inverse, c'est-à-dire au recul du front salé du fait que la totalité de la nappe douce est constrainte de s'écouler dans une partie renfermée. En fait nous sommes ici dans la zone de l'embouchure de l'Oued EL KEBIR dont le cours actuel est très voisin de l'axe de la vallée fossile et la renontie des eaux marines dans le lit de l'Oued dont l'altitude est très proche du niveau 0 doit être tenue pour responsable de l'accroissement brusque de la salinité.

On a donc dans la partie est de l'étude un triple phénomène de salure :
- l'évaporation superficielle dans la nappe phréatique sub-affleurante.
- la renontie d'eau de mer dans le cours de l'oued,
- le niveau salé marin.

On notera également que les alluvions peu épaisses sur le haut fond secoué peuvent être normalement développées en épaisseur au Nord de ce dernier dans la région cotière où elles sont surmontées par les formations dunaires, et totalement envahies par l'eau salée.

Appelons à ce sujet que 8 forages exécutés près de la côte dans le massif dunaire de NEFZA pour l'étude du collecteur pilote (projet ONU) ont également rencontré sous les sables dunaires des niveaux à facies alluviaux (sables, grès) que l'on a pu attribuer à des dépôts d'oueds ou à des formations fluvio-lagunaires et gisent actuellement nettement au-dessous du niveau de la mer.

L'étude NEFZA a également montré qu'à l'embouchure de l'Oued KOUARA situé à l'extrême Est du massif dunaire on constate aussi un phénomène d'invasion salée par avancée en surface des eaux marines comme à l'embouchure de l'Oued EL KEBIR.

Dans les deux cas, la nappe phréatique, dont le taux correspond avec celui de l'écoulement des oueds n'a pratiquement aucune charge, ce qui explique dans ces zones la présence d'un mélange à proportions sensiblement égales d'eau de mer et d'eau douce.

C - CHOIX DESEMPLACEMENTS DE POSAGE -

Le rapport concernant l'étude générale préconisait l'implantation des forages "dans l'axe de la vallée fossile où l'épaisseur des alluvions est maximale et sur les points où la résistivité de l'équifère est la plus élevée", c'est-à-dire sur les n° 44, 36, 29, 30, 22, 17, 18, 11, 12, 8 et 4 (voir planche 7).

Mission TABANKA (cognacais)

Date

TRANSPONDER

S.E.

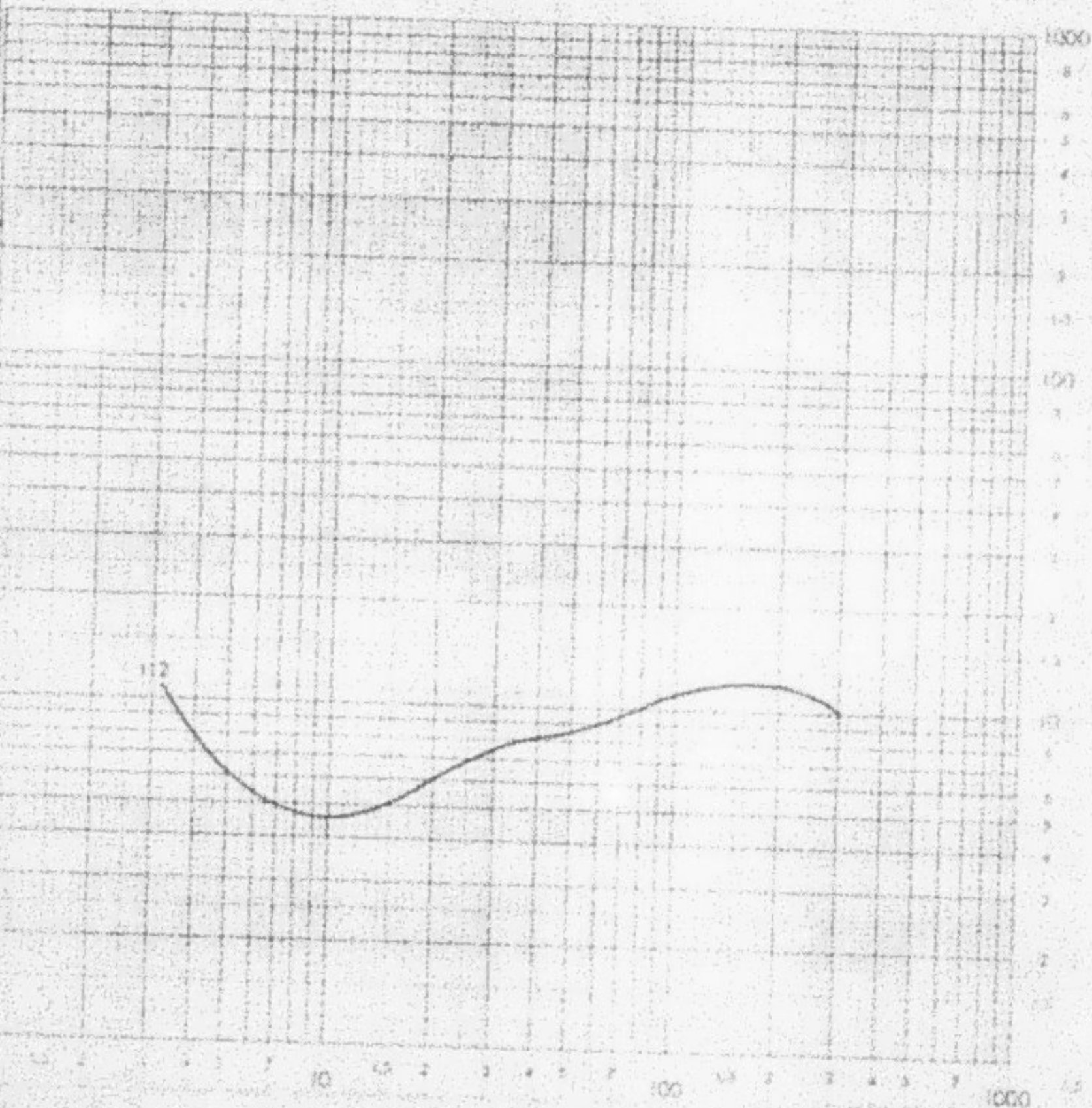
Forage

Axe des A.S.

Côte de surface

SE 112

Coupe des forages



Mission TABANKA (cognacais)

Date

TRANSPONDER

S.E.

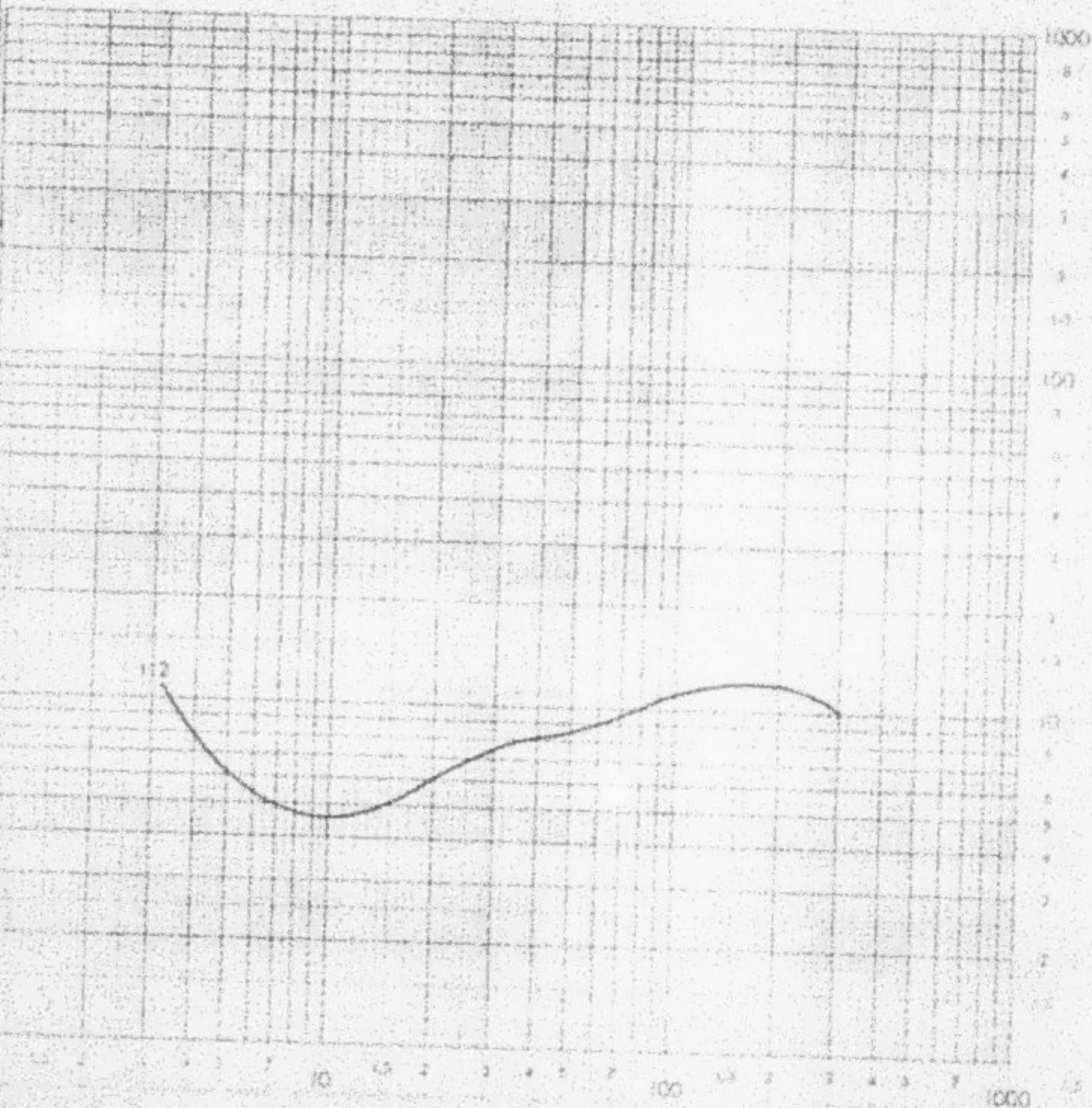
Forage

Axe des A.S.

Côte de surface

SE 112

Coupe des forages



On voit qu'aucun des emplacements proposés n'est situé dans la zone où l'aquifère est totalement salé, mais on peut par précaution éliminer celui correspondant au SR 4 situé à 250 m à peine du front de contamination totale et où un pompage intensif entraînerait la remise des eaux salées à plus ou moins longue distance. On peut cependant le remplacer par le SR 5 12 situé plus en retrait (fig.26).

Les SR 8, 11, 12, 17 et 18 sont situés dans la partie où on peut envisager la présence d'eau salée superficielle. Ces emplacements peuvent être maintenus en regard à la puissance du support de la nappe douce et en considérant que le rocher-mat conducteur peut être constitué en partie par des argiles.

Dans cette zone, le rabattement de la nappe phréatique (drainage ou pompage) aurait pour conséquence une diminution progressive de sa salure.

Dans la zone ayant aucun changement en ce qui concerne les SR 22, 25, 30, 36 et 46.

D - COUVERTURE -

Le complément de prospection électrique dans la partie côtière de la plaine de TABASKI a permis de tracer la limite de l'invasion d'eau salée affectant la totalité des alluvions et la moindre partie des sables dunaires.

Dans la zone de l'embouchure de l'Oued EL KEBIR où l'extension latérale des alluvions paracôtiers est réduite à moins de un kilomètre entre le massif du flysch oligocène à l'Ouest et une renontée du substratum karstique sableux à l'Est on constate une avancée du front salé vers l'intérieur des terres.

Ce phénomène est dû à la renontée dans le lit de l'oued des eaux marines, dont l'action vient s'ajouter à celle de l'invasion salée profonde.

Dans la basse plaine le phénomène d'évaporation sur la nappe phréatique sub-affleurante provoque une salinité des niveaux superficiels qui va s'accroissant à mesure qu'on se déplace vers l'ouest.

On a pu ainsi délimiter trois zones :

- 1 - la zone côtière où la totalité des alluvions est salée.
- 2 - la basse plaine où on peut envisager la présence de la nappe phréatique salée au-dessus de la nappe profonde douce.
- 3 - la zone ayant où l'aquifère profond présente les meilleures caractéristiques hydrauliques et renferme l'eau de meilleure qualité.

La plupart des emplacements de forage proposés dans le rapport concernant l'étude générale ont pu être maintenus. Dans la basse plaine le rabattement de la nappe phréatique entraînerait une diminution de sa salure.

Dans la zone côtière on remarque la terminaison vers l'Ouest de la nappe douce dunaire dont la puissance décroît avec l'altitude du massif sablo-sileux, et la présence possible des alluvions actuellement salées au-dessous du niveau actuel de la mer.

CONCLUSION GÉNÉRALE

-Pp (1)

Les ressources en eau de la plaine de Tabarka sont localisées dans un aquifère alluvionnaire de semi-profoundeur et de puissance moyenne comprise entre 20 et 50 mètres.-

Le mur de cette aquifère est constitué soit par les marne de l'Eocene, soit par le flysch griso-argileux de l'oligocène.-

L'horizon à dominante argileuse qui constitue son toit est le siège d'une nappe phréatique de qualité très médiocre.-

Cet aquifère semi-profond, qui capte la totalité des forages effectués dans la plaine, peut être considéré comme très peu-exploitable, et même presque complètement inexploitable.-

En effet, sur les trois forages exploités actuellement, deux sont situés soit tout en bordure de la plaine (6781/1), soit en dehors de la plaine (7145/1). En fait, le forage 6078/1 est actuellement le seul forage exploité dans la plaine de Tabarka proprement dite.-

Les forages 3517/1 et 6079/1, effectués respectivement en 1963 et en 1965, n'ont toujours pas été mis en exploitation. Il est évident que dans ces conditions leurs caractéristiques ne peuvent que se détériorer gravement suite à cette longue période d'inexploitation.-

Néanmoins, et dans la mesure où les forages déjà existants seront régulièrement exploités, un certain nombre d'emplacement de forages peuvent être proposés.-

Le choix de ces emplacements tient compte :

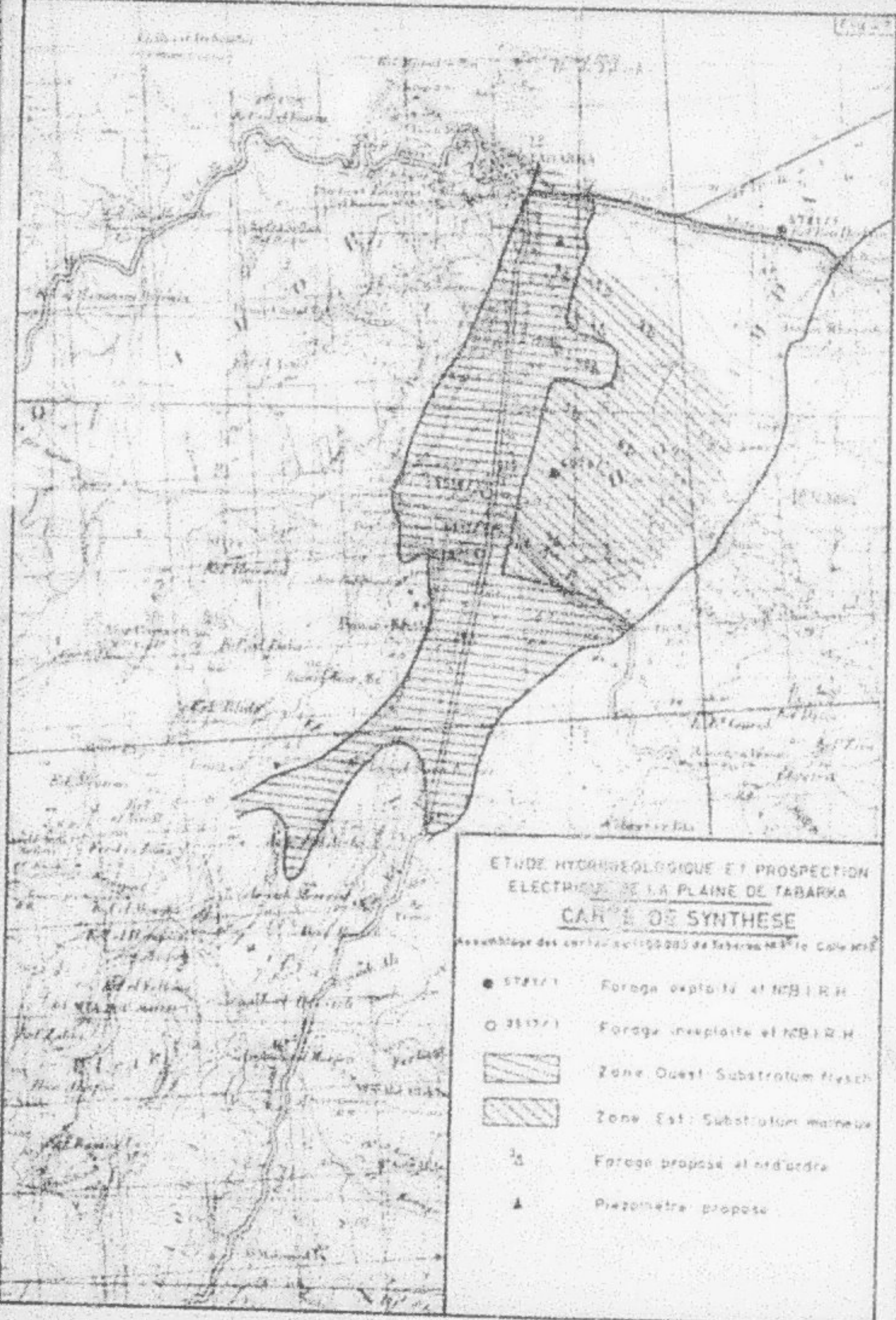
- de la présence ou non du flysch griso-argileux de l'oligocène sous substratum,-
- de la diminution de la résistivité de l'aquifère semi-profond vers laval,-

En fonction de la nature du substratum, nous avons scindé la plaine de Tabarka en deux zones,-

- Zone Ouest : dans cette zone, le substratum est généralement constitué par le flysch griso-argileux de l'Oligocène qui véhicule des eaux le plus souvent ferrugineuses. Ainsi des forages implantés dans cette zone peuvent, même s'ils n'atteignent pas le substratum, être contaminés par celui-ci.-

C'est le cas pour le forage 3518/1 dont l'exploitation a dû être abandonnée, l'eau pompée n'étant révélée fortement ferrugineuse.-

.../...



CUTTER EN

F 2

CUTTER EN

F 2



MICROFICHE N°

34089

République Tunisienne

MINISTÈRE DE L'AGRICULTURE

CENTRE NATIONAL DE
DOCUMENTATION AGRICOLE
TUNIS

الجمهورية التونسية
وزارة الفلاحة

المركز الوطني
للسّورئي الفلاحي
تونس

F 2

Les emplacements de forages proposés à l'issue de la campagne géophysique situés dans cette zone devront être effectués en deux fois urgence ; la présence d'eaux ferrugineuses bien qu'elle ne soit pas systématique, y est toujours à craindre. Il s'agit des emplacements des sondages électriques n° 17, 44, 117, 18 et 19.-

- Zone Sud : Le substratum est ici essentiellement constitué par les sables de l'Eocene (Friabouïen). Aucune contamination d'eaux ferrugineuses n'est à craindre, les emplacements de forages déjà proposés et situés dans cette zone devront être effectués en première urgence (n° 22, 8, 12 et 11). Nous pouvons proposer en supplément dans cette zone, les emplacements des sondages électriques n° 37 et 26 qui bien que n'étant pas situés au droit de la vallée fossile mise en évidence par le géophysique, ont des caractéristiques favorables.-

En résumé, nous pouvons proposer ces emplacements de forages un certain nombre de sondages électriques, soit dans l'ordre :

Zone Ouest :

1. 35 22
2. 35 8
3. 35 12
4. 35 11
5. 35 37
6. 35 26

Zone Moyenne :

7. 35 17
8. 25 44
9. 35 112
10. 25 18
11. 35 29

Le profondeur à prévoir pour tous ces forages est toujours inférieure à 100 mètres.-

Par ailleurs, l'extension du bâtiuau mis en bordure de la côte a pu être mise en évidence avec suffisamment de précision par l'étude géophysique. étant donné l'importante avancée de l'invasion marine à l'embouchure de l'oued Al Kébir, il serait bon, si les forages proposés dans la basse-plaine sont mis en exploitation intensive, d'envisager la création d'un piézomètre de surveillance dans l'une de la vallée fossile.-

L'emplacement de celui-ci devrait être situé à mi-chemin entre les sondages électriques n° 103 et n° 4 ; le profondeur à prévoir pour ce piézomètre est d'une cinquantaine de mètres.-

PL I

PLAINE DE TABARKA

INVENTAIRE DES POINTS D'EAU

LEGENDE.



source permanente



source temporaire



eau superficielle



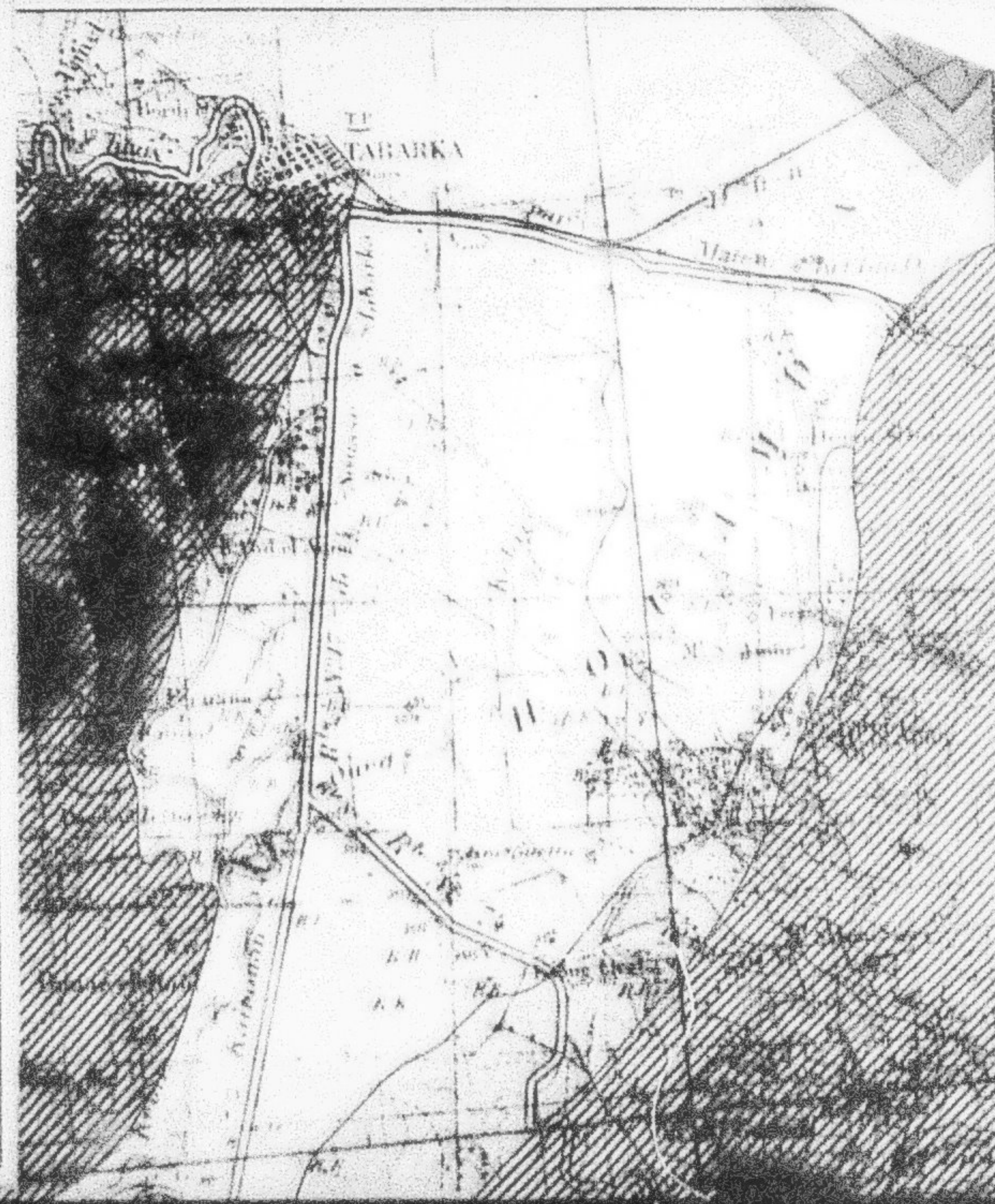
eau souterraine

source d'eau douce

source d'eau salée

source d'eau saumâtre

EXTRACT DE LA CARTE DE TABARKA N° 32522



LEGENDE.



RUE OU CHAUSSEE



EAU



CHAMPS

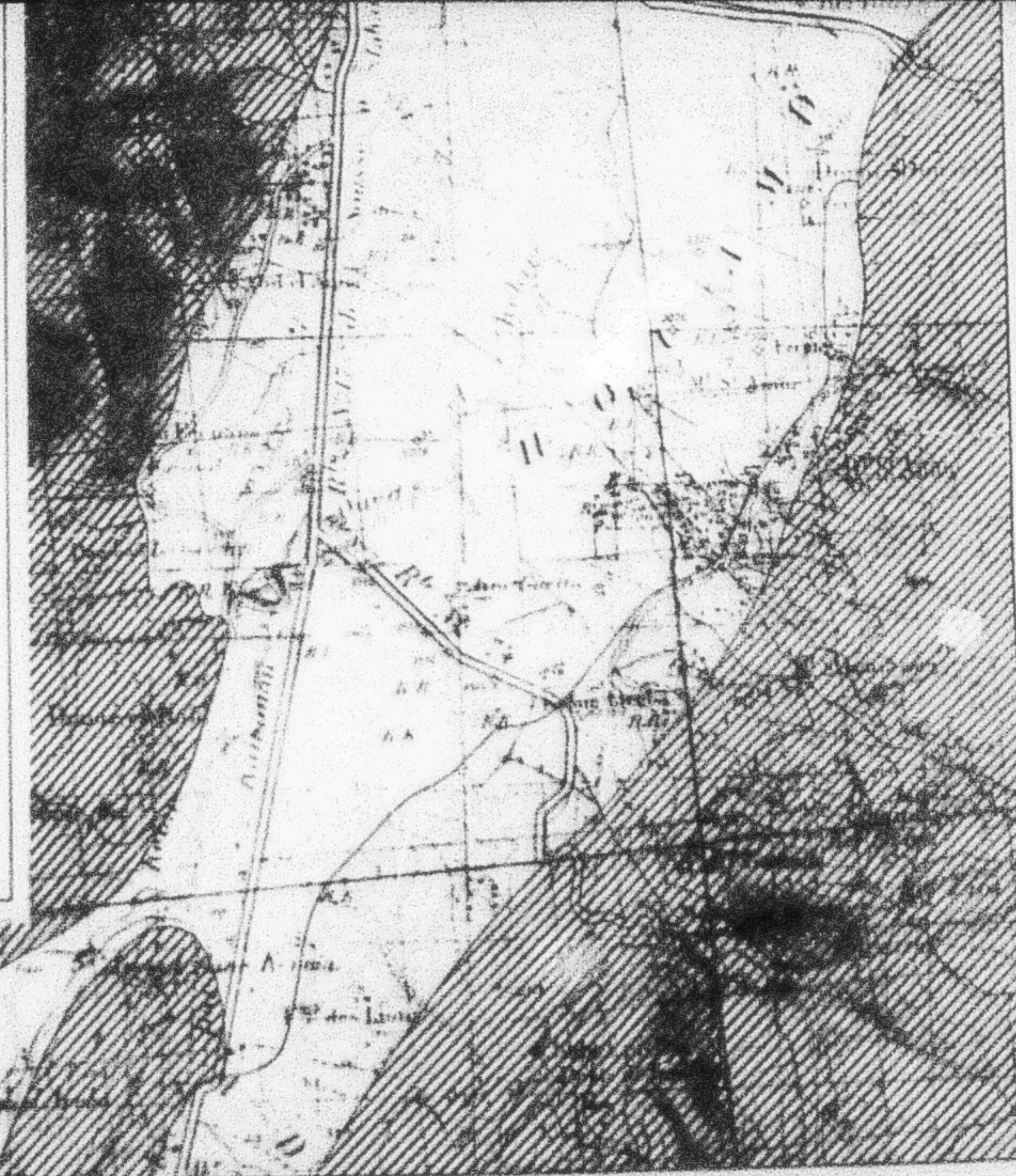


VILLE OU VILLAGE

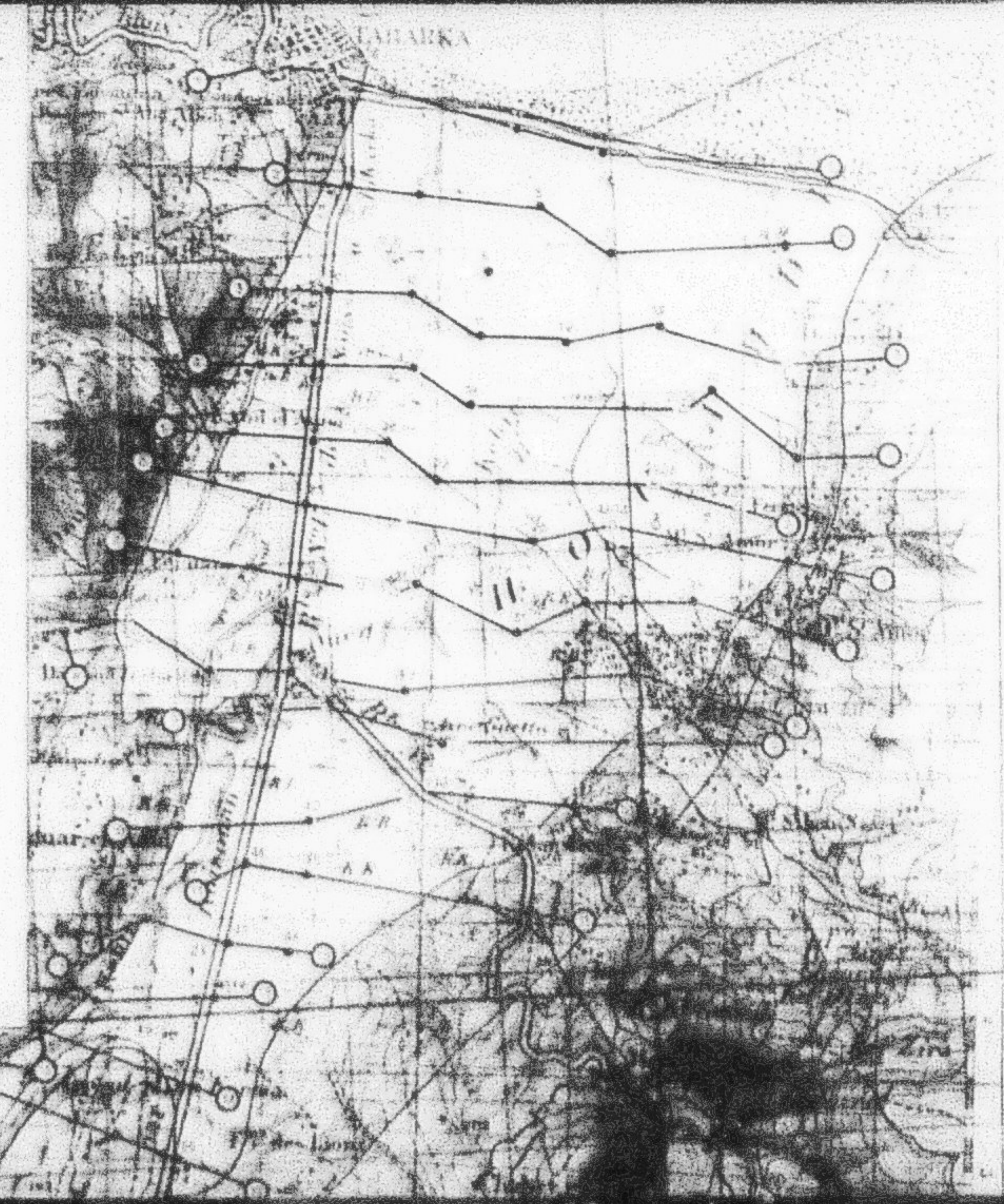
Terrains et sols rocheux (R.R.)

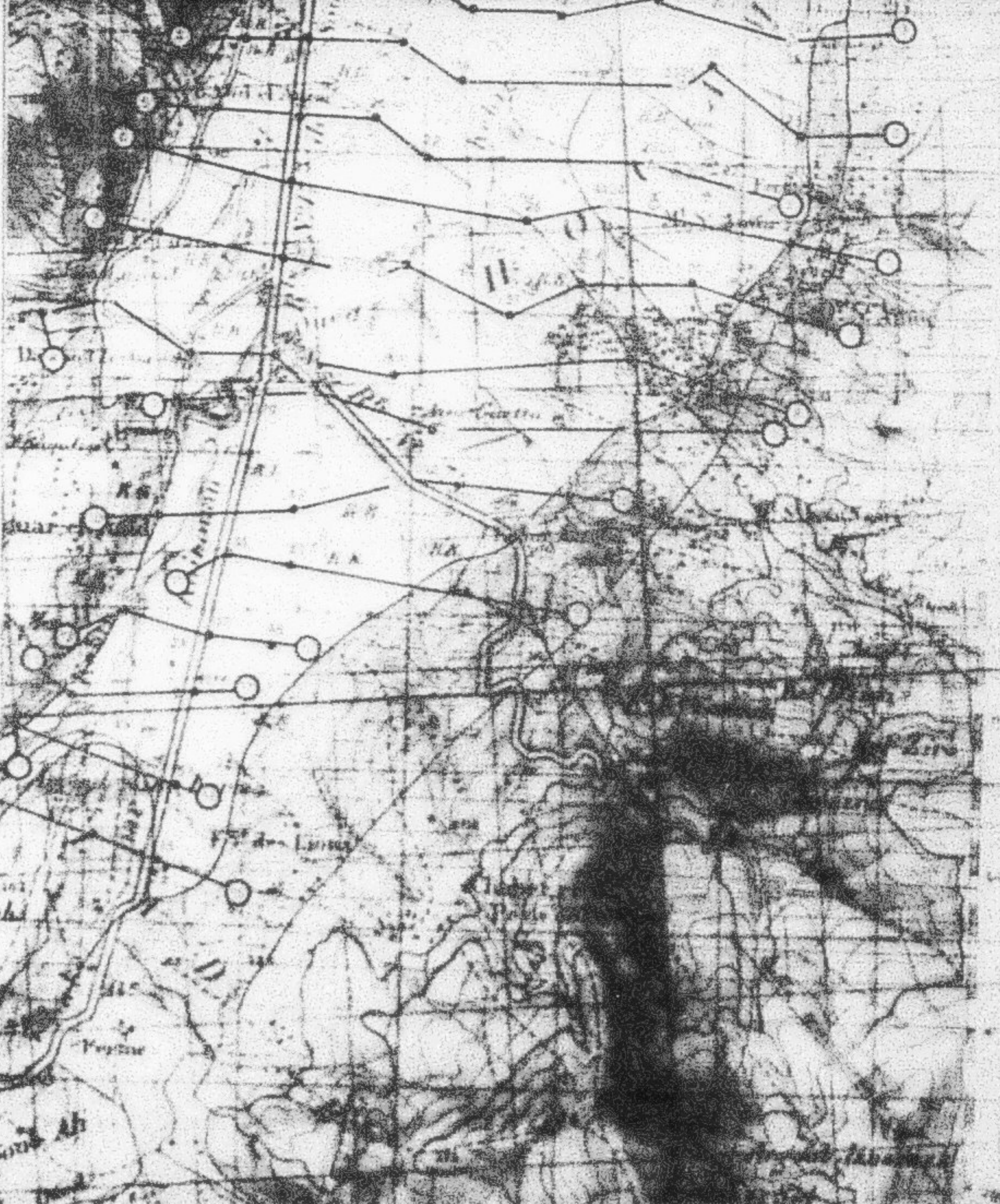
ROCHE ET SOLS ROCHEUX

EXTRACT OF THE MAP OF ALGERIA NO 125000

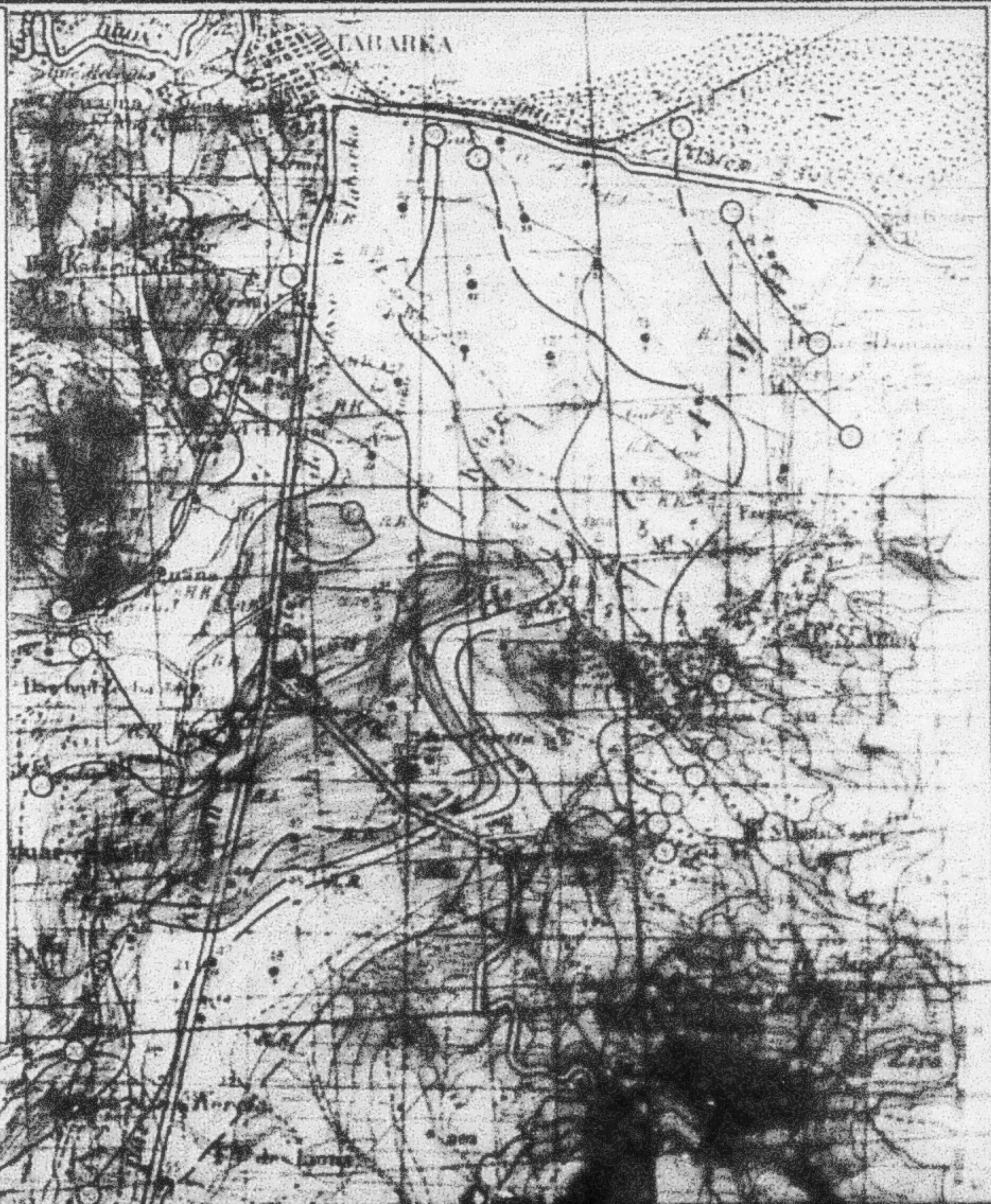
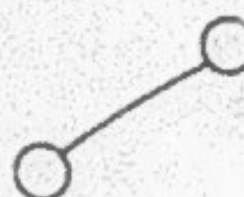


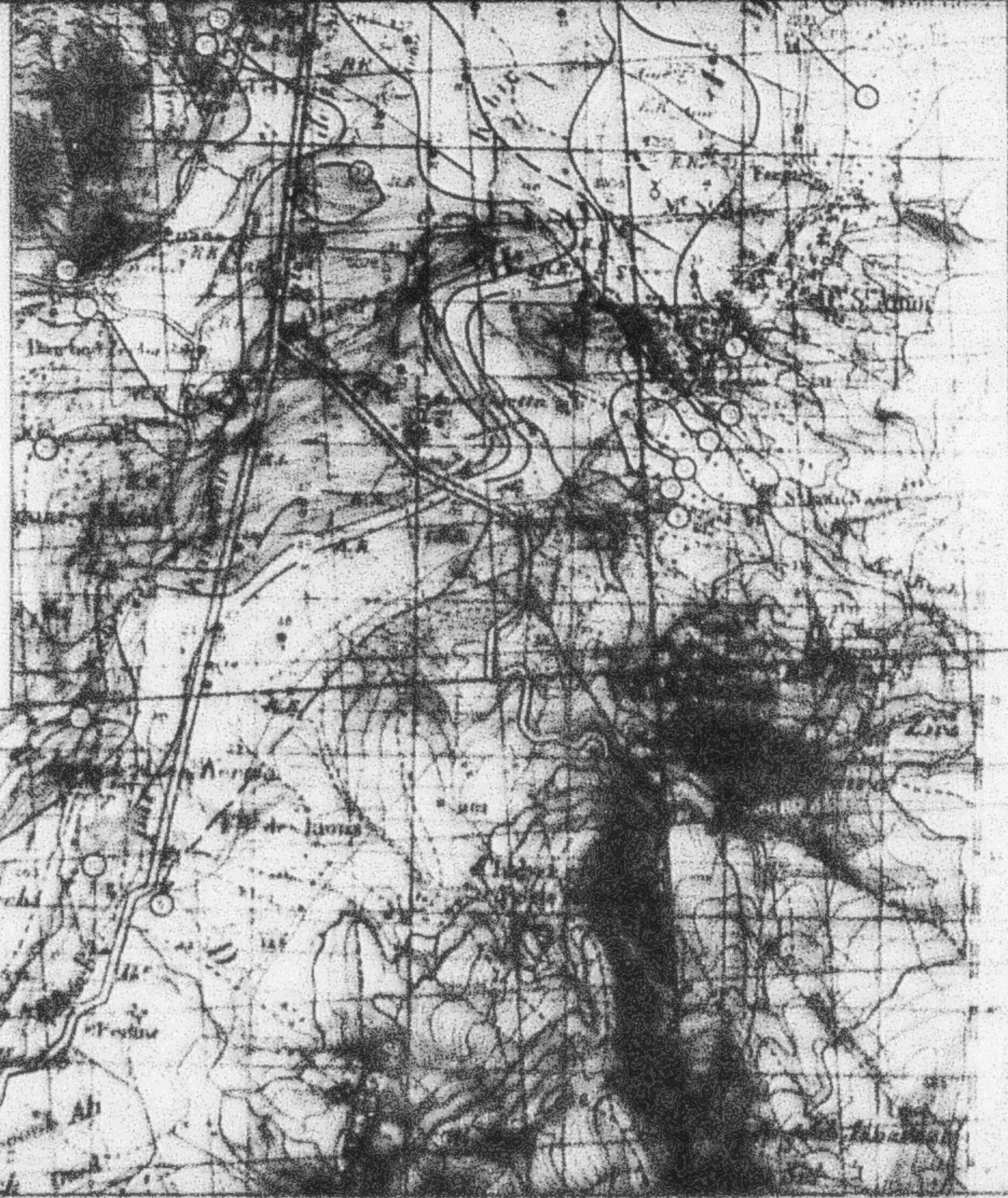
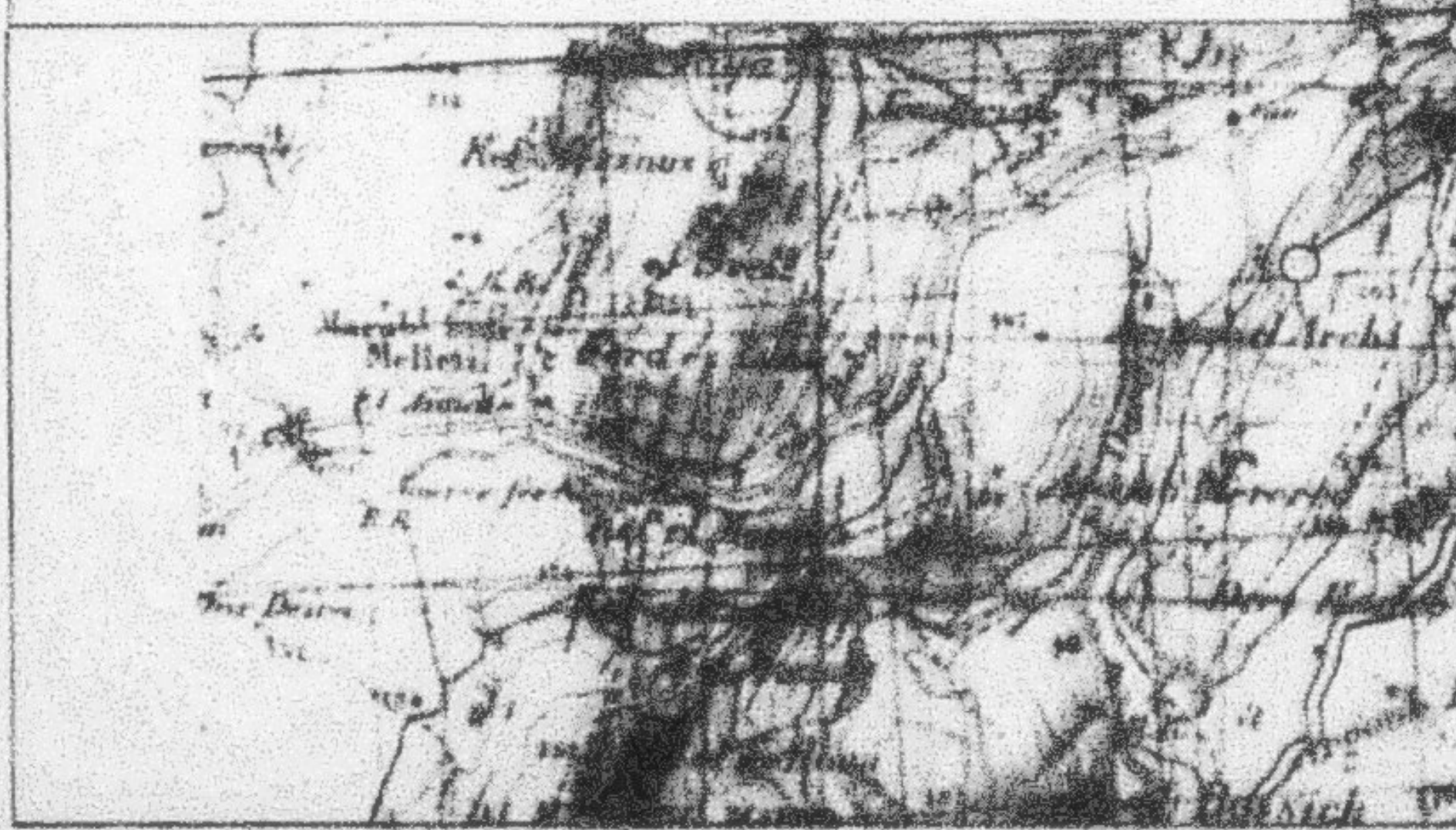
PLAN DE POSITION



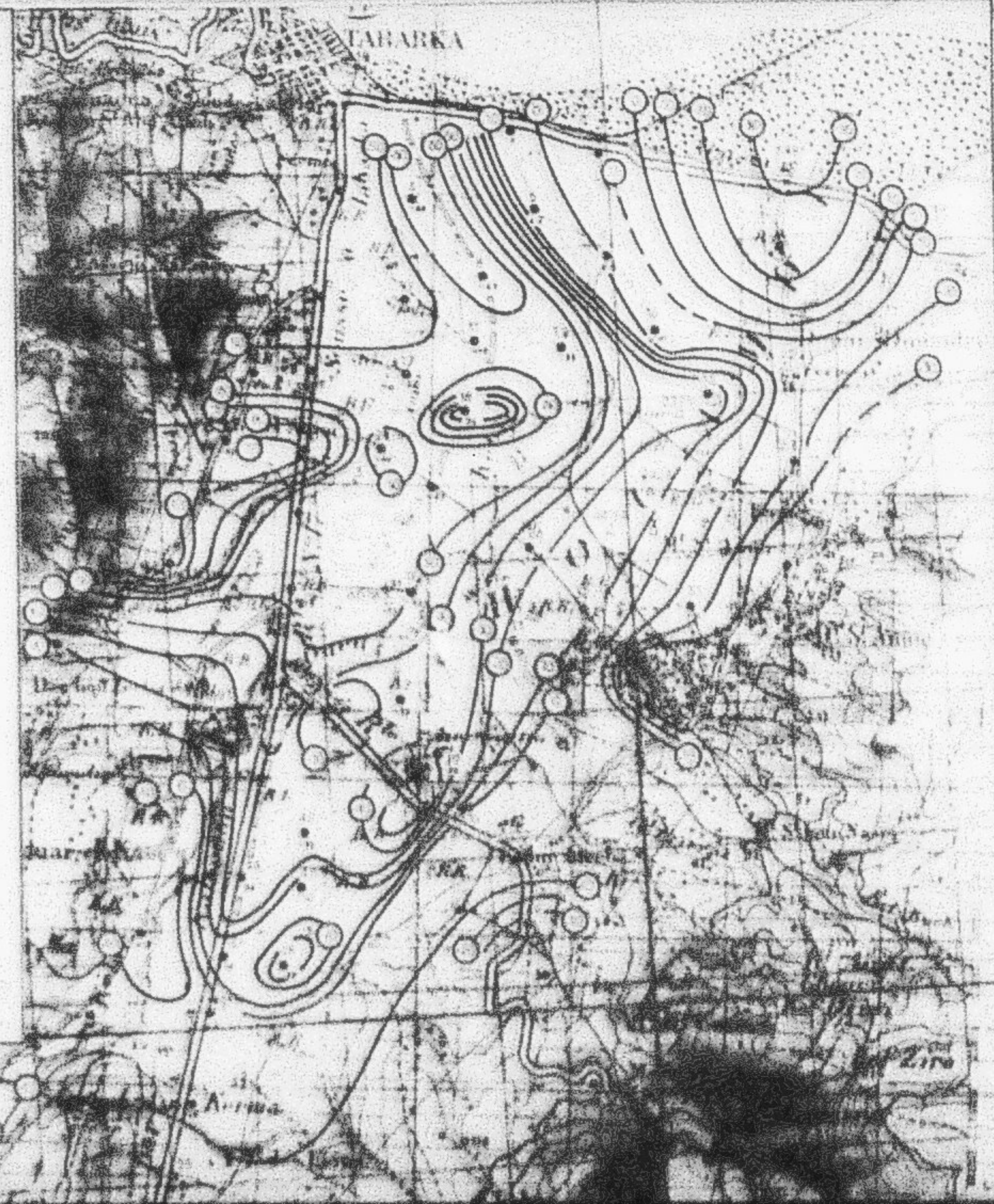


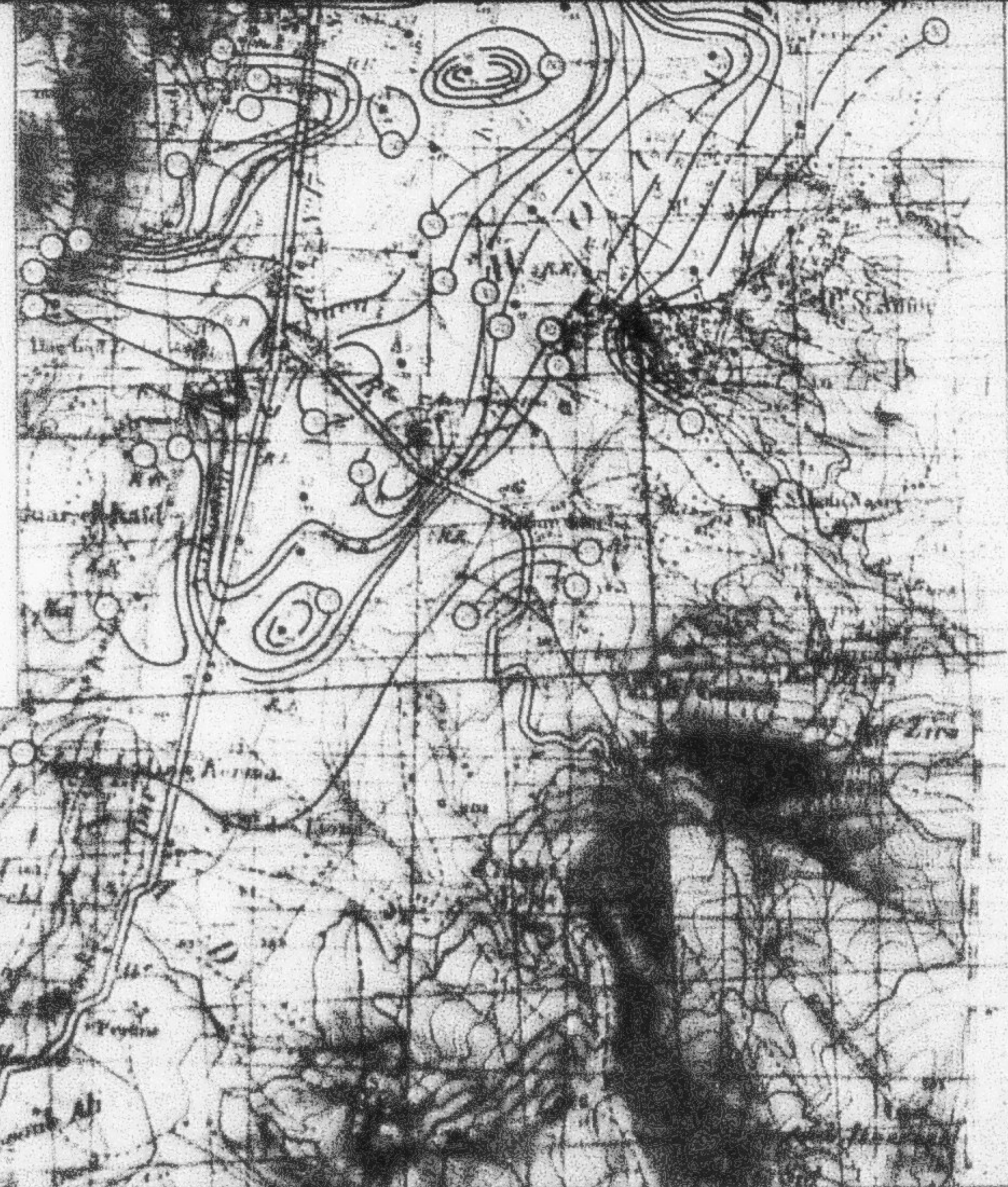
CARTE DES RESISTIVITES APPARENTES (AB -200 m)



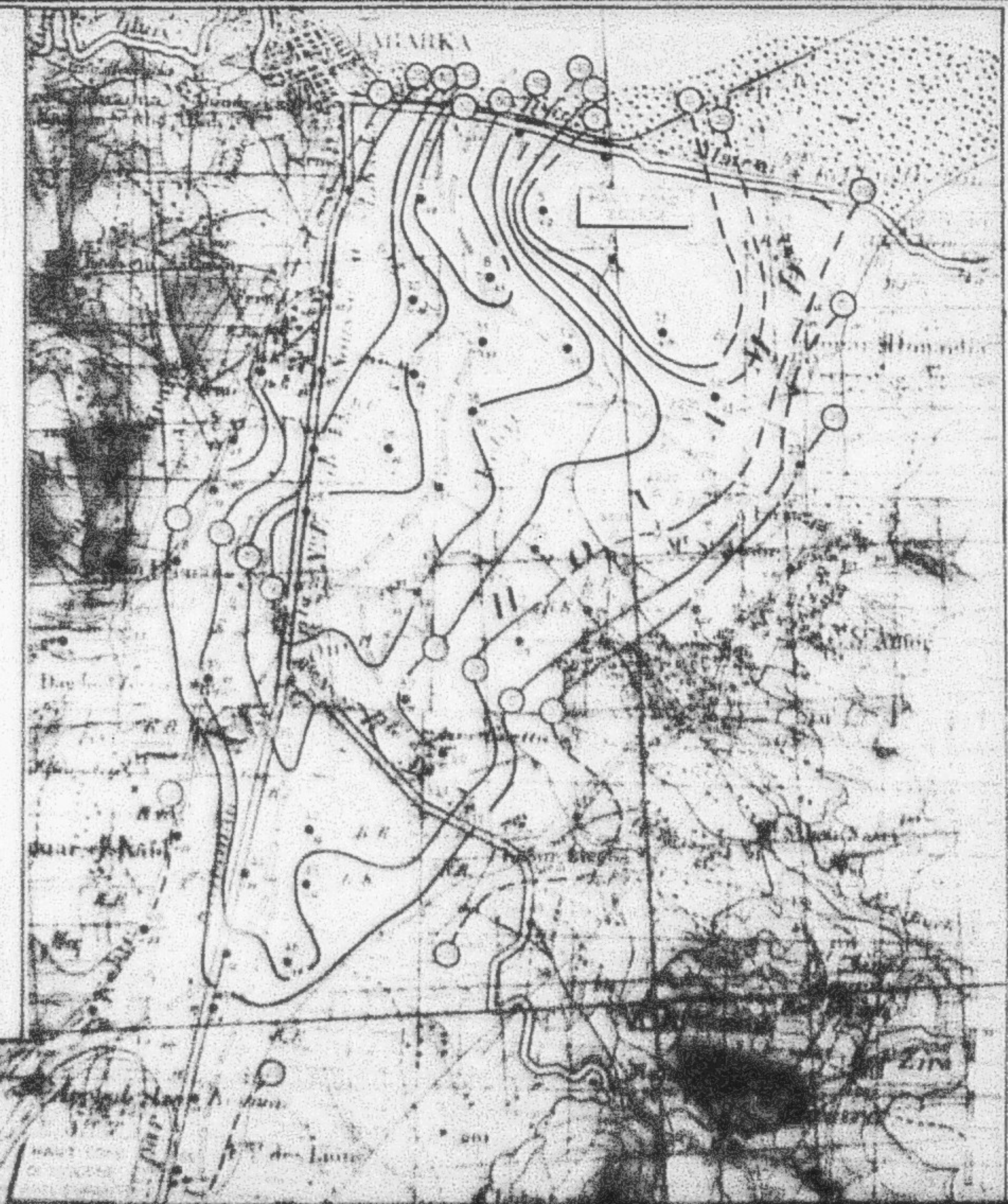


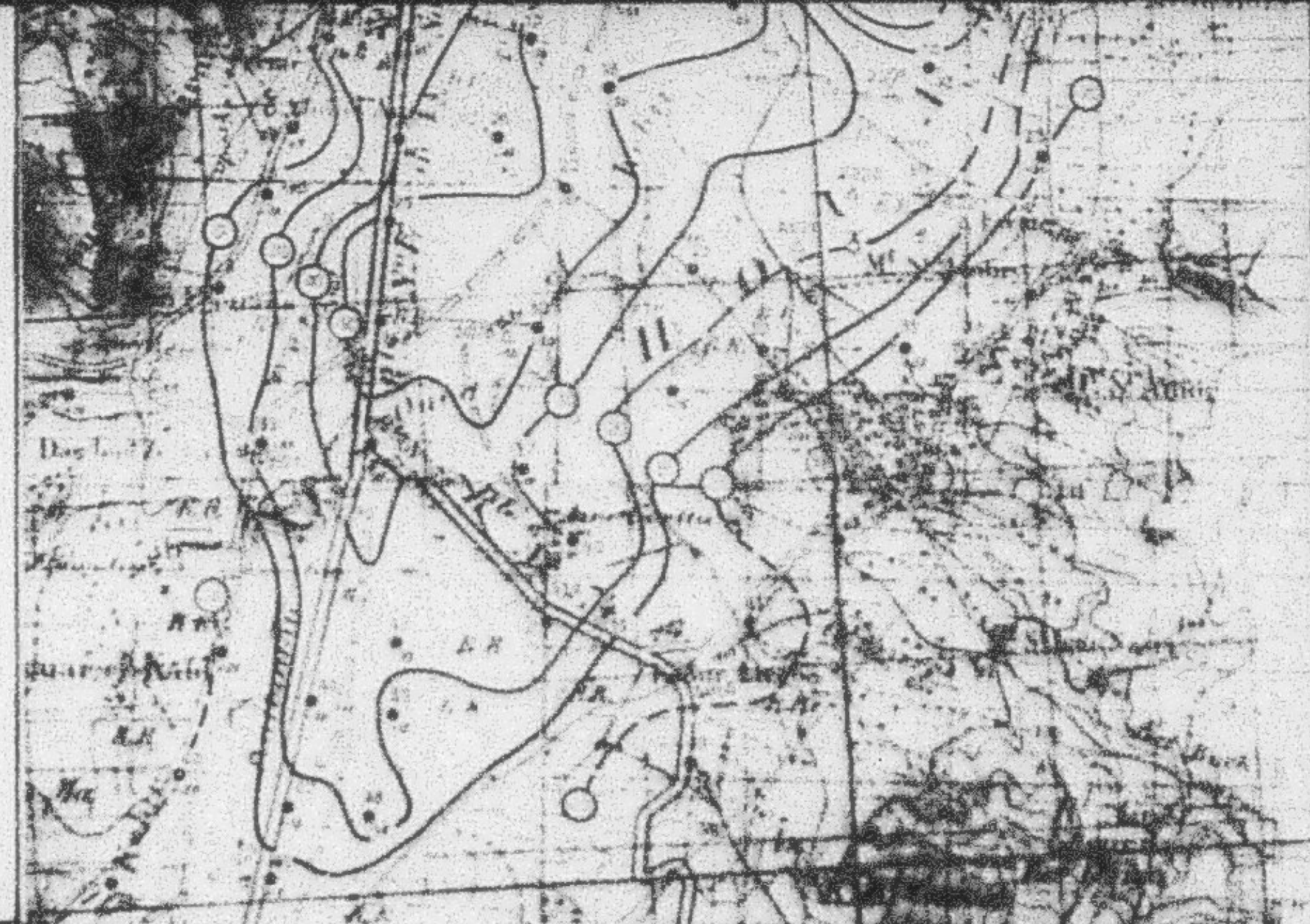
CARTE DU TOIT DU SUBSTRATUM CONDUCTEUR





CARTE DU MUR DES ALLUVIONS





ETUDE HYDROGEOLOGIQUE
ET PROSPECTION ELECTRIQUE
DE LA PLAINE DE TABARKA

COUPES ELECTRIQUES

Echelles
H 1/10 000
V 1/10 000

FIGURE 5

FIGURE 6

FIGURE 7

FIGURE 8

FIGURE 9

FIGURE 10



ETUDE HYDROGEOLOGIQUE
ET PROSPECTION ELECTRIQUE
DE LA PLAINE DE TABARKA
(COMPLEMENT DE PROSPECTION ELECTRIQUE)

CARTE DES RESULTATS

ELECTRICITY

— GEOFISIQUE —

— GEODESIE —

— AEROPHOTOGRAMME —

— AVIONIC —

— DRAINAGE —

— SOILS —

— FAUNA —

— FLORA —

— GEOLOGIE

— MINES —

— MIGRATION —

— ECOLOGIE —

— ENVIRONNEMENT —

— HYDROLOGIE —

— METEOROLOGIE —

— GEOFISIQUE —

— GEODESIE —

— AEROPHOTOGRAMME —

— AVIONIC —

— DRAINAGE —

— SOILS —

— FAUNA —

— FLORA —

— GEOLOGIE

— MINES —

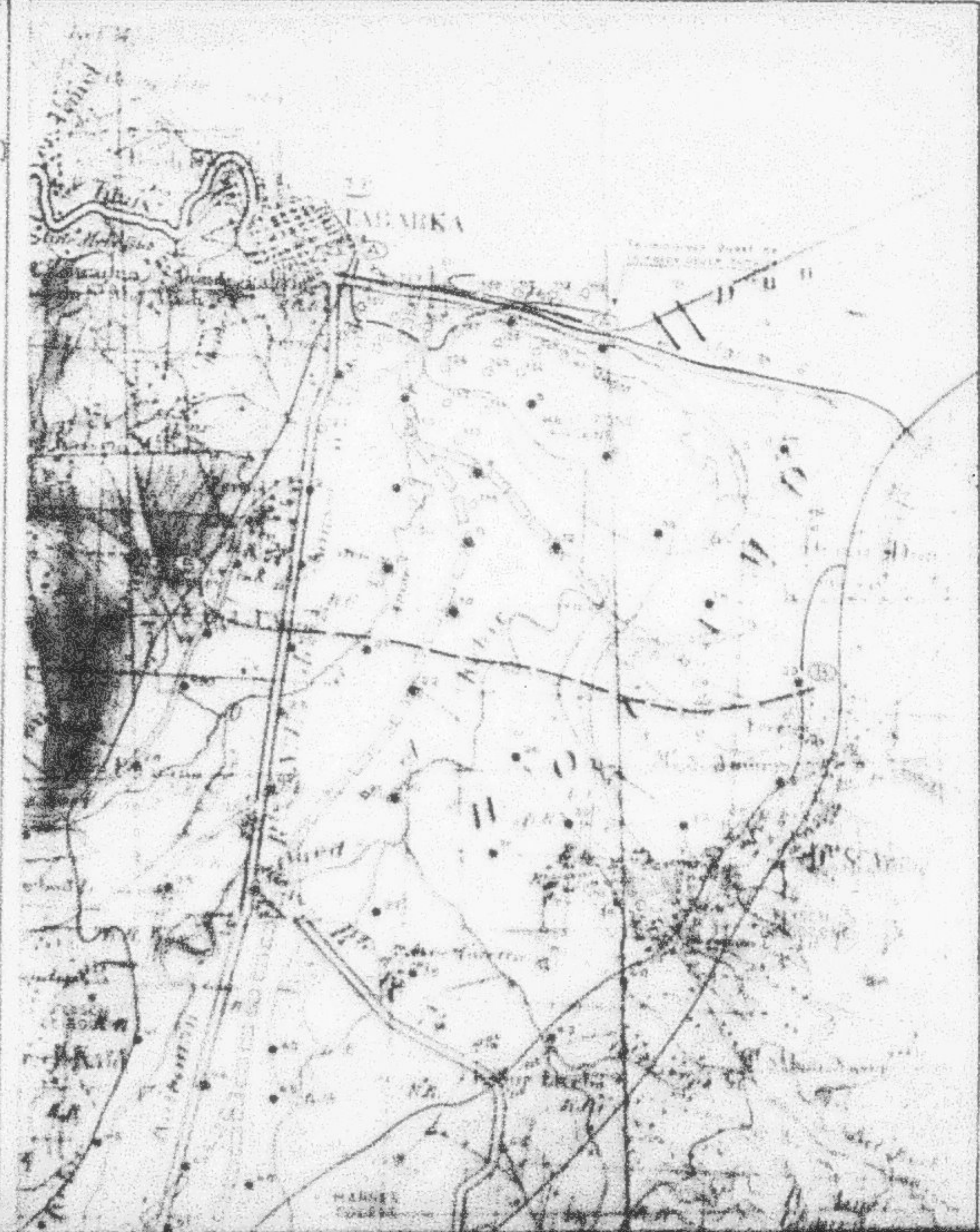
— MIGRATION —

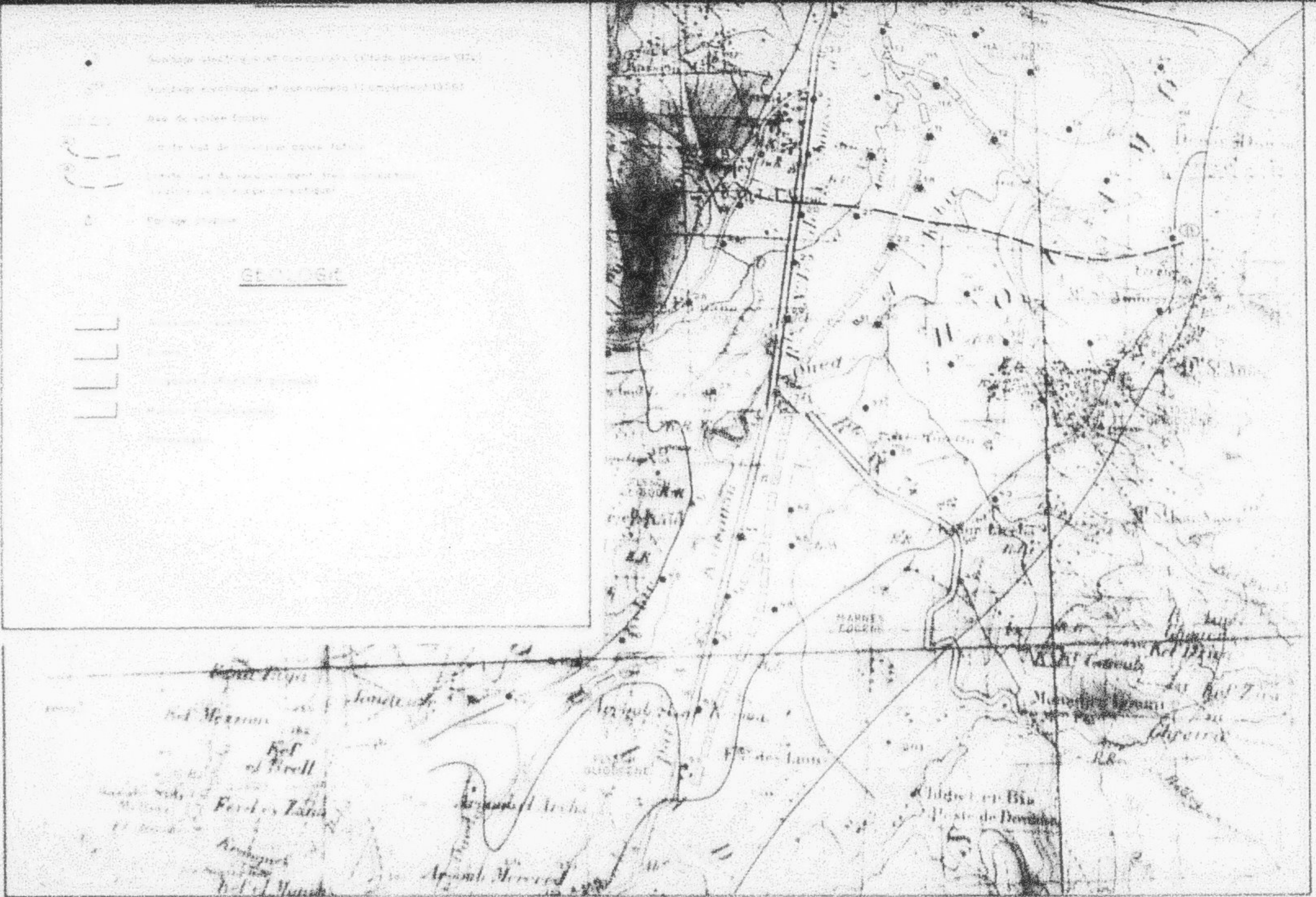
— ECOLOGIE —

— ENVIRONNEMENT —

— HYDROLOGIE —

— METEOROLOGIE —





PLAINE DE TABARKA

COUPES ELECTRIQUES

Échelles

1 : 10000

LEGENDE

Sens de courant électrique et son numéra

Flancs des conducteurs et de l'isolant en cuivre

Marcages indiquant la présence d'un fil

Épaisseur en millimètres

Épaisseur indiquée est celle de l'isolant

Bobine de cuivre à deux bobinages

Altitudes de nos 4 sondes sont à 7 m



2000000

1000000

500000



15

16

17

18

A 2618

GP HI KER-A

C-400-150000

2

ACTS 11

1.0
0.9
0.8

AERO 97 94-74

250

3

4

8

5

6

7

1-42-1

2-10-1

3-42-1

4-10-1

5-42-1

6-10-1

7-42-1

8-10-1

1-42-1
2-10-1

17

AERO

9

10

C-400-150000

11

12

C-400-150000

13

C-400-150000
D-42-1
E-10-1

<18

14

C-400-150000

15

C-400-150000

16

C-400-150000

16

17

C-400-150000

18

C-400-150000

19

C-400-150000

20

C-400-150000

21

C-400-150000

22

C-400-150000

20.5

1-42-1
2-10-13-42-1
4-10-15-42-1
6-10-17-42-1
8-10-19-42-1
10-10-111-42-1
12-10-113-42-1
14-10-115-42-1
16-10-117-42-1
18-10-119-42-1
20-10-121-42-1
22-10-123-42-1
24-10-125-42-1
26-10-127-42-1
28-10-129-42-1
30-10-1

6

10

70

21

22

28

6

74

23

26

7

28

29

AVON 70

71

34

1057717

1356113/25

1357711

37

6

E 23287

12000
EAST 40° NORTH 100° WEST
45° 10' 20''
45° 10' 20''

E 23287

12000
EAST 40° NORTH 100° WEST
45° 10' 20''
45° 10' 20''

12000
EAST 40° NORTH 100° WEST

26

64450

27

▼

28

Match

30

31

32

33

12000 E 23287

12000

34

Match

37

38

12000 E 23287

F 23287

G 23287

GRADERS 3000

10000
10000
10000
10000
10000

10000
10000
10000
10000

GRADERS

26

D 44284

27

GRADERS

10000
10000

28

GRADERS

29

30

31

GRADERS 3000

30

GRADERS

31

GRADERS

32

33

GRADERS 3000

98
99
100

101 102

103 104 105 106

107 108 109

110

111

112
113

114 115

116

117 118

119 120 121

122

123 124

125
126

127

128 129

130

131 132

133
134

135

136

137

98
99
100

101 102

103 104 105 106

107 108 109

110 111

112 113

114
115

116 117

118
119

120
121

122
123

124 125

126
127

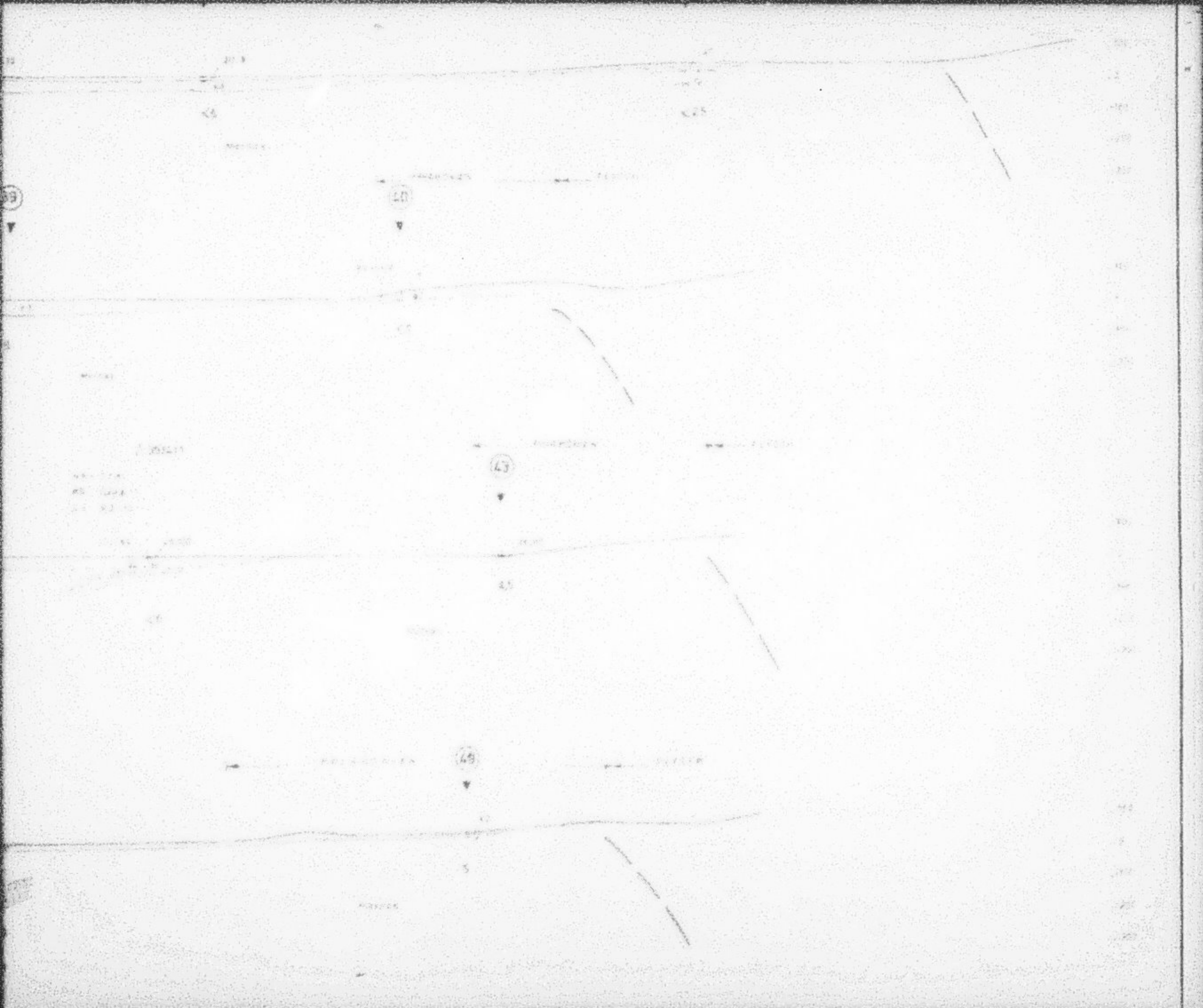
128 129
130 131

132
133

134
135

136
137

138



<6

252

F A S C H



FLYING

(46)

TRAILER

(47)

(48)

45

422-33

27

242



FLYING

(50)

TRAILER

(51)

22

F A S C H

FLYING

(52)

TRAILER

(53)

15

F A S C H



FLYING

(54)

47

48

>13

>10

51

>9

53

>10

55

147
148

50

51

149
150

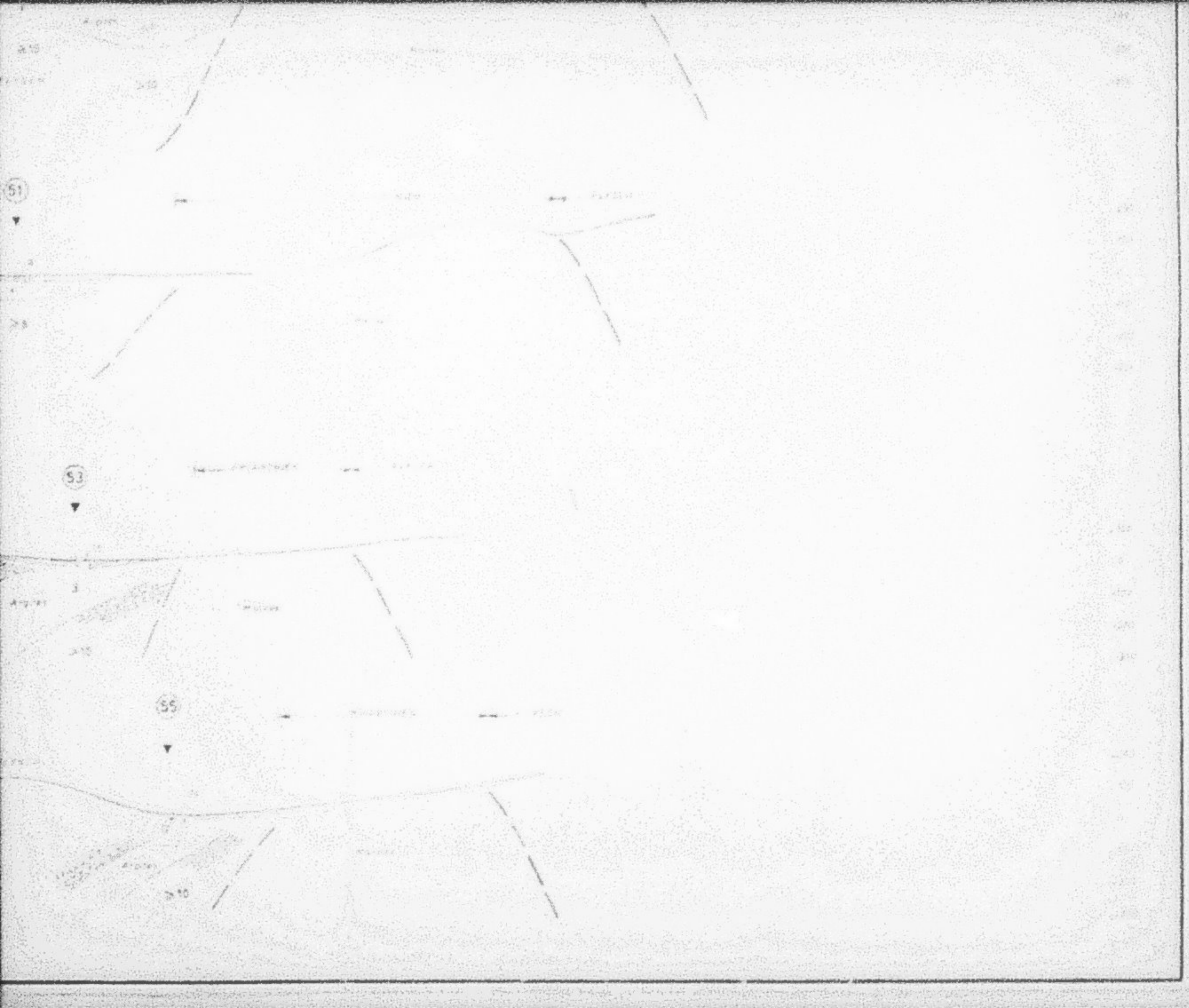
52

53

151
152

54

55



FIN

84

WUBS